

สำนักหอสมุด มหาวิทยาลัยบูรพา
ต.แสนสุข อ.เมือง จ.ชลบุรี 20131



รายงานวิจัยฉบับสมบูรณ์ปีที่ 1
ทุนอุดหนุนการวิจัย งบประมาณแผ่นดิน ประจำปี 2554

พฤติกรรมคาน-เสา-แผ่นพื้นสำเร็จรูปคอนกรีตเสริมเหล็กของเสาตันริมที่ก่อสร้างในประเทศไทย
ภายใต้แรงแผ่นดินไหว

Behavior of Reinforced Concrete Beam-Column-Plank Slabs of Exterior Columns
. Constructed in Thailand under Earthquake Load

กบ 165123

โดย

- 7 พ.ศ. 2557

ผศ. ดร. อานันท์ วงศ์แก้ว

เริ่มปฏิทักษณ์

335591

ภาควิชาศึกษาฯ
คณะวิศวกรรมศาสตร์ มหาวิทยาลัยบูรพา

15 พ.ศ. 2557

อภิปรัชนาการ

บทคัดย่อ

การศึกษานี้เป็นการประยุกต์ใช้รีไฟไนอิลิเมนต์ในการวิเคราะห์หาพฤติกรรมการรับแรงของงาน-เสาคอนกรีตเสริมเหล็ก โดยเริ่มจากการพัฒนาแบบจำลองไฟไนอิลิเมนต์วัสดุคอนกรีต (Exp.1, Exp.2) ทรงกระบอกขนาด 15×30 ซม. และแบบจำลองไฟไนอิลิเมนต์เสาคอนกรีตเสริมเหล็ก (RC1, RC2) หน้าตัดสี่เหลี่ยมขนาด 20×20 ซม. เปรียบเทียบผลการวิเคราะห์แบบจำลองกับผลการทดสอบตัวอย่างในห้องปฏิบัติการ จำนวนทำการพัฒนาแบบจำลองไฟไนอิลิเมนต์ของงาน-เสาคอนกรีตเสริมเหล็ก (bc1, bc2) ผลการวิเคราะห์แบบจำลอง Exp.1 และ Exp.2 เทียบกับผลการทดสอบตัวอย่างพบว่าแบบจำลองมีความถูกต้องแม่นยำสูง สามารถทำนายกำลังอัดของคอนกรีตได้ดีมาก โดยเฉพาะเมื่อใช้ข้อมูลค่าความสัมพันธ์ระหว่างความเค้นและความเครียดอัดของคอนกรีตจากผลการทดสอบคอนกรีตในห้องปฏิบัติการ แบบจำลองเสาคอนกรีตเสริมเหล็ก RC1 และ RC2 สามารถทำนายแรงอัดสูงสุดของเสาได้ค่อนข้างดีเมื่อค่าคาดเคลื่อนจากผลการทดสอบเท่ากับ 2.09% และ 11.15% แต่ทำนายค่าการค่าการยุบตัวณ ตำแหน่งแรงอัดสูงสุดได้น้อยกว่าผลการทดสอบพอสมควร นอกจากนี้ยังสรุปได้ว่าการใช้สมการหาค่าความสัมพันธ์ระหว่างค่าความเค้นและความเครียดอัดของคอนกรีตโดย Desayi & Krishnan [21] กับแบบจำลองไฟไนอิลิเมนต์เสาคอนกรีตเสริมเหล็ก สามารถทำนายค่าแรงอัดสูงสุดได้ดีมาก แต่อาจไม่สามารถทำนายค่าการยุบตัวได้ดีเท่าที่ควร ในส่วนของแบบจำลอง bc1 และ bc2 พบว่าพฤติกรรมของแบบจำลองข้อต่อ bc1 แสดงพฤติกรรมที่ดีกว่าแบบจำลองข้อต่อ bc2 อย่างชัดเจนทั้งในด้านการรับแรงและการเสียรูป ทั้งนี้เป็นผลมาจากการการหยุดเหล็กในงานที่หน้าเสาโดยไม่มียึดต่อเข้าไปในเสาของแบบจำลอง bc2 นอกจากนี้ยังพบว่าลักษณะรอยแตกร้าวของแบบจำลอง bc1 จะเกิดขึ้นทั่วบริเวณหลังคานส่วนของแบบจำลอง bc2 นั้นพบว่าตำแหน่งการแตกร้าวของแบบจำลองเกิดกรอบจุกตัวที่บริเวณรอยต่อระหว่างคานและเสาด้านบน

คำสำคัญ: แบบจำลองไฟไนอิลิเมนต์, เสาคอนกรีตเสริมเหล็ก, เสา-คานคอนกรีตเสริมเหล็ก

Abstract

This study presents Finite Element (FE) Analysis of reinforced concrete beam-column connections. First, the finite element models (FEM) of concrete materials with cylindrical shape of 15x30 centimeters (Exp.1 and Exp.2) were created and analyzed. The results show that FEMs of concretes have high accuracy to predict almost the entire stress-strain curves especially when using the compressive stress-strain diagram from the experiments. After verification of the concrete models, then, the FEMs of reinforced concrete columns with a square section of 20x20 centimeters (RC1 and RC2) were developed. Both FE models show a very good comparison of maximum compressive forces with results tested in the laboratory by the discrepancy of 2.09% and 11.15%, respectively. However, the models are not quite accurate in computing the specimen deformations. By using the concrete model proposed by Desayi and Krishnan [21], the FE models of reinforced concrete columns show excellent results on calculating the maximum compressive forces but not the maximum deformations of columns. The FE models of two beam-column connections (bc1 and bc2) were developed and analyzed. The results indicate that model bc1 show much better behavior in terms of strength and deformation than model bc2. This is primarily because the main steels in the beam were stopped at the face of column. On the other words, the main steels from the beam discontinue into the column. Therefore, the load transfer from the beam to the column is ineffective comparing to the model bc2. Also, the consistent results can be obtained form the crack pattern of concrete. The crack pattern of model bc1 shows a distribution of cracks over the top beam surface. However, the crack pattern of model bc2 show highly concentration of crack at the interface area between the beam to column.

Keywords: Finite Element Model, Reinforced Concrete Column, Reinforced Concrete Beam-Column Connection

กิตติกรรมประกาศ

งานวิจัย เรื่องพฤติกรรมคน-เสา-แผ่นพื้นสำเร็จรูปคอนกรีตเสริมเหล็กของเสาตันริมที่ก่อสร้างในประเทศไทยโดยได้แรงบันดาลใจ ให้รับทุนสนับสนุนโครงการวิจัย ประจำปีงบประมาณ 2554 จากสำนักงานคณะกรรมการวิจัยแห่งชาติ ผู้วิจัยขอขอบคุณมา ณ. ที่นี่

สารบัญ

| | |
|---|------|
| | หน้า |
| บทคัดย่อภาษาไทย | ก |
| บทคัดย่อภาษาอังกฤษ | ข |
| กิตติกรรมประกาศ | ค |
| สารบัญ | ง |
| สารบัญตาราง | ฉ |
| สารบัญรูป | ช |
| บทที่ 1 บทนำ | |
| 1.1 ความเป็นมาและความสำคัญของปัจจุหานา | 1 |
| 1.2 วัตถุประสงค์ของงานวิจัย | 4 |
| 1.3 ประโยชน์ที่คาดว่าจะได้รับจากการวิจัย | 4 |
| 1.4 ขอบเขตของโครงการวิจัย | 4 |
| บทที่ 2 ทฤษฎีและงานวิจัยที่เกี่ยวข้อง | |
| 2.1 บทนำ | 5 |
| 2.2 ข้อต่อคาน-เสา (Beam-Column Joint) | 8 |
| 2.3 งานวิจัยที่เกี่ยวข้อง | 11 |
| บทที่ 3 การพัฒนาแบบจำลองไฟไนอิลิเมนต์เสากองกรีตและเสากองกรีตเสริมเหล็ก | |
| 3.1 บทนำ | 21 |
| 3.2 ชนิดของชิ้นส่วนอย่างวัสดุ | 22 |

| | |
|---|----|
| 3.3 คุณสมบัติของวัสดุ | 24 |
| บทที่ 4 ผลการวิเคราะห์แบบจำลองไฟในอิลิเมนต์คอนกรีต | |
| 4.1 บทนำ | 31 |
| 4.2 การวิเคราะห์ความถูกต้องของแบบจำลองไฟในอิลิเมนต์คอนกรีตทรงกระบอก | 31 |
| 4.3 การวิเคราะห์ความถูกต้องของแบบจำลองไฟในอิลิเมนต์เสากองกรีตเสริมเหล็กหน้าตัดสี่เหลี่ยมจัตุรัส | 35 |
| 4.4 แบบจำลองไฟในอิลิเมนต์คอนกรีตเสากองกรีตเสริมเหล็ก | 39 |
| บทที่ 5 สรุปผลการศึกษา | 47 |
| เอกสารอ้างอิง | 48 |
| ภาคผนวก: บทความเรื่องการศึกษาเสากองกรีตเสริมเหล็กด้วยวิธีไฟในอิลิเมนต์ | 51 |

สารบัญตาราง

หน้า

| | |
|---|----|
| ตารางที่ 4.1 ค่าคุณสมบัติคอนกรีตที่ใช้กับแบบจำลองไฟในอิเลิเมนต์คอนกรีตทรงกระบอก | 32 |
| ตารางที่ 4.2 คุณสมบัติคอนกรีตที่ใช้กับแบบจำลองไฟในอิเลิเมนต์เสา (RC1, RC2) | 35 |
| ตารางที่ 4.3 คุณสมบัติเหล็กที่ใช้กับแบบจำลองไฟในอิเลิเมนต์เสา (RC1, RC2) | 35 |
| ตารางที่ 4.4 เปรียบเทียบผลการวิเคราะห์แบบจำลองและผลทดสอบเสา RC1, RC2 | 38 |
| ตารางที่ 4.5 คุณสมบัติคอนกรีตที่ใช้กับแบบจำลองไฟในอิเลิเมนต์คาน-เสา (bc1, bc2) | 41 |
| ตารางที่ 4.6 คุณสมบัติเหล็กที่ใช้กับแบบจำลองไฟในอิเลิเมนต์คาน-เสา (bc1, bc2) | 41 |

สารบัญรูป

หน้า

| | | |
|-------------|---|----|
| รูปที่ 1.1 | เหตุการณ์แผ่นดินไหวที่ปากีสถาน เมื่อ 8 ตุลาคม 2548 | 3 |
| รูปที่ 1.2 | เหตุการณ์แผ่นดินไหวที่มณฑลเสฉวน ประเทศจีน เมื่อ 12 พฤษภาคม 2551 | 3 |
| รูปที่ 2.1 | การเสียรูป แรงเฉือน และโมเมนต์ที่เกิดขึ้นในอาคาร ค.ส.ล. เมื่อรับแรงแนวตั้ง | 7 |
| รูปที่ 2.2 | การเสียรูป แรงเฉือน และโมเมนต์ที่เกิดขึ้นในอาคาร ค.ส.ล. เมื่อรับแรงแผ่นดินไหว | 8 |
| รูปที่ 2.3 | ประเภทของข้อต่อคาน-เสา | 9 |
| รูปที่ 2.4 | พฤติกรรมของข้อต่อคาน-เสา เมื่อรับแรงแผ่นดินไหว | 10 |
| รูปที่ 2.5 | แบบจำลองการต้านทานแรงเฉือนในจุดต่อของ T. Paulay [16] | 11 |
| รูปที่ 2.6 | การวิบัติของข้อต่อ [8] | 13 |
| รูปที่ 2.7 | แสดงรายละเอียดการเสริมเหล็กในเสา และ คาน คสล. | |
| | ตามมาตรฐานข้อกำหนด ACI 318-99 | 18 |
| รูปที่ 2.8 | รายละเอียดของการเสริมเหล็กทั่วไป ที่ก่อสร้างในประเทศไทย [7] | 19 |
| รูปที่ 2.9 | รายละเอียดการก่อสร้างและขนาดแผ่นพื้นสำเร็จรูปที่ใช้ในประเทศไทย | 19 |
| รูปที่ 2.10 | การใช้แผ่นพื้นสำเร็จห้องเรียน (Plank Slab) | |
| | ในงานก่อสร้างอาคารในประเทศไทย | 20 |
| รูปที่ 3.1 | แสดงแผนผังสรุปการวิเคราะห์ด้วยวิธีไฟฟ้าอิเล็กทรอนิกส์ | 22 |
| รูปที่ 3.2 | ขั้นส่วนย่อยแบบกล่อง (SOLID65) - 3 มิติ ที่ใช้สำหรับคอนกรีต | 23 |
| รูปที่ 3.3 | ขั้นส่วนย่อยแบบแท่ง (LINK8) - 3 มิติ ที่ใช้สำหรับเหล็ก | 24 |
| รูปที่ 3.4 | กราฟแสดงเส้นโค้งความเค้นและความเครียดทั่วไป | 22 |
| | สำหรับคอนกรีตที่น้ำหนักปกติ (Bangash 1989) | 25 |

| | |
|---|----|
| รูปที่ 3.5 หน่วยแรงอัด-ความเครียดอัดของคอนกรีต Desayi และ Krishnan (1964) | 27 |
| รูปที่ 3.6 รูปแสดงลักษณะการพังของคอนกรีตที่เป็นแบบสามมิติ (William และ Warnke 1975) | 29 |
| รูปที่ 4.1 แบบจำลองไฟในอิลิเมนต์คอนกรีตทรงกระบอก (Exp.1 และ Exp.2) | 33 |
| รูปที่ 4.2 ความเค้นและความเครียดอัดของคอนกรีตตัวอย่างที่ 1 (Exp.1) | 34 |
| รูปที่ 4.3 ความเค้นและความเครียดอัดของคอนกรีตตัวอย่างที่ 2 (Exp.2) | 34 |
| รูปที่ 4.4 แบบจำลองไฟในอิลิเมนต์เสากองกรีตเสริมเหล็ก (RC1 และ RC2) | 36 |
| รูปที่ 4.5 แสดงค่าความเครียดที่เกิดขึ้นของเหล็กยืนในเสา RC1 | 37 |
| รูปที่ 4.6 แสดงค่าความเครียดที่เกิดขึ้นของเหล็กยืนในเสา RC2 | 37 |
| รูปที่ 4.7 โครงข้อแข็งเมื่อมีการรับแรงแผ่นดินไหว | 40 |
| รูปที่ 4.8 ขนาดหน้าตัดและการเสริมเหล็ก | |
| แบบจำลองไฟในอิลิเมนต์คาน-เสากองกรีตเสริมเหล็ก | 42 |
| รูปที่ 4.9 รายละเอียดเหล็กเสริมของแบบจำลอง bc1 และ bc2 | 43 |
| รูปที่ 4.10 ตำแหน่งของรับแรงรับในเสาและแรงกระทำที่ปลายคาน | |
| ของแบบจำลอง bc1 และ bc2 | 43 |
| รูปที่ 4.11 แสดงความสัมพันธ์ระหว่างแรงกระทำที่ปลายคานและระยะเคลื่อนที่ปลายคาน | 44 |
| รูปที่ 4.12 แสดงเส้นชั้นความชันของความเค้นอัดหลักสูงสุดที่เกิดขึ้น | |
| ในแบบจำลอง bc1 และ bc2 | 46 |
| รูปที่ 4.13 แสดงตำแหน่งการแตกร้าวของแบบจำลอง bc1 และ bc2 | 46 |

บทที่ 1

บทนำ

1.1 ความเป็นมาและความสำคัญของปัญหา

แผ่นดินไหว เป็นปรากฏการณ์ทางธรรมชาติที่ ไม่สามารถคาดการณ์ล่วงหน้าได้ สามารถก่อให้เกิด ความเสียหาย ต่อชีวิต และทรัพย์สิน จำนวนมหาศาล ตัวอย่างเหตุการณ์ที่ชัดเจนในปัจจุบัน ได้แก่ เหตุการณ์เกิดแผ่นดินไหวขนาด 6.5 ริกเตอร์ ที่ประเทศไทยสถาน เมื่อวันที่ 8 ตุลาคม 2548 แสดงดังรูปที่ 1.1 ส่งผลให้มีผู้เสียชีวิตมากกว่า 80,000 คน อาคารและบ้านเรือนเสียหายจำนวนมาก และล่าสุด เหตุการณ์เกิดแผ่นดินไหวขนาดใหญ่ 7.8 ริกเตอร์ ที่มณฑลเชียงราย ทางภาคตะวันตกเฉียงใต้ของจีน ห่างจากกรุงเทพฯ ประมาณ 2,000 กิโลเมตรเมื่อวันที่ 12 พฤษภาคม 2551 แสดงดังรูปที่ 1.2 มีผู้เสียชีวิตมากกว่า 70,000 คน ไร่ที่อยู่อาศัยกว่า 5 ล้านคน กรุงเทพฯรู้สึกได้ถึงแรงสั่นสะเทือนโดยเฉพาะอาคารสูง จากการวิจัยในปัจจุบันแสดงให้เห็นว่า ประเทศไทยมีความเสี่ยงต่อการเกิดแผ่นดินไหวสูง [3] โดยเฉพาะอย่างยิ่งในพื้นที่เขตภาคเหนือและภาคตะวันตกของประเทศไทย สำรวจบรรยายเลื่อนที่มีพลัง (active fault) ที่สามารถทำให้เกิดแผ่นดินไหวขนาดใหญ่ (6.5-7.5 ริกเตอร์) นอกจานี้นี้ เขตกรุงเทพ และปริมณฑลซึ่งอยู่นอกบริเวณแหล่งกำเนิดแผ่นดินไหวก็มีความเสี่ยงต่อการเกิดการสั่นสะเทือนเนื่องจากแผ่นดินไหวในระยะใกล้ ซึ่งสามารถเกิดขึ้นได้กับอาคารสูงที่ตั้งอยู่บนชั้นดินอ่อน ดังเหตุการณ์ที่ได้เกิดขึ้นมาแล้วที่กรุงเม็กซิโกซิตี้ ปี 2528 เกิดแผ่นดินไหวขนาด 8.1 ริกเตอร์ ห่างจากกรุงเม็กซิโกซิตี้ประมาณ 350 กิโลเมตร ได้ส่งผลให้อาคารเสียหายอย่างรุนแรงกว่า 600 หลัง ทำให้มีผู้เสียชีวิตกว่า 10,000 คน ซึ่งจากเหตุการณ์ดังกล่าว ทำให้ประเทศไทยได้มีการตั้งตัวจากแผ่นดินไหว และเตรียมรับมือกับเหตุการณ์ที่อาจเกิดขึ้นในอนาคต

ระบบโครงสร้างอาคารซึ่งแต่ละชั้นประกอบด้วย คาน-เสา-แผ่นพื้นสำเร็จรูป โดยพื้นนั้นเป็นแผ่นพื้นสำเร็จที่หล่อสำเร็จรูปจากโรงงาน เป็นโครงสร้างที่นิยมก่อสร้างในประเทศไทยเป็นอย่างมาก โดยเฉพาะอย่างยิ่งอาคารประเภทตึกแคร บ้านพัก อาคารพาณิชย์ และอาคารขนาดเล็กถึงขนาดปานกลาง ทั้งนี้เนื่องจาก ความรวดเร็วในการก่อสร้าง ราคาค่าก่อสร้าง และความชำนาญของช่างก่อสร้างในระดับทั่วๆ ไปสามารถก่อสร้างได้ ไม่ต้องอาศัยอุปกรณ์พิเศษ หรือผู้ชำนาญการพิเศษในการก่อสร้าง ส่วนการออกแบบอาคารเหล่านี้ วิศวกรจะออกแบบโดยใช้แรงโน้มถ่วง หรือน้ำหนักบรรทุกใช้งานของอาคารเป็นหลักในการออกแบบหน้าตัด คาน เสา และใช้ขนาดแผ่นพื้นสำเร็จที่มีข่ายตามห้องตลาดทั่วไป ซึ่งจะระบุน้ำหนักบรรทุกต่อพื้นที่หนึ่งตารางเมตร ไว้ใช้เป็นพื้นของอาคารแสดงในรูปที่ 2.9 เมื่อพิจารณาแล้วจะพบว่า อาคารเหล่านี้ส่วนใหญ่ไม่ได้ออกแบบมาเพื่อรับแรงแผ่นดินไหว ทั้งนี้ปัจจุบันประเทศไทยได้ออกกฎหมายที่เกี่ยวข้องกับการออกแบบอาคารเพื่อรับแรงจากแผ่นดินไหวคือ “กฎหมายห้องสำนักงานและห้องโถง” ที่กำหนดให้ต้องออกแบบให้มีความปลอดภัยทางโครงสร้างและสามารถรองรับแรงแผ่นดินไหวได้ตามที่กฎหมายกำหนด

น้ำหนัก ความต้านทาน ความคงทนของอาคารและพื้นดินที่รองรับอาคารในการต้านทานแรงสั่นสะเทือนของแผ่นดินไหว พ.ศ.2550” [4] ซึ่งมีพื้นฐานมาจากมาตรฐาน UBC-1985 ตามความในพระราชบัญญัติ ความคุ้มอาคาร พ.ศ.2522 มีผลบังคับใช้ตั้งแต่วันที่ 30 พฤศจิกายน 2550 ที่ผ่านมา ได้กำหนดพื้นที่ควบคุมเป็น 3 บริเวณได้แก่

“บริเวณเฝ้าระวัง” เป็นพื้นที่หรือบริเวณที่อาจได้รับผลกระทบจากแผ่นดินไหว ได้แก่ จังหวัด กระปี ชุมพร พังงา ภูเก็ต ระนอง สงขลา และสุราษฎร์ธานี รวม 7 จังหวัด

“บริเวณที่ 1” เป็นพื้นที่หรือบริเวณที่เป็นดินอ่อนมากที่ได้รับผลกระทบจากแผ่นดินไหวระยะใกล้ ได้แก่ กรุงเทพมหานคร นนทบุรี ปทุมธานี สมุทรปราการ และสมุทรสาคร รวม 5 จังหวัด

“บริเวณที่ 2” เป็นพื้นที่หรือบริเวณที่อยู่ใกล้ร้อยเอ็ดที่อาจได้รับผลกระทบจากแผ่นดินไหว ได้แก่ กาญจนบุรี เชียงราย เชียงใหม่ ตาก น่าน พะเยา แพร่ แม่ฮ่องสอน ลำปาง และ ลำพูน รวม 10 จังหวัด

นอกจากนี้กรมโยธาธิการและผังเมืองได้จัดทำมาตรฐานประกอบการออกแบบอาคารเพื่อ ต้านทานการสั่นสะเทือนของแผ่นดินไหวหรือ “มยพ. 1301-50(มยพ. 1302-52)” ขึ้น เพื่อเพิ่มเติม รายละเอียดการคำนวณออกแบบอาคาร และรายละเอียดในการเสริมเหล็ก ซึ่งกฎกระทรวงและมาตรฐาน ได้มีการเขียนโดยกัน โดยกฎกระทรวงได้ระบุให้การจัดระบบโครงสร้างอาคารจะต้องมีความเห็นยอดย่าง น้อยเทียบเท่าความเห็นยอดจำกัด (Limit Ductility) ตามที่กำหนดในมาตรฐาน

กฎกระทรวงดังกล่าวได้บังคับใช้กับอาคารที่มีความสูงมากกว่า 15 เมตรขึ้นไป และอาคาร เช่น สถานที่ราชการ โรงเรียน โรงพยาบาล หรืออาคารที่มีความสำคัญเท่านั้น อย่างไรก็ตาม บ้านพักอาศัย อาคารพาณิชย์ที่มีความสูงน้อยกว่า 15 เมตร จะไม่เกิดความเสียหายจากแผ่นดินไหว จึงจำเป็นต้องศึกษา ถึงความพร้อมและศักยภาพขององค์อาคาร ค.ส.ล. เหล่านี้ ว่ามีความสามารถรับแรงแผ่นดินไหวได้ใน ระดับไหน ถ้ามีแผ่นดินไหวเกิดขึ้นจริง องค์อาคารจะมีความเสียหายระดับใด และทำอย่างไรจะให้องค์ อาคารเหล่านี้เตรียมพร้อมในการรับแผ่นดินไหวที่คาดการณ์ว่าอาจจะเกิดขึ้นกับประเทศไทยในอนาคต

งานวิจัยนี้มีวัตถุประสงค์ที่จะประเมินความสามารถและศึกษาพฤติกรรมของคน-เสา-แผ่นพื้น สำเร็จรูป คอนกรีตเสริมเหล็ก (ค.ส.ล.) ของเสาตันริม ที่มีรายละเอียดการเสริมเหล็ก และขนาดตามงาน ก่อสร้างจริงในประเทศไทย และที่มีรายละเอียดการเสริมเหล็กตาม “มยพ. 1301-50(มยพ. 1302-52)” ในการรับแรงแผ่นดินไหวโดยการทดสอบในห้องปฏิบัติการ นอกจากนี้จะทำการพัฒนาแบบจำลอง (Analytical Model) สำหรับวิเคราะห์โครงสร้างคน-เสา-แผ่นพื้นสำเร็จรูป ค.ส.ล. ของเสาตันริม เพื่อ เตรียมความพร้อมและปรับปรุงพฤติกรรมโครงสร้างนี้ เพื่อรับเท่ากับการณ์แผ่นดินไหวที่อาจเกิดขึ้นได้ใน อนาคต ในส่วนผลการศึกษาในส่วนแรกจะมุ่งเน้นที่การศึกษาพฤติกรรมของคน-เสา คอนกรีตเสริมเหล็ก ของเสาตันริมด้วยวิธีไฟโนมิลิเม้นต์



รูปที่ 1.1 เหตุการณ์แผ่นดินไหวที่ปากีสถาน เมื่อ 8 ตุลาคม 2548



รูปที่ 1.2 เหตุการณ์แผ่นดินไหวที่มณฑลเสฉวน ประเทศจีน เมื่อ 12 พฤษภาคม 2551

1.2 วัตถุประสงค์ของงานวิจัย

- 1) เพื่อรวบรวมข้อมูลวิธีการออกแบบ และรายละเอียดการก่อสร้างโครงสร้างคน-เสา-แผ่นพื้นสำเร็จรูป ค.ส.ล. ของเสาตันริม ที่ก่อสร้างในประเทศไทย
- 2) พัฒนาแบบจำลองเพื่อวิเคราะห์โครงสร้างข้อต่อ คาน-เสา ค.ส.ล. ของเสาตันริม (Analytical Model) ที่เหมาะสมเพื่อใช้ในการวิเคราะห์และประเมินพฤติกรรมการตอบสนองของโครงสร้างประเภทนี้
- 3) เพื่อศึกษาพฤติกรรมคาน-เสา ค.ส.ล. ของเสาตันริม ที่ออกแบบและก่อสร้างในประเทศไทยโดยใช้มาตรฐานการออกแบบทั่วไปของประเทศไทย (การออกแบบโดยคำนึงถึงน้ำหนักบรรทุกในแนวตั้งเท่านั้น)

1.3 ประโยชน์ที่คาดว่าจะได้รับจากการวิจัย

- 1) ทำให้ทราบถึงพฤติกรรม คาน-เสา คอนกรีตเสริมเหล็กที่ก่อสร้างในประเทศไทย
- 2) ทำให้ประเมินความสามารถในการต้านทานแผ่นดินไหวของคาน-เสา คอนกรีตเสริมเหล็กที่ก่อสร้างในประเทศไทย
- 3) ได้แบบจำลองไฟโนลิเมนต์ คาน-เสา คอนกรีตเสริมเหล็ก ที่มีความถูกต้อง แม่นยำสูง
- 4) ใช้เป็นฐานข้อมูล สำหรับงานวิจัยด้าน พฤติกรรมของอาคารคอนกรีตเสริมเหล็กด้วยวิธีไฟโนลิเมนต์ต่อไป

1.4 ขอบเขตของโครงการวิจัย

โครงการวิจัยนี้ มุ่งเน้นที่การประเมินพฤติกรรมตอบสนองต่อแผ่นดินไหว และความสามารถต้านทานแผ่นดินไหวของโครงสร้าง คาน-เสา ค.ส.ล. ของเสาตันริม ที่ก่อสร้างในประเทศไทย โดยวิธีการวิเคราะห์ด้วยแบบจำลองไฟโนลิเมนต์ การศึกษาส่วนนี้ประกอบด้วย

- 1) พัฒนาแบบจำลองเพื่อวิเคราะห์พฤติกรรมโครงสร้างนี้ด้วยเทคนิควิธีการ Nonlinear Finite Element Analysis โดยแบบจำลองจะมีขนาดและรายละเอียดต่างๆ เหมือนกับตัวอย่างทดสอบที่ทดสอบในห้องปฏิบัติการ
- 2) วิเคราะห์เชิงตัวแปร (Parametric Study) เพื่อหาตัวแปรสำคัญ ที่มีผลต่อพฤติกรรมโครงสร้างทั้งสองประเภทนี้ เมื่อรับแรงแผ่นดินไหวโดยมุ่งเน้นที่รายละเอียดการเสริมเหล็ก

บทที่ 2

ทฤษฎีและงานวิจัยที่เกี่ยวข้อง

2.1 บทนำ

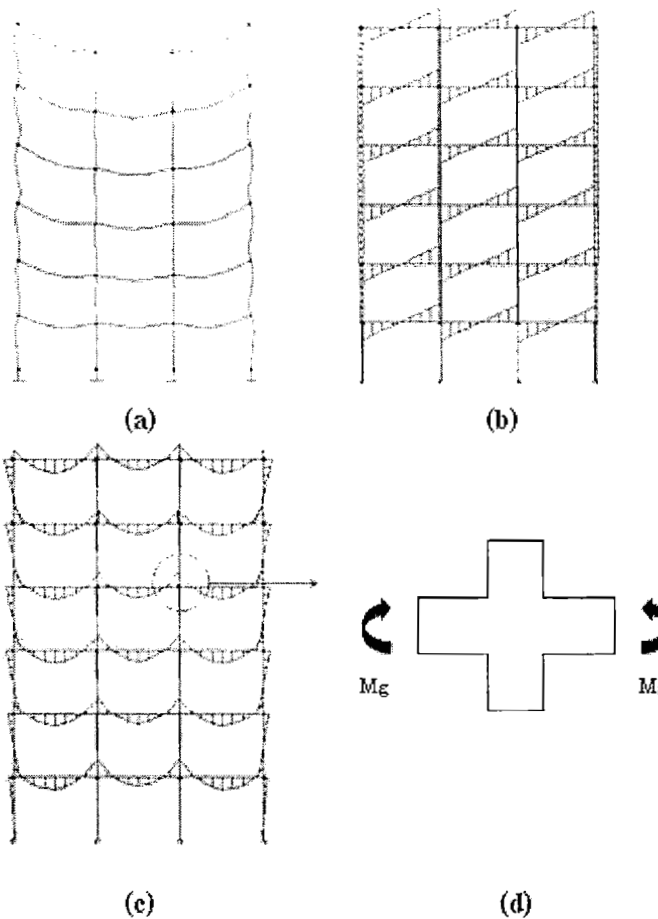
หลักการออกแบบต้านทานแรงแผ่นดินไหวที่เป็นที่ยอมรับกันอย่างสากลคือ ภายใต้แผ่นดินไหวขนาดเล็กจะต้องไม่เกิดความเสียหายแก่ส่วนหนึ่งส่วนใดของตัวอาคาร ภายใต้แผ่นดินไหวขนาดปานกลางจะต้องไม่เกิดความเสียหายแก่ส่วนของโครงสร้างที่รับแรง และภายใต้แผ่นดินไหวขนาดใหญ่ อาคารอาจเกิดความเสียหายแก่ส่วนของโครงสร้างรับแรงได้ แต่ต้องไม่พังถล่มลงมา เพื่อความปลอดภัยแก่ชีวิตผู้อยู่อาศัย กล่าวอีกนัยหนึ่งคือ โครงสร้างจะต้องถูกออกแบบให้มีความเหนียวตื้อพอ เพื่อให้อาคารนั้นสามารถทนต่อการสั่นไหว จนถึงขีดจำกัดการแตกร้าว และเกิดการครackขององค์อาคารได้พร้อมๆ กัน โดยยังคงกำลังส่วนใหญ่ไว้ได้ (80% ของกำลังสูงสุด) ดังนั้น เมื่ออาคาร ค.ส.ล. ที่ถูกออกแบบรายละเอียดให้มีความเหนียว (มีรายละเอียดการเสริมเหล็กที่ดีพอ) จะสามารถดูดซับพลังงานจากการสั่นไหวเมื่อเกิดแผ่นดินไหวได้ดี โดยที่รักษากำลังส่วนใหญ่ของอาคารไว้ได้ และไม่พังทลายในขณะเกิดแผ่นดินไหว ในทางตรงกันข้าม ถ้าองค์อาคาร ค.ส.ล. ส่วนหนึ่งส่วนใดเข่น ข้อต่อ ไม่มีความเหนียวพอหรือไม่แข็งแรงพอ ก็จะไม่สามารถรับแรงแผ่นดินไหว และแรงแนวตั้งต่อไปได้ และเกิดการวิบัติเสียก่อน และจะทำให้องค์อาคารรวมเกิดการวิบัติตามมาอย่างรวดเร็ว

อาคารคอนกรีตเสริมเหล็ก (ค.ส.ล.) ในประเทศไทยนั้น ส่วนใหญ่จะถูกออกแบบโดยคำนึงถึงแรงในแนวตั้ง (น้ำหนักบรรทุกคงที่และน้ำหนักบรรทุกจร) รวมกับแรงลมเป็นหลัก โดยวิศวกรจะคำนวณองค์อาคารแต่ละส่วนแยกกัน เช่น พื้น คาน เสา และ ฐานราก วิศวกรทั่วไปจะออกแบบให้องค์อาคารมีกำลังเพียงพอต่อแรงดังกล่าว โดยใช้ความรู้พื้นฐานต่างๆ และมักไม่คำนึงถึงความสามารถในการเสียรูปขององค์อาคารย่อย และ/หรือองค์อาคารรวม การให้รายละเอียดของเหล็กเสริมในองค์อาคาร ค.ส.ล. เหล่านี้ ก็จะมุ่งเน้นไปที่ความสามารถในการรับแรงขององค์อาคารแต่ละส่วนดังกล่าวเป็นหลัก กล่าวอีกนัยหนึ่งคือ วิศวกรโดยทั่วไป จะออกแบบอาคาร ค.ส.ล. ให้มีพฤติกรรมอยู่ในสภาพอิสระติก และควบคุมการเสียรูปขององค์อาคารให้อยู่ภายใต้ข้อกำหนด เช่น ความมีระยะแอลเอนไม่เกินความยาวคาน (L/360) เมื่อมีน้ำหนักบรรทุกจึงทำเป็นตัน

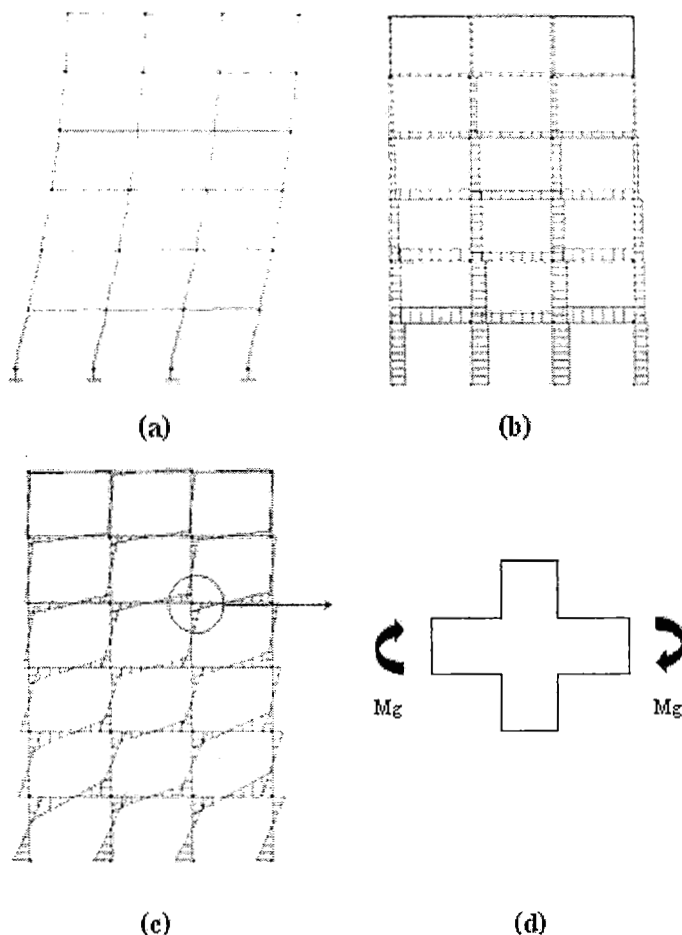
อย่างไรก็ตาม แรงแผ่นดินไหวมีผลกระทบต่อโครงสร้างในลักษณะที่แตกต่างจากแรงอื่นๆ ที่กล่าวมาแล้วข้างต้น กล่าวคือ แรงที่เกิดขึ้นในองค์อาคารจากแผ่นดินไหว เป็นผลจากการที่ฐานของอาคารถูกทำให้เคลื่อนตัวออกไป (โดยพื้นดิน) แต่มวลเนื้อย (Inertia) ของอาคารทำให้ส่วนต่างๆ เช่น เสา คาน พื้น โครงหลังคาของอาคาร ไม่เคลื่อนตัวไปพร้อมกับฐานทันที ยังผลทำให้เกิดการเสียรูปในองค์อาคารต่างๆ เช่น เสา คาน ข้อต่อคาน-เสา เป็นต้น ดังนั้นจะเห็นว่า หลักการออกแบบอาคาร ค.ส.ล. ที่วิศวกรใช้อยู่

โดยที่ว่าเป็นปัจจุบันนี้ มีความแตกต่างจากการออกแบบอาคาร ค.ส.ล. รับแรงแผ่นดินไหวเป็นอย่างมาก หากวิศวกรคำนวนแรง และออกแบบตามหลักวิชาการเดิมที่ใช้กันอยู่เพียงอย่างเดียว โดยไม่มีความเข้าใจ พฤติกรรมของอาคารโดยรวม และไม่ทำการออกแบบรายละเอียด (detailing) ให้เหมาะสม ให้มีความ เหนียวเพียงพอแล้ว อาคาร ค.ส.ล. ที่ออกแบบไว้จะไม่สามารถทนต่อการยกไปมาเนื่องจากแผ่นดินไหว ได้

เมื่อมีแรงแนวตั้งกระทำต่ออาคาร ค.ส.ล. อาคารจะมีการเปลี่ยนรูป โดยมีแรงเฉือนและโมเมนต์ดัด ดังแสดงในรูปที่ 2.1 จากรูปจะเห็นว่าโมเมนต์ที่เกิดขึ้นในคานที่บริเวณเหนือเสา เป็นโมเมนต์ลบ และ โมเมนต์ที่เกิดขึ้นที่บริเวณกลางช่วงคานเป็นโมเมนต์บวก ส่วนโมเมนต์ในเสา มีค่าค่อนข้างน้อย โดยที่เสา ตันใน มีโมเมนต์กระทำน้อยกว่าเสาตันนอก ส่วนในรูปที่ 2.2 แสดงการเสียรูปแรงเฉือนและโมเมนต์ดัดใน อาคาร ค.ส.ล. เมื่อมีแรงแผ่นดินไหว หรือแรงแนวราบกระทำ จะเห็นได้ว่าโมเมนต์มีค่าสูงสุดที่ปลายคาน และปลายเสา โดยมีค่าน้อยที่กลางช่วงคานและเสา หรืออาจกล่าวได้ว่าจุดดักกลับ เกิดขึ้นที่บริเวณกลาง ช่วงคานและเสา ดังนั้นเมื่อมีแรงแผ่นดินไหวมากระทำต่ออาคาร บริเวณที่จะเกิดความเสียหายก่อนจะเป็น บริเวณปลายคาน และบริเวณข้อต่อระหว่างคาน-เสา จากรูปที่ 2.2 จะเห็นว่า ข้อต่อระหว่างคาน-เสา นั้น มีความสำคัญเป็นอย่างมาก หรือจะกล่าวได้ว่าข้อต่อเป็นจุดเชื่อมที่อ่อนแอกว่าสุดในอาคาร เพราะเป็นส่วน สำคัญที่จะส่งถ่ายแรงจากองค์อาคารส่วนหนึ่งไปยังองค์อาคารอีกด้านหนึ่ง ดังนั้นข้อต่อคาน-เสา ควรมี ความเหนียวเพียงพอที่จะถ่ายพลังงานแผ่นดินไหวได้ จากรูปที่ 2.1C จะเห็นได้ว่า ภายใต้น้ำหนักบรรทุก แนวตั้ง ข้อต่อคาน-เสา ไม่ได้รับแรงอะไรมากนัก เพราะโมเมนต์ที่ปลายคานทั้งสองด้านของข้อต่อ มี ทิศทางตรงกันข้าม ดังนั้นจึงมีการถ่ายเท Unbalanced Moment สูงถ่ายเข้าไปที่ข้อต่อไม่มากนัก ในทางตรงกันข้าม เมื่อมีแรงแผ่นดินไหวกระทำต่ออาคาร ข้อต่อระหว่างคาน-เสา จะเป็นบริเวณที่มีการ ถ่ายแรงสูงมาก ที่เป็นเช่นนี้ เพราะโมเมนต์ที่ปลายคานทั้งสองด้านของข้อต่อ มีทิศทางเดียวกัน ดังแสดงใน รูป 2.2C ดังนั้นจึงทำให้เกิด Unbalanced Moment สูงถ่ายเข้าไปที่ข้อต่อ



รูปที่ 2.1 การเสียรูป แรงเฉือน และโมเมนต์ที่เกิดขึ้นในอาคาร ค.ส.ล. เมื่อรับแรงแนวดิ่ง



รูปที่ 2.2 การเสียรูป แรงเฉือน และโมเมนต์ที่เกิดขึ้นในอาคาร ค.ส.ล. เมื่อรับแรงแผ่นดินไหว

2.2 ข้อต่อคาน-เสา (Beam-Column Joint)

ข้อต่อคาน-เสา ในอาคาร ค.ส.ล. คือส่วนของโครงสร้างคานที่อยู่ในเสา หรือส่วนที่ตัดกันระหว่างเสา และคาน ซึ่งทำหน้าที่ถ่ายแรง และโมเมนต์จากปลายคานไปยังเสา ข้อต่อระหว่างคาน-เสา นั้นมีความสำคัญเป็นอย่างมาก ความมีความแข็งแรง (Strength and Stiffness) และมีความเหนี่ยว (Ductility) เพียงพอ ที่จะสามารถพลังงานแผ่นดินไหวได้

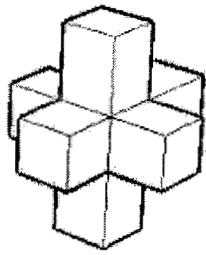
2.2.1 ประเภทของข้อต่อคาน-เสา

สำหรับข้อต่อคาน-เสา ของโครงสร้างอาคาร ค.ส.ล. นั้น ทางสถาบัน ACI Committee 352 [6] ได้จำแนกประเภทตามลักษณะรูปทรงของข้อต่อ (Joint Geometry) ดังนี้

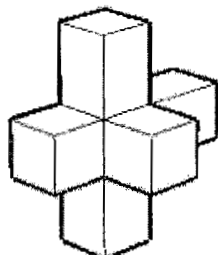
- 1) Interior beam-column joint โครงสร้างของคานทั้ง 4 ด้าน อยู่ในโครงสร้างของเสาในแนวเดิม แสดงดังรูป 2.3 (a)

2.) Exterior beam-column joint โครงสร้างของคาน 1 ด้านอยู่ในโครงสร้างของเสาในแนวตั้ง และมีโครงสร้างของคานอีก 2 ด้าน ตั้งฉากกับข้อต่อ แสดงดังรูป 2.3 (b)

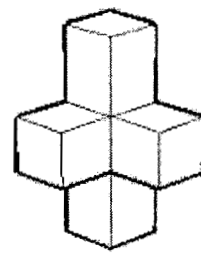
3.) Corner beam-column joint โครงสร้างของคานทั้ง 2 ด้าน อยู่ในโครงสร้างของเสาในแนวตั้ง โดยคานทั้งสอง มีทิศทางตั้งฉากกัน แสดงดังรูป 2.(c)



(a) Interior Joint



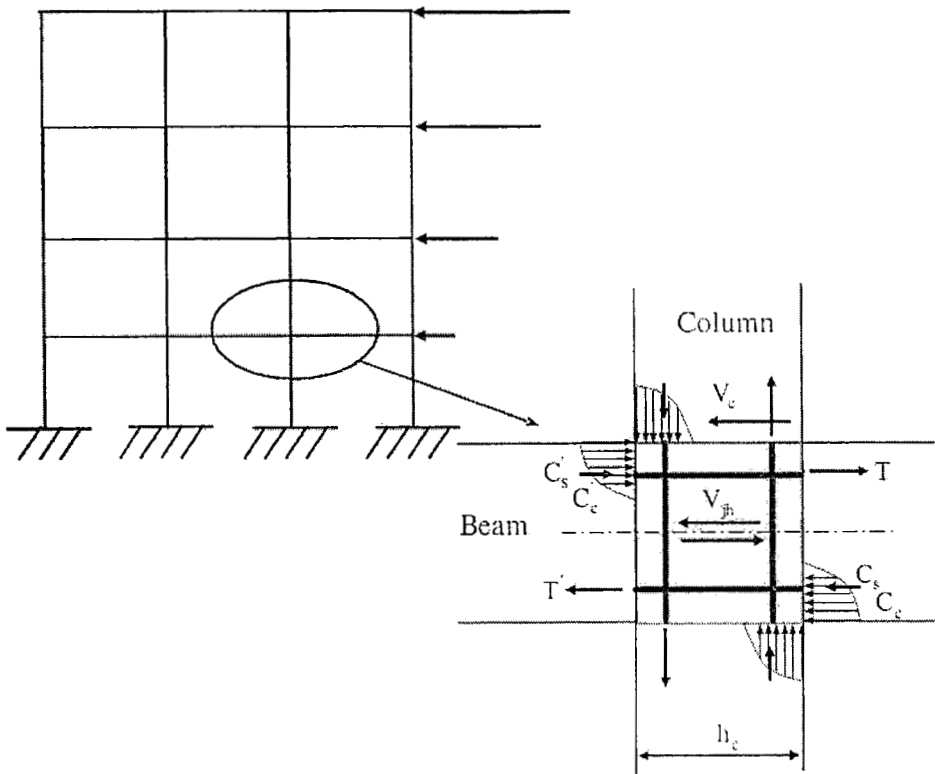
(b) Exterior Joint



(c) Corner Joint

รูปที่ 2.3 ประเภทของข้อต่อคาน-เสา

2.2.2 พฤติกรรมของข้อต่อคาน-เสา เมื่อรับแรงแผ่นดินไหว



รูปที่ 2.4 พฤติกรรมของข้อต่อคาน-เสา เมื่อรับแรงแผ่นดินไหว

เมื่อมีแรงแผ่นดินไหว หรือแรงแนวราบ กระทำต่ออาคาร ค.ส.ล. อาคาร ข้อต่อคาน-เสา จะมีการเปลี่ยนแปลงดังรูปที่ 2.4 จากรูปสามารถหาแรงกระทำในแนวราบ ที่ต่ำแน่นกึ่งกลางของข้อต่อ V_{jh} หรือแรงเฉือนที่ข้อต่อ ได้ดังสมการ 2.1 และ 2.2

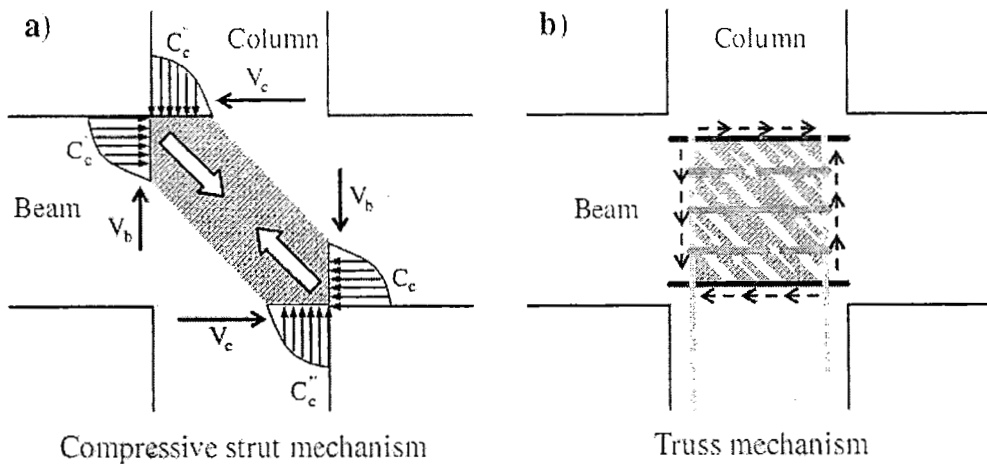
$$V_{jh} = T + C'_c + C'_s - V_c \quad (2.1)$$

$$V_{jh} = T + T' - V_c \quad (2.2)$$

เมื่อ T คือแรงดึงในเหล็กบน, T' คือแรงดึงในเหล็กล่าง, V_c คือแรงเฉือนในเสา, C'_c คือแรงอัดในคอนกรีต และ C'_s คือแรงอัดในเหล็กเสริม

2.2.3 กลไกการวิบัติของข้อต่อ

Paulay (1978) และคณะ [16] ได้สร้างแบบจำลอง (Model) อธิบายกำลังต้านทานแรงเฉือนในจุดต่อ ซึ่งนิยมใช้กันมากในปัจจุบัน มีอยู่ทั้งหมด 2 แบบจำลอง คือ Strut Mechanism และ Truss Mechanism ดังแสดงในรูปที่ 2.5



รูปที่ 2.5 แบบจำลองการต้านทานแรงเฉือนในจุดต่อของ T. Paulay [16]

กลไกของ Strut Mechanism คือกำลังรับแรงเฉือนของข้อต่อนั้นขึ้นอยู่กับกำลังต้านทานแรงอัดของคอนกรีตในแนวทแยง ดังนั้นมีเหล็กเสริมเกิดการคราก แรงเฉือนทั้งหมดของข้อต่อ จะถูกถ่ายไปยังคอนกรีตในแนวทแยงเพื่อต้านทานการวิบัติ ดังแสดงในรูป 2.5a และกลไกของ Truss Mechanism คือรับแรงเฉือนของข้อต่อนั้นขึ้นอยู่กับกำลังครากของเหล็กรับแรงเฉือนในข้อต่อ โดยอาศัยแรงยึดเหนี่ยวระหว่างเหล็กนอนและคอนกรีต ดังแสดงในรูป 2.5b

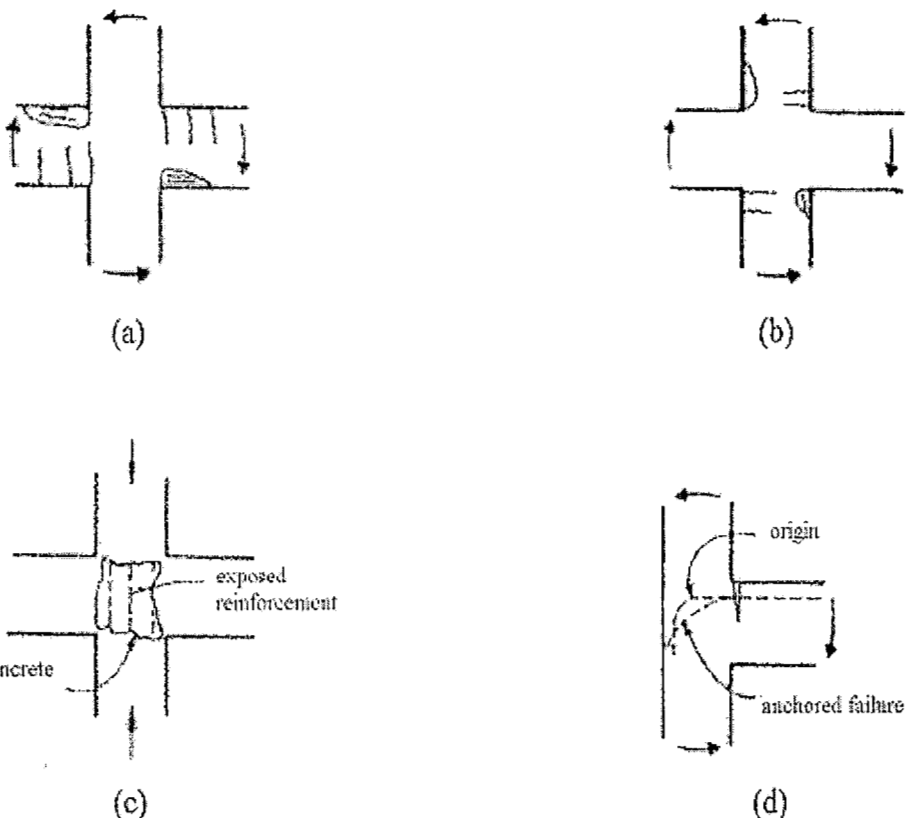
2.3 งานวิจัยที่เกี่ยวข้อง

ในอดีตการศึกษาโครงสร้าง คาน-เสา-พื้นสำเร็จรูปมีน้อยมาก ส่วนใหญ่จะเป็นการศึกษาพฤติกรรมข้อต่อคาน-เสา หรือไม่ก็เป็นการศึกษาพฤติกรรมโครงสร้าง คาน-เสา-พื้นคอนกรีตอัดแรงอย่างไรก็ตาม การศึกษาเหล่านี้ ก็เป็นแนวทางที่สามารถนำมาเป็นพื้นฐานของการศึกษานี้ได้เป็นอย่างดี ดังนั้นจึงขอกล่าวถึงการศึกษาเหล่านั้นดังนี้

อานนท์ วงศ์แก้ว และคณะ [20] ได้ทำการศึกษาพฤติกรรมคนคอกนกรีตเสริมเหล็ก ด้วยวิธีการประยุกต์ใช้เว็บไฟในอิเลเมนต์ โดยใช้โปรแกรมไฟในอิเลเมนต์ ANSYS สร้างแบบจำลองไฟในอิเลเมนต์ของคนคอกนกรีตเสริมเหล็กที่ทำการทดสอบตัวอย่างคนคอกนกรีตเสริมเหล็กที่หล่อในห้องปฏิบัติการภาควิชาวิศวกรรมโยธา มหาวิทยาลัยบูรพา และทำการวิเคราะห์แบบจำลอง เทียบผลการรับน้ำหนัก ค่าการแอล์ตัว และลักษณะการพังของแบบจำลองกับค่าที่วัดได้จากการทดสอบ จากการศึกษาแสดงให้เห็นว่าแบบจำลองไฟในอิเลเมนต์ของคนคอกนกรีตเสริมเหล็กที่พัฒนาขึ้นมีความถูกต้องในระดับที่ดีมาก สามารถทำนายค่าโมเมนต์เต格ร้า ค่าโมเมนต์ที่สภาวะเหล็กเสริมเริ่มคราก และค่าโมเมนต์ที่จุดสูงสุดได้ใกล้เคียงผลการทดสอบ โดยมีค่าความผิดพลาดไม่เกิน 15 เปอร์เซนต์ นอกจากนี้แบบจำลองไฟในอิเลเมนต์ยังแสดงลักษณะการพังของคนคอกนกรีตเสริมเหล็กได้แม่นยำใกล้เคียงกับผลการทดสอบอีกด้วย

Meinheit และ Jirsa [8] ได้ศึกษารูปแบบการวิบัติของข้อต่อคน-เสา โดยมีการจำแนกรูปแบบของการวิบัติดังนี้

- a) Beam hinging failure เกิด Plastic hinge ที่ปลายคน เนื่องจากคนรับแรงกระทำไม่ไหว ทำให้เกิดรอยร้าวบริเวณรอบๆคน โดยคนจะพังก่อน ข้อต่อ และเสา การวิบัติแบบนี้ก่อให้เกิดความเสียหายไม่มากนัก
- b) Column hinging failure failure เกิด Plastic hinge ที่ปลายเสา เนื่องจากเสารับแรงกระทำไม่ไหว ทำให้เกิดรอยร้าวบริเวณรอบๆเสา โดยเสาจะเกิดการพังก่อน การวิบัติแบบนี้ก่อให้เกิดอันตรายอย่างมาก เพราะเมื่อเสาเสียหายทำให้โครงสร้างเกิดการเคลื่อนตัวทางด้านข้าง (Side sway) ทำให้โครงสร้างหงส์ Hammond พังทลาย
- c) Joint shear failure เกิดขึ้นเนื่องจากกำลังรับแรงของข้อต่อไม่เพียงพอ เกิดรอยร้าวที่ข้อต่อ ทำให้คอกนกรีตที่ผิวหลุดร่อนออกจากข้อต่อ ส่งผลให้เหล็กเสริมในเสาเกิดการดึง (Buckle) ทำให้เสาพังลงมา การวิบัติแบบนี้อันตรายมาก
- d) Anchorage failure การวิบัตินี้เกิดขึ้นเฉพาะ Exterior Joint เท่านั้น เกิดจากระยะอปลาย (Anchorage length) ไม่เพียงพอ ทำให้เหล็กเสริมในคนเกิดการรูด ส่งผลให้คนไม่สามารถรับแรงได้ตามที่ออกแบบไว้



รูปที่ 2.6 การวิบัติของข้อต่อ [8]

Thinh et al. [9] ได้ทำการทดสอบ Interior beam-column ตัวอย่างแรกในประเทศไทย ภายใต้วิธีแรงวัดจักรกีฬา ใช้ตัวอย่างขนาดครึ่งหนึ่งจากตัวอย่างจริง ที่มีรายละเอียดการเสริมเหล็กที่ออกแบบในประเทศไทย โดยขึ้นงานทดสอบให้ปลายคานและปลายเสาด้านล่างมีสภาพยึดรั้งแบบหมุนอิสระ (pin-connected) และปลายคานเคลื่อนที่ได้อย่างอิสระในแนวราบ จากการทดสอบพบว่าตัวอย่าง มีการวิบัติที่ข้อต่อ และเป็นการวิบัติแบบเปราะ (Brittle failure) มีการ斷裂พังงานแผ่นดินไหวน้อยมาก จึงไม่เหมาะสมในการต้านทานแผ่นดินไหว

Cheejaroen et al. [10] ได้ทำการทดสอบ Interior beam-column จำนวน 3 ตัวอย่าง แต่ละ ตัวอย่างเป็นตัวแทนของอาคารคอนกรีตเสริมเหล็กที่ก่อสร้างในประเทศไทย โดยแบ่งเป็นกลุ่มตามพื้นที่ อาณาเขตของเสา (Tributary area) จากผลการทดสอบพบว่า ตัวอย่างที่ 1 ที่เป็นตัวแทนของพื้นที่อาณาเขตขนาดใหญ่ (40.5-57.0 ตรม.) เกิดการวิบัติที่ปลายคาน ด้านที่คอนกรีตรับแรงอัด ตัวอย่างมีความหน่วง พอกควร จุดต่อเกิดความเสียหายน้อย ตัวอย่างที่ 2 ที่เป็นตัวแทนของพื้นที่อาณาเขตเสาปานกลาง (20-32.4 ตรม.) และตัวอย่างที่ 3 ที่เป็นตัวแทนของพื้นที่อาณาเขตเสาน้อย (9-17.5 ตรม.) เกิดการวิบัติที่จุด

ต่อ มีการถลายพลังงานแผ่นดินไหวน้อยมาก ดังนั้นจึงสรุปได้ว่าอาคารที่มีพื้นที่อานาเขตของเสามาก มีความหนึ่งมากกว่า และมีการถลายพลังงานแผ่นดินไหวได้ดีกว่า

Worakanchara [11] ศึกษาทดสอบ quasi-static cyclic loading สำหรับชั้นส่วนเสาต่อการหักต่อเหล็กเสริมในเสา เพื่อพิจารณาว่าเสา มีพฤติกรรมอย่างไร ภายใต้ cyclic loading ทำการศึกษา 6 ตัวอย่างจุดต่อที่เป็นตัวแทนอาคารคอนกรีตเสริมเหล็กสูงปานกลาง จากการทดสอบพบว่า brittle failure mode ความแข็งแรงของชั้นงานลดลงมากกว่า 20% ของความต้านทานสูงสุดที่ 2% drift และลดลงที่ 30-40% ที่ 5% drift ความแข็งแรงสูงสุดที่เกิดขึ้นที่ 1.1-1.4% drift โดยชั้นส่วนที่มีการปรับรายละเอียด มีความแข็งแรงและ drift ที่สูงขึ้น ยกเว้นแต่ ductility

มาตรฐานข้อกำหนด ACI 318-99 [5] เมื่อเกิดแผ่นดินไหว อาคารโยกตัวไปมา ชั้นส่วนโครงสร้างอาจแยกออกจากกัน และคอนกรีตอาจแตกหลุดออกจากเสียกลังส่วนใหญ่จนเกิดการวินาศัย การเพิ่มเหล็กปลอกรั้ดถีชั้นในบริเวณบางส่วนของคาน เสา และข้อต่อ รวมทั้งการเพิ่มความยาวการผ่านเหล็กเข้าข้อต่อให้เพียงพอ จะช่วยเพิ่มความหนึ่งไว้กับโครงสร้างอย่างมาก และช่วยลดความเสี่ยงจากการพังทลายที่กล่าวข้างต้น ดังนั้นการออกแบบอาคารรองรับแผ่นดินไหวโดยใช้รายละเอียดการเสริมเหล็ก ตามมาตรฐานทั่วไปอาจจะไม่เพียงพอ ACI (American Concrete Institute) จึงได้จัดทำรายละเอียดการเสริมเหล็กสำหรับการออกแบบต้านทานแผ่นดินไหวโดยเฉพาะขึ้น ใน ACI318M-02 ได้แบ่งระดับความเสี่ยงของแผ่นดินไหวเป็นพื้นที่ความเสี่ยงเล็กน้อย (Low Seismic Risk) พื้นที่ความเสี่ยงปานกลาง (Moderate Seismic Risk) และมีพื้นที่ความเสี่ยงสูง (High Seismic Risk) ซึ่งแต่ละพื้นที่จะมีความรุนแรงแตกต่างกันไปในที่นี้จะกล่าวถึงพื้นที่ความเสี่ยงปานกลาง (เทียบเคียงกับ UBC Seismic Zone 2) ซึ่งน่าจะเหมาะสมกับความเสี่ยงที่ไม่แน่นอนและมีการเพิ่มความหนึ่งไว้กับอาคารในพื้นที่ที่ได้รับผลกระทบจากแผ่นดินไหวในประเทศไทย ส่วนรายละเอียดการเสริมเหล็กสำหรับโครงเฟรมในพื้นที่ความเสี่ยงปานกลางนี้ ACI318M-02 ให้ใช้ตามข้อกำหนดของโครงเฟรมโมเมนต์ดั้ปานกลาง (Intermediate Moment Frame) โดยให้รายละเอียดแนวทางการเสริมเหล็กแสดงดังรูปที่ 2.7 ไว้ดังนี้

1) รายละเอียดเหล็กเสริมในเสา

1.1) ที่ปลายบนล่างของเสาในช่วง L_o เหล็กปลอกรอบต้องมีระยะห่างทุกระยะ S_o โดยที่ S_o มีระยะไม่เกินค่าที่น้อยที่สุดของค่าต่อไปนี้

- (a) 8 เท่าของเส้นผ่านศูนย์กลางของเหล็กยืนที่เล็กที่สุด
- (b) 24 เท่าของเส้นผ่านศูนย์กลางของเหล็กปลอก
- (c) ครึ่งหนึ่งของด้านแคบของเสา
- (d) 300 มิลลิเมตร

สำหรับความยาว L_o ต้องไม่น้อยกว่าค่าที่มากที่สุดของค่าต่อไปนี้

- (e) 1/6 ของความสูงเสาจากพื้นถึงท้องคาน (Clear Height)

(f) ด้านที่กว้างที่สุดของเสา

(g) 450 มิลลิเมตร

1.2) เหล็กปลอกอันแรกต้องห่างจากขอบคานไม่เกินครึ่งหนึ่งของ

1.3) นอกรหัส L_x เหล็กปลอกต้องมีระยะห่างทุกๆ ระยะ S_1 โดย S_1 มีระยะไม่เกินค่าที่น้อยที่สุดของค่าต่อไปนี้

(h) 16 เท่า ของเส้นผ่านศูนย์กลางเหล็กปลอก

(j) ด้านแคบของเสา

(k) 600 มิลลิเมตร

ในกรณีที่ต้องใช้เหล็กปลอกรับแรงเฉือนระยะ S_1 ต้องไม่เกินครึ่งหนึ่งของความลึกประสิทธิผลของหน้าตัดเสา

1.4) ระยะห่างของเหล็กปลอกช่วงข้อต่อต้องเป็น 2 เท่าของ S_0

1.5) การต่อทابเหล็กยืน ยอมให้ต่อทابในช่วงกึ่งกลาง (Center Half) ของความยาวเสา โดยมีเหล็กปลอกรัดทุกๆ ระยะห่างไม่เกินค่าต่อไปนี้

(j) 1/4 ของความกว้างน้อยที่สุดของเสา

(m) 6 เท่าของเส้นผ่านศูนย์กลางของเหล็กยืน

(n) S_x ตามสมการข้างล่างนี้

$$S = 100 + \frac{350 - h_x}{3}$$

เมื่อ h_x เท่ากับระยะนานอนที่มากที่สุดของเหล็กยืนของทุกหน้าตัดเสาที่ถูกยืดเข้ามุนหรือของของเหล็กปลอกหรือเหล็กปลอกรัดขวางใดๆ หน่วยเป็นมิลลิเมตร โดยที่ h_x ไม่ควรมากกว่า 350 มิลลิเมตร โดยค่าของ S ควรไม่เกิน 150 มิลลิเมตร และไม่จำเป็นต้องน้อยกว่า 100 มิลลิเมตร

2) รายละเอียดเหล็กเสริมในคาน

2.1) ที่ปลายทั้งสองข้างของคานในช่วงความยาว 2 เท่า ของความลึกคาน (h_x) วัดจากขอบเสาเข้าสู่กลางคาน เหล็กปลอกครอบอันแรกต้องมีระยะห่างไม่เกิน 50 มิลลิเมตรจากขอบเสา และปลอกถัดไปต้องมีระยะห่างทุกๆ ระยะ S_2 โดยที่ S_2 ระยะไม่เกินค่าที่น้อยที่สุดของค่าต่อไปนี้

(a) 1/4 ของความลึกประสิทธิผลของคาน

(b) 8 เท่าของเส้นผ่านศูนย์กลางของเหล็กเสริมทางยาวที่เล็กที่สุด

(c) 24 เท่าของเส้นผ่านศูนย์กลางของเหล็กปลอก

(d) 300 มิลลิเมตร

2.2) นอกเหนือจากข้อ 2.1 ระยะห่างของเหล็กกลอก (S_3) ต้องไม่เกินครึ่งหนึ่งของความลึกประสิทิผลของคานตลอดความยาวคาน

2.3) การต่อทابเหล็กเสริมทางยาวจะต้องพับเหล็กกลอกช่วงทابเหล็ก โดยที่ระยะเหล็กกลอกห่างกันไม่เกิน $1/4$ ของความลึกประสิทิผลของคานหรือ 100 มิลลิเมตร สำหรับตำแหน่งของเหล็กไม่ควรทำให้เหล็กในบริเวณดังต่อไปนี้

(e) ภายในรอยต่อเสา-คาน

(f) ภายในระยะ 2 เท่าของความลึกคานจากขอบจุดต่อเสา-คาน

(g) ตำแหน่งที่การวิเคราะห์บ่งชี้ว่าจะเกิดการคลากจากการตัด (Flexural Yielding) หรือข้อห埙พลาสติก (Plastic Hinging) จากการโยกตัวทางข้างของโครงเฟรมจนเป็น Inelastic

3) จุดต่อขึ้นส่วนโครงสร้างต่างๆ

ภายในจุดต่อจะต้องมีการฝังเหล็กเสริมจากขึ้นส่วนโครงสร้างเข้าจุดต่ออย่างเพียงพอ ไม่ครุ่นหลุด หรือแยกออกเมื่อเกิดการสั่นสะเทือนจากแผ่นดินไหวและจะต้องมีการพันเหล็กกลอกรัดเนื้อคอนกรีต (Confinement) อย่างเพียงพอเพื่อไม่ให้คอนกรีตแตกแยกจนสูญเสียกำลังส่วนใหญ่และเหล็กเส้นเสริมสูญเสียการยึดเหนี่ยว (Bonding)

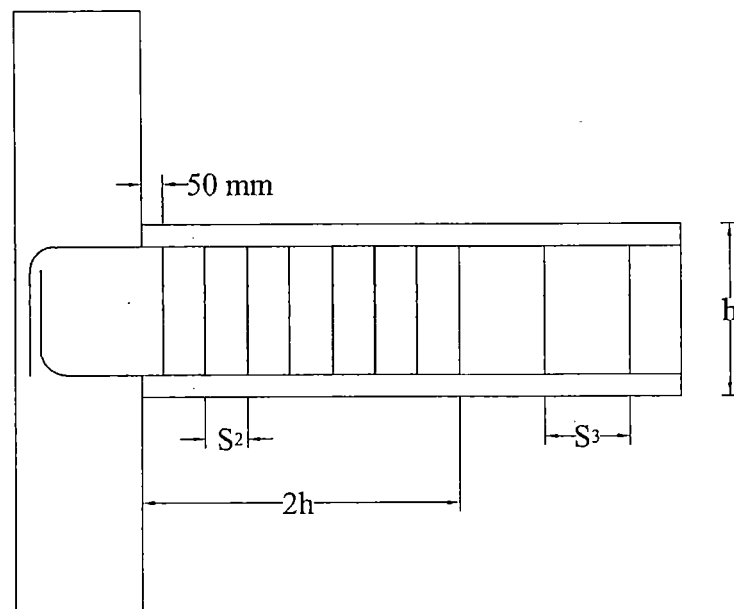
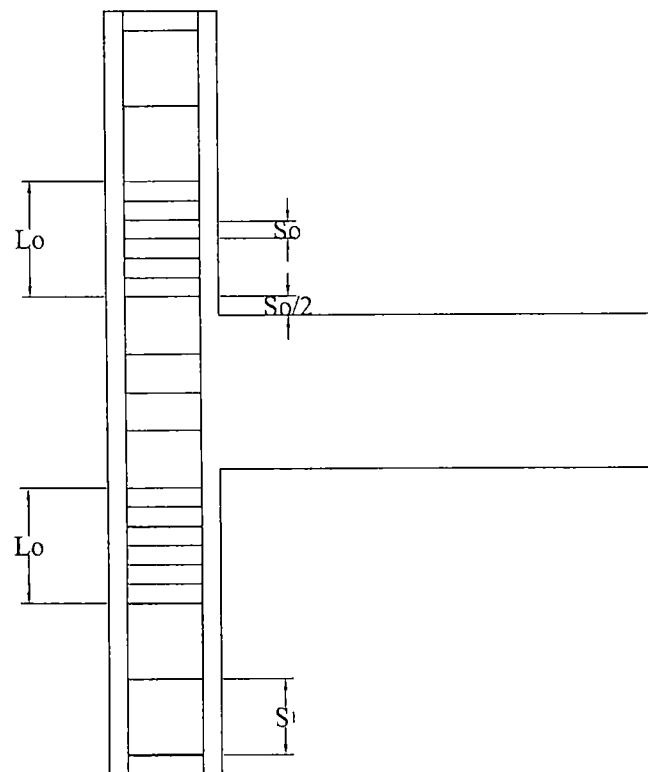
มาตรฐานข้อกำหนด ACI 352-1985 [7] เมื่อไม่คำนึงถึงแรงจากแผ่นดินไหว และอ้างอิงตามมาตรฐานการออกแบบคอนกรีตเสริมเหล็กโดยวิธีหน่วยแรงใช้งาน (WSD) และวิธีกำลัง (USD) ของสมาคมวิศวกรรมสถานแห่งประเทศไทย การให้รายละเอียดเหล็กเสริมโดยทั่วไปแสดงดังรูปที่ 2.8 ซึ่งสามารถสรุปได้ดังนี้

- ไม่มีเหล็กทางขวา (Transverse reinforcement) ในข้อต่อคาน-เสา
- มีการทำเหล็กยึนในเสาที่ระดับหนึ่งพื้นเล็กน้อย โดยมีระยะทابตามมาตรฐาน
- เหล็กกลอกในเสามีระยะเรียงห่างกันมาก ส่วนมากใส่ตามจำนวนเหล็กกลอกขั้นต่ำในมาตรฐาน
- มีการต่อทابเหล็กล่างในคาน ที่ตำแหน่งข้อต่อคาน-เสา

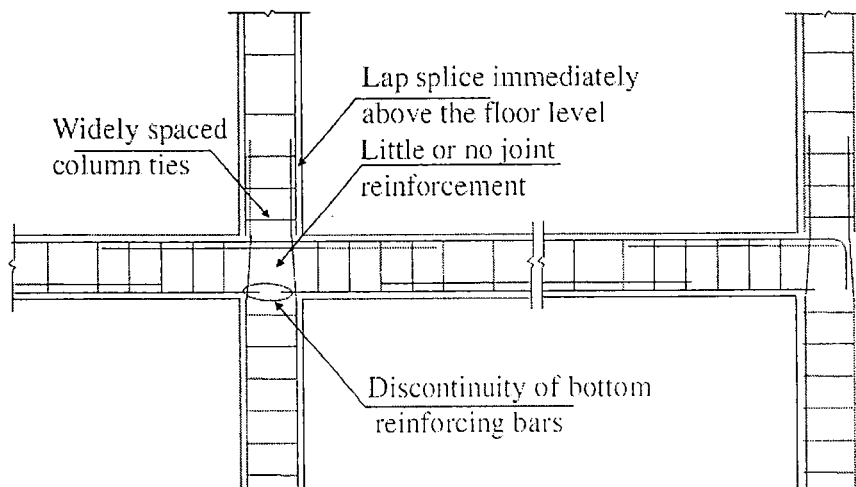
ส่วนในรูปที่ 2.9 แสดงรายละเอียดการก่อสร้างและขนาดแผ่นพื้นสำเร็จรูปที่ใช้ในประเทศไทย จากรูปพบว่า เมื่อผู้ออกแบบเลือกขนาดของแผ่นพื้นตามตารางที่ระบุน้ำหนักบรรทุกปลดภัย (กก./ตร.ม.) ซึ่งมีความสัมพันธ์กับจำนวนลวดอัดแรง ช่วงความยาวแผ่นพื้นที่ใช้ และความหนาของคอนกรีตที่ใช้เทับด้านบน เช่น 4 ซม. หรือ 5 ซม. ลักษณะการก่อสร้าง จะนำแผ่นพื้นสำเร็จรูปที่ได้เลือกขนาดตามตารางมาวางพอดบนคานทั้งสองฝั่ง โดยใช้คานเป็นที่รองรับ จากนั้นด้านบนจะปูด้วยเหล็กกลมขนาด 6 มม. สามเป็นตัวแกรงขนาด 20 ซม. ที่บริเวณปลายแผ่นพื้นสำเร็จรูปที่วางอยู่บนคาน จะมีเหล็กกลม dowel ขนาด

9 มม. วางไว้ที่ระยะห่างทุกๆ 15 ซม. นอกจากนี้ยังมีเหล็กกลม(เหล็กหนวดกุ้ง) ขนาด 6 มม. ซึ่งโผล่ขึ้นมาจากด้านบน ถูกหักทำเป็นร่องรอยๆ ซึ่งขึ้นอยู่กับช่างในแต่ละที่ว่าจะวางห่างกันเท่าไร ปกติจะอยู่ที่ประมาณ 15 ซม. สลับกับเหล็กกลม 9 มม. รูปที่ 2.10 แสดงการทำงานที่บริเวณหน้างานก่อสร้างจริง

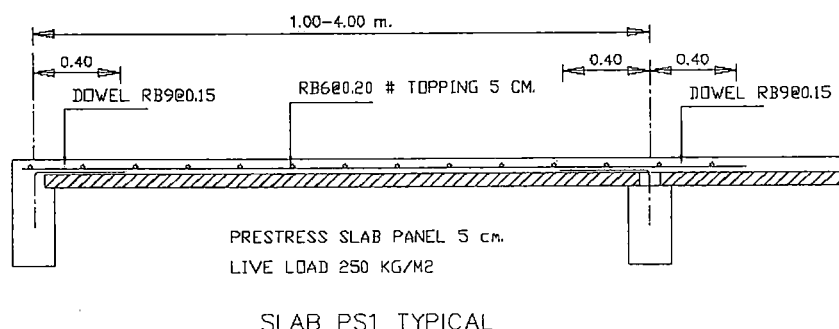
ดังได้กล่าวไปแล้วข้างต้น การก่อสร้างอาคารด้วยวิธีนี้ ได้รับความนิยมมากในปัจจุบัน สำหรับอาคารขนาดเล็กถึงขนาดปานกลาง แต่ยังขาดการประเมินความสามารถของอาคารเหล่านี้ เมื่อมีการสั่นไหว อาจจะเนื่องจากแผ่นพื้นสำเร็จรูปแรงแผ่นดินไหว หรือแรงลมขนาดรุนแรงเข่น ใต้ผุน หรือพายุ จึงทำให้อาคารเหล่านี้อาจไม่ปลอดภัย หรืออาจพังทลายได้เมื่อเหตุการณ์ดังกล่าวเกิดขึ้น



รูปที่ 2.7 แสดงรายละเอียดการเสริมเหล็กในเสา และ คาน คสล. ตามมาตรฐานข้อกำหนด ACI 318-99

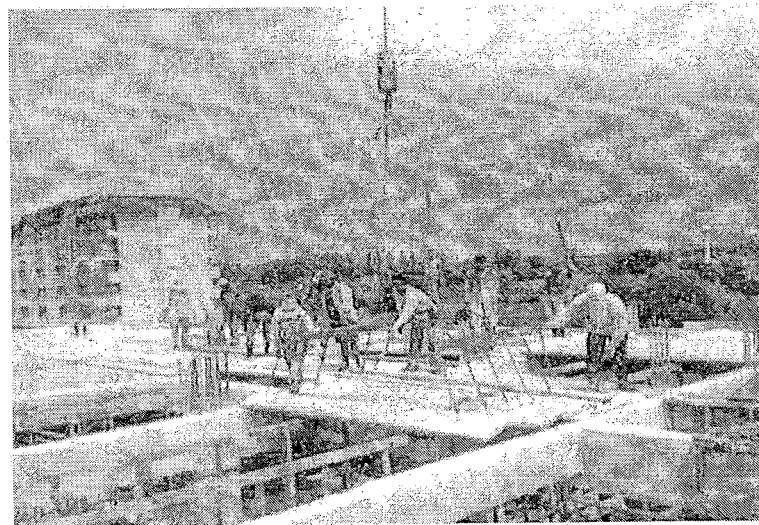


รูปที่ 2.8 รายละเอียดของการเสริมเหล็กทั่วไป ที่ก่อสร้างในประเทศไทย [7]



| ลักษณะแรง (PC. WIRE) | น้ำหนักบรรทุกปลดภัย (กก. / ตร.ม.) | | | | | | | | | | | | |
|----------------------|---|------|------|------|------|------|------|------|------|------|------|------|------|
| ช่วงความยาว (ม.) | 2.00 | 2.25 | 2.50 | 2.75 | 3.00 | 3.25 | 3.50 | 3.75 | 4.00 | 4.25 | 4.50 | 4.75 | 5.00 |
| จำนวน - ขนาด | แผ่นพื้นสำเร็จรูป หนา 5 ซม. หันหน้า 4 ซม. ความหนารวม 9 ซม. | | | | | | | | | | | | |
| 4 - Ø 4 มม. | 950 | 660 | 520 | 420 | 340 | 275 | 220 | | | | | | |
| 5 - Ø 4 มม. | 1260 | 875 | 620 | 500 | 410 | 353 | 270 | 230 | | | | | |
| 6 - Ø 4 มม. | 1550 | 1110 | 800 | 595 | 480 | 400 | 325 | 275 | 230 | | | | |
| 7 - Ø 4 มม. | 1550 | 1360 | 1000 | 725 | 560 | 460 | 380 | 325 | 270 | 225 | | | |
| 8 - Ø 4 มม. | 1550 | 1360 | 1200 | 895 | 650 | 525 | 435 | 370 | 310 | 265 | 225 | | |
| | แผ่นพื้นสำเร็จรูป หนา 5 ซม. หันหน้า 5 ซม. ความหนารวม 10 ซม. | | | | | | | | | | | | |
| 4 - Ø 4 มม. | 1060 | 800 | 670 | 520 | 430 | 360 | 315 | 260 | | | | | |
| 5 - Ø 4 มม. | 1440 | 970 | 770 | 620 | 515 | 430 | 360 | 310 | 260 | 225 | | | |
| 6 - Ø 4 มม. | 1550 | 1200 | 880 | 720 | 595 | 500 | 425 | 360 | 305 | 265 | 230 | | |
| 7 - Ø 4 มม. | 1550 | 1360 | 1130 | 820 | 675 | 575 | 485 | 415 | 355 | 305 | 265 | 230 | |

รูปที่ 2.9 รายละเอียดการก่อสร้างและขนาดแผ่นพื้นสำเร็จรูปที่ใช้ในประเทศไทย



รูปที่ 2.10 การใช้แผ่นพื้นสำเร็จท้องเรียบ (Plank Slab) ในงานก่อสร้างอาคารในประเทศไทย

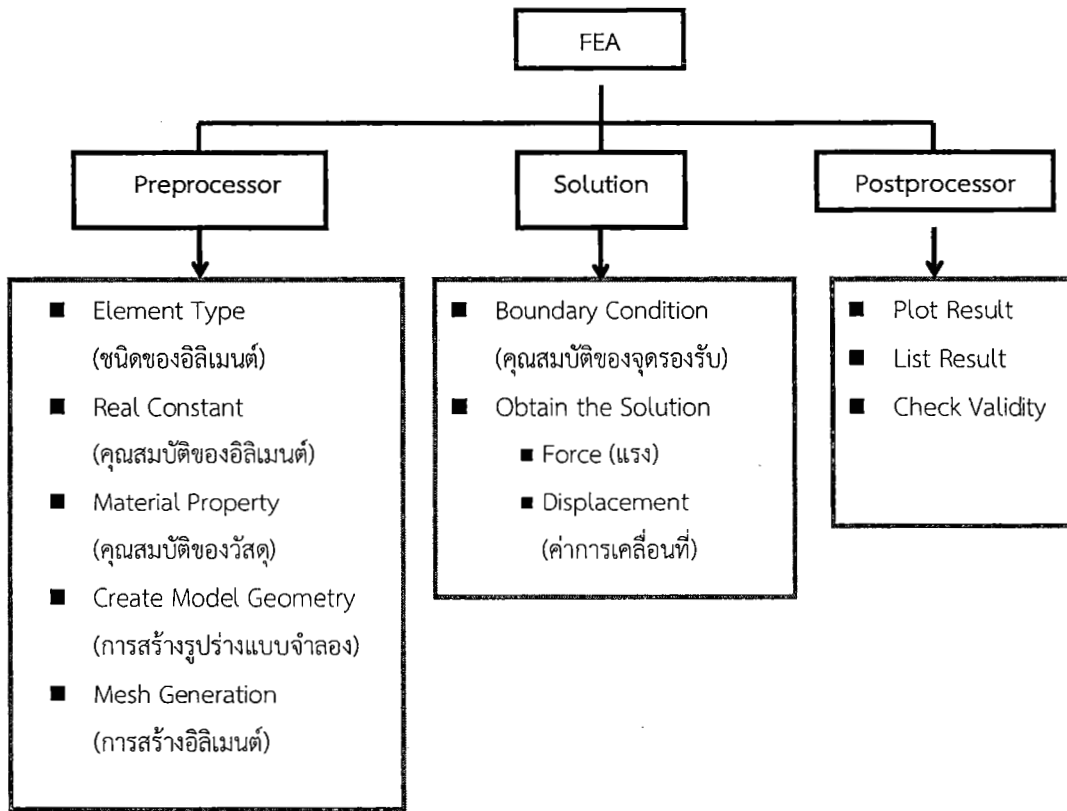
บทที่ 3

การพัฒนาแบบจำลองไฟในอิลิเมนต์เสากองกรีตและเสากองกรีตเสริมเหล็ก

3.1 บทนำ

การวิเคราะห์โครงสร้างด้วยวิธีไฟในอิลิเมนต์ (Finite Element Analysis) เป็นวิธีการวิเคราะห์เชิงตัวเลขที่ใช้สำหรับในการแก้ไขปัญหาด้านวิศวกรรมโครงสร้างที่ได้รับความนิยม มีประโยชน์ในการศึกษา พฤติกรรมโครงสร้างที่ประกอบไปด้วยวัสดุหลายชนิดที่แตกต่างกัน โดยไม่ต้องทำการทดสอบบ ตัวอย่างในห้องปฏิบัติการ อย่างไรก็ตาม การการประยุกต์ใช้วิธีไฟในอิลิเมนต์ต้องอาศัยองค์ความรู้เฉพาะ ทางซึ่งมีความซับซ้อน สำหรับการทำนายจัยนี้จะทำการศึกษาพุทธิกรรมโครงสร้างคน-เสากองกรีต เสริมเหล็กด้วยโปรแกรมไฟในอิลิเมนต์สำเร็จรูป ANSYS ในบทนี้จะนำเสนอขั้นตอนการวิเคราะห์ด้วยวิธี ไฟในอิลิเมนต์ การสร้างแบบจำลองไฟในอิลิเมนต์ ชนิดอิลิเมนต์ที่ใช้กับโครงสร้างกองกรีตเสริมเหล็ก

กระบวนการแก้ปัญหาด้วยวิธีไฟในอิลิเมนต์ประกอบด้วยขั้นตอนใหญ่ 3 ขั้นตอน คือ 1) กระบวนการขั้นต้น (Pre-processor) เป็นขั้นตอนการสร้างแบบจำลองไฟในอิลิเมนต์ให้มีรูปร่าง เมื่อกับรูปร่างโครงสร้าง และกำหนดเงื่อนไขจุดรองรับและขอบเขตต่างๆ จำเป็นต้องเหมือนหรือ ใกล้เคียงกับปัญหาจริงให้มากที่สุด จึงจะนำไปสู่การจำลองพุทธิกรรมโครงสร้างได้ใกล้เคียงกับความเป็น จริงมากที่สุด 2) กระบวนการวิเคราะห์ (Solution) ข้อมูลต่างๆ ของในขั้นตอนแรก จะถูกส่งเข้าสู่ กระบวนการวิเคราะห์ และ 3) กระบวนการอ่านผลการวิเคราะห์ ผลการวิเคราะห์ที่เกิดขึ้นจากขั้นตอนที่ 2) จะประกอบด้วยผลเป็นจำนวนมาก ผู้ใช้สามารถสั่งให้โปรแกรมแสดงผลต่างๆ เช่น แรง ความเดิน ความเครียด ระยะการเคลื่อนตัว และอื่นๆ บนหน้าจอคอมพิวเตอร์ได้โดยตรง แสดงสรุปได้ตามรูปที่ 3.1



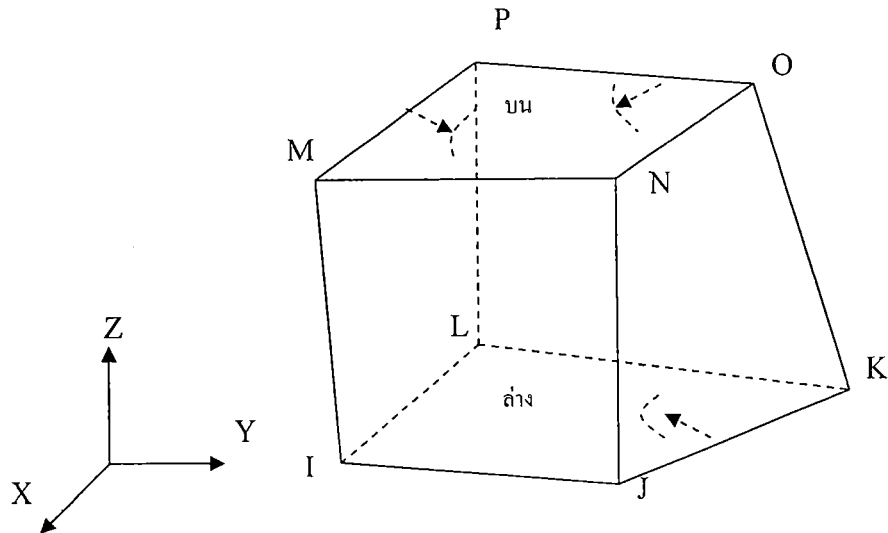
รูปที่ 3.1 แสดงแผนผังสรุปการวิเคราะห์ด้วยวิธีไฟไนอิลิเมนต์

3.2 ชนิดของชิ้นส่วนย่อylewสุด

3.2.1 คอนกรีต

ชนิดของชิ้นส่วนย่อylew (Element Type) ที่ใช้สำหรับคอนกรีตคือ ชิ้นส่วนย่อylewแบบกล่อง (SOLID65) แสดงไว้ในรูปที่ 3.2 แต่ละชิ้นส่วนย่อylew (Element) ของคอนกรีตจะถูกกำหนดขนาดด้วย ความกว้าง ยาว และสูง ด้วยคำสั่งที่ใช้ในการสร้างจุดต่อจุด (Node) ทั้งหมด 8 จุด ที่ระบุเป็นตัวเลขทั้ง สี่เหลี่ยม และอ้างอิงพิกัดของจุดต่อตามแกน X Y และ Z ตามลำดับ แต่ละจุดมีดีกรีความอิสระ (Degree of Freedom) เท่ากับ 3 ดีกรี คือ มีการเคลื่อนที่อิสระ (Translation) ในทิศทางตามแนวแกน X Y และ Z

สำนักหอสมุด มหาวิทยาลัยบูรพา
ต.แสนสุข อ.เมือง จ.ชลบุรี 20131



รูปที่ 3.2 ชิ้นส่วนย่อยแบบกล่อง (SOLID65) - 3 มิติ ที่ใช้สำหรับคอนกรีต

3.2.2 เหล็กเสริมและเหล็กปลอก

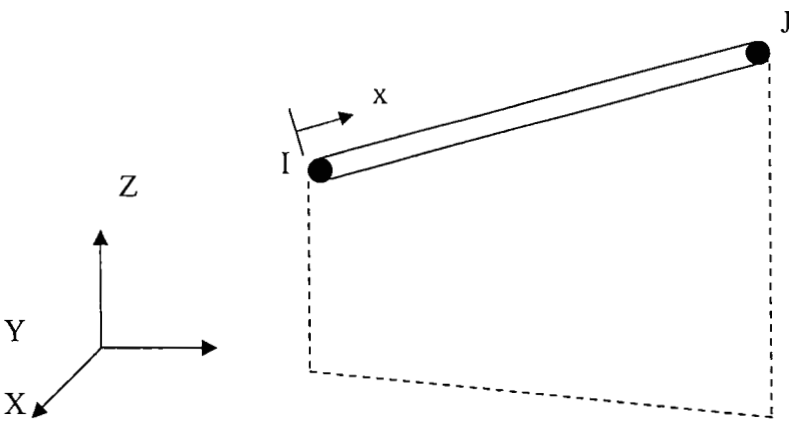
ชนิดของชิ้นส่วนย่อย (Element Type) ที่ใช้สำหรับเหล็กคือ ชิ้นส่วนย่อยแบบแท่ง (LINK8) แต่ละ ชิ้นส่วนย่อย (Element) ของเหล็กจะใช้ จุดเชื่อมจุด (Node) ว้าวอิงพิกัดของจุดต่อตามแกน X Y และ Z ในการสร้างชิ้นส่วนย่อยของเหล็กจะสร้างร่วมกับจุดที่สร้างชิ้นส่วนย่อย (Element) ของคอนกรีต เป็นการ ให้จุดร่วมกัน แต่ละจุดมีดีกรีความอิสระ (Degree of Freedom) เท่ากัน 3 ดีกรีคือ มีการเคลื่อนที่อิสระ (Translation) ในทิศทางตามแนวแกน X Y และ Z แสดงดังรูปที่ 3.3

624. 18341

© 623 ๗

๑.๓

335591

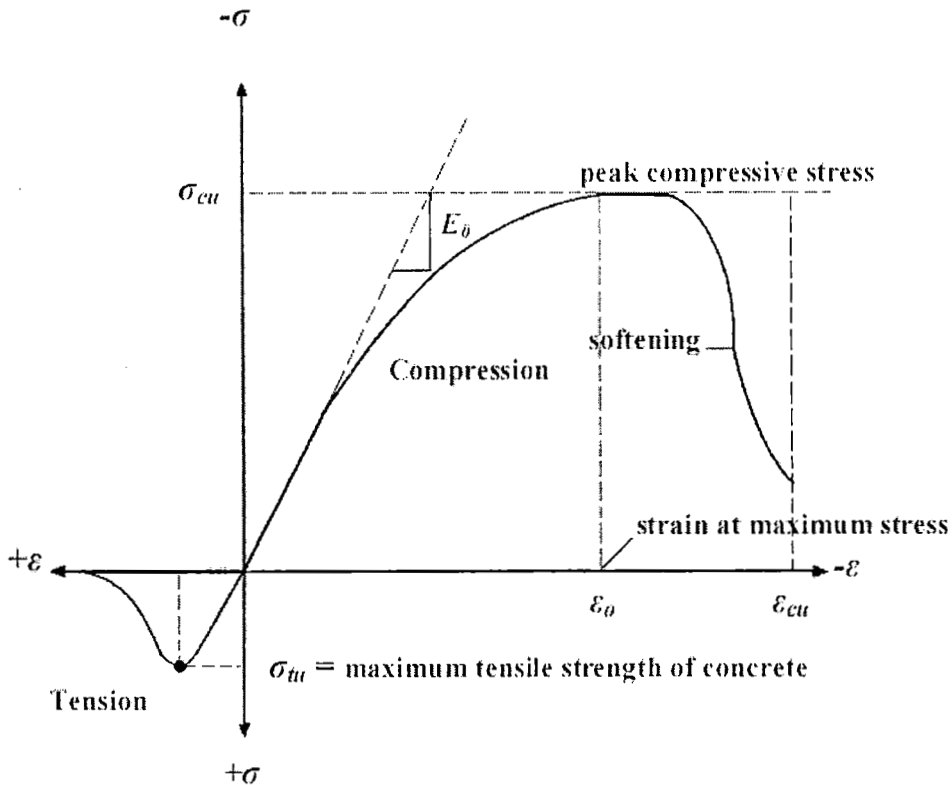


รูปที่ 3.3 ชิ้นส่วนย่อแบบแท่ง (LINK8) - 3 มิติ ที่ใช้สำหรับเหล็ก

3.3 คุณสมบัติของวัสดุ

3.3.1 คอนกรีต

ในการพัฒนาแบบจำลองไฟเบอร์กลาฟในอิลิเมนต์ คุณสมบัติของคอนกรีตในการรับแรงอัดเป็นเรื่องยุ่งยาก และขึ้นอยู่มาก นอกเหนือจากนี้คุณสมบัติของคอนกรีตยังเป็นตัวแปรที่มีความสำคัญและส่งผล กระทบต่อพฤติกรรมการรับแรงของแบบจำลองไฟเบอร์กลาฟ คอนกรีตเป็นวัสดุที่มีคุณสมบัติที่เก่งประรา และมีพฤติกรรมที่แตกต่างกัน เมื่อรับแรงอัดและรับแรงดึง ความต้านทานแรงดึงของคอนกรีตปกติจะมี ค่าประมาณ 8-15% ของกำลังแรงอัด (Shah, et al. 1995) ค่าหน่วยแรงอัด- ความเครียดอัด (Compressive Stress- Compressive Strain) เป็นปัจจัยสำคัญที่เป็นตัวบ่งบอกถึงความสามารถในการ รับแรงอัดของคอนกรีต ดังแสดงในรูปที่ 3.4 ซึ่งแสดงเส้นโค้งความเด่นและความเครียดทั่วไปสำหรับ คอนกรีตน้ำหนักปกติ (Bangash 1989)



รูปที่ 3.4 กราฟแสดงเส้นโค้งความดันและความเครียดทั่วไปสำหรับคอนกรีตที่น้ำหนักปกติ (Bangash 1989)

เมื่อ

E_0 = ค่าโมดูลัสยืดหยุ่นของคอนกรีต

σ_{cu} = กำลังรับแรงอัดสูงสุดของคอนกรีต

σ_{uu} = กำลังรับดึงสูงสุดของคอนกรีต

σ = หน่วยแรงอัดของคอนกรีต

ϵ_0 = ความเครียดอัด ณ จุดสูงสุดของกำลังรับแรงอัดของคอนกรีต

ϵ = ความเครียดอัดของคอนกรีต

ϵ_{cu} = ความเครียดอัดสูงสุดของคอนกรีต

ในช่วงการรับแรงอัดของคอนกรีต กราฟเส้นโค้งความดันและความเครียดของคอนกรีตจะมีความยืดหยุ่นเชิงเส้นตรงถึงประมาณร้อยละ 30 ของกำลังรับแรงอัดสูงสุด จากนั้นค่าความดันและความเครียดของคอนกรีตจะเพิ่มมากขึ้นแบบไม่เป็นเชิงเส้นตรง จนถึงกำลังรับแรงอัดสูงสุดของคอนกรีต (σ_{cu}) เส้นโค้งความดันของคอนกรีตจะมีค่าลดลง ซึ่งแสดงกำลังรับอัดของคอนกรีตจะลดลงอย่างรวดเร็ว

ในขณะที่ความเครียดของคอนกรีตจะค่อยๆ เพิ่มขึ้น ส่วนความเด่นและความเครียดของคอนกรีตเมื่อรับแรงดึง กระฟ์เส้นโดยความเด่นและความเครียดของคอนกรีตจะมีความยืดหยุ่นเชิงเส้นตรงถึงความต้านทานแรงดึงสูงสุด หลังจากนี้ คอนกรีตจะเกิดการแตกร้าวและเกิดการพังในที่สุด จนกำลังรับแรงอัดค่อยๆลดลงเป็นศูนย์ (Bangash 1989)

3.3.1.1 การใส่ค่าคุณสมบัติของคอนกรีต

ค่าคุณสมบัติของคอนกรีตที่จำเป็นสำหรับการวิเคราะห์แบบจำลองไฟไนอิลิเมนต์เสา มีดังต่อไปนี้

1) หน่วยรับแรงอัดสูงสุดของคอนกรีต (Uniaxial compressive Strength, f'_c) เป็นตัวบ่งชี้

ความสามารถการรับแรงอัดของคอนกรีต

2) ค่าโมดูลัสยืดหยุ่นของคอนกรีต (Elastic Modulus, E_c) เป็นค่าความชันของเส้นกราฟ

ความสัมพันธ์ระหว่างค่าความเด่นกับค่าความเครียดในช่วงยืดหยุ่น

3) ค่ากำลังต้านทานแรงดึงของคอนกรีต (Uniaxial tensile cracking stress, f_r) คอนกรีตมีกำลังต้านทานแรงดึงต่ำมาก เฉลี่ยประมาณ 10% ของกำลังต้านทานแรงอัดของคอนกรีตเท่านั้น ซึ่งสามารถคำนวณได้จากสมการ ACI-318 ดังนี้

$$f_r = 1.8\sqrt{f'_c}$$

กก./ตร.ซม.

กำหนดให้

f_r = ค่ากำลังต้านทานแรงดึงของคอนกรีต

f'_c = หน่วยรับแรงอัดสูงสุดคอนกรีต

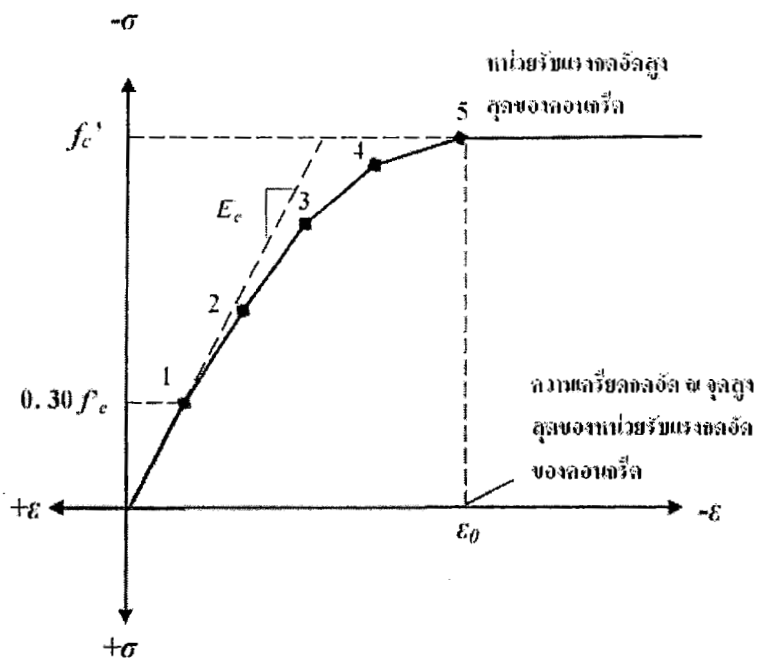
4) ค่าอัตราส่วนปัวของส์ของคอนกรีต (Poisson's ratio, ν) เป็นค่าแสดงสัดส่วนระหว่าง

ความเครียดในแนวราบของแท่งคอนกรีตรูปทรงกระบอกต่อด้วยความเครียดในแนวแกนของแท่งคอนกรีต รูปทรงกระบอกรับแรงอัด จากการทดสอบ คอนกรีตธรรมดามีค่าอัตราส่วนปัวของส์ของคอนกรีตอยู่ระหว่าง 0.15-0.25 ในกรณีศึกษานี้ กำหนดค่าอัตราส่วนปัวของส์ของคอนกรีตที่ 0.2 ในการใส่ค่าคุณสมบัติคอนกรีตของแบบจำลองไฟไนอิลิเมนต์

5) ค่าสัมประสิทธิ์กำลังรับแรงเฉือนของคอนกรีต (Shear transfer coefficient, B_s) ในการใส่ค่าคุณสมบัติสัมประสิทธิ์การพังด้วยแรงเฉือนของคอนกรีตจะแบ่งการใส่ค่าเป็น 2 แบบ คือ การใส่ค่าแรงเฉือนเพื่อให้เกิดการพังของคอนกรีตให้พังแบบราบรื่น (Shear transfer coefficients for an open crack (smooth crack)) และ การใส่ค่าแรงเฉือนเพื่อให้เกิดการพังของคอนกรีตให้พังแบบรุนแรง (Shear transfer coefficients for a closed crack (rough crack)) ซึ่งเป็นค่าแสดงลักษณะการพังของ

คอนกรีตด้วยแรงเฉือนโดยในโปรแกรม ANSYS กำหนดค่าตั้งแต่ 0.0 ถึง 1.0 ซึ่งมีความหมาย ดังนี้ เมื่อใส่ค่าเข้าใกล้ 0.0 จะเป็นการพังแบบราบเรียบ (smooth crack) กล่าวคือเป็นการพังของคอนกรีตที่สมบูรณ์ ที่มีการถ่ายแรงเฉือนแบบสมบูรณ์ ส่วนใส่ค่าเข้าใกล้ 1.0 เป็นการพังแบบระเบิดรุนแรง (rough crack) กล่าวคือเป็นการพังของคอนกรีตที่ไม่มีการถ่ายแรงเฉือนภายในคอนกรีต

6) ค่าความสัมพันธ์ระหว่างหน่วยแรงอัดกับความเครียดอัด ของคอนกรีต (Compressive Stress-Compressive Strain) เส้นกราฟแสดงความสัมพันธ์ระหว่างหน่วยแรงอัด-ความเครียดอัดของคอนกรีต ในการใส่ค่าลงไปในคุณสมบัติคอนกรีตของแบบจำลองเส้า สร้างจาก 6 จุดเชื่อมต่อกัน โดยใช้สมการ ความสัมพันธ์ค่าความเด่นและค่าความเครียดของคอนกรีตตามการศึกษาของ Desayi และ Krishnan (1964). แสดงไว้ในสมการที่ 3.1-3.3 ค่าแรกจะเริ่มที่ศูนย์ของหน่วยแรงอัด-ความเครียดอัดของคอนกรีต แล้วมายังจุดที่ 1 ที่คำนวณจาก $0.3f'_c$ ซึ่งเป็นความสัมพันธ์ของหน่วยแรงอัด-ความเครียดอัดของ คอนกรีตในช่วงเชิงเส้น และจุดที่ 2 3 4 และจุดที่ 5 เป็นจุดสูงสุดของหน่วยแรงอัดของคอนกรีตพอผ่านจุดที่ 5 ไปคอนกรีตจะเกิดการวินาศัยของคอนกรีต แสดงไว้ในรูปที่ 3.5



รูปที่ 3.5 รูปแสดงลักษณะเส้นโค้งความสัมพันธ์ระหว่างหน่วยแรงอัด-ความเครียดอัดของคอนกรีต Desayi และ Krishnan (1964)

$$\sigma_c = \frac{E_c \varepsilon_c}{1 + \left(\frac{\varepsilon_c}{\varepsilon_0} \right)^2} \quad 3.1$$

$$\varepsilon_0 = \frac{2f'_c}{E_c} \quad 3.2$$

$$E_c = \frac{\sigma_c}{\varepsilon_c} \quad 3.3$$

กำหนดให้

f'_c = กำลังรับแรงอัดสูงสุดของคอนกรีต

E_c = ค่าโมดูลัสยืดหยุ่นของคอนกรีต

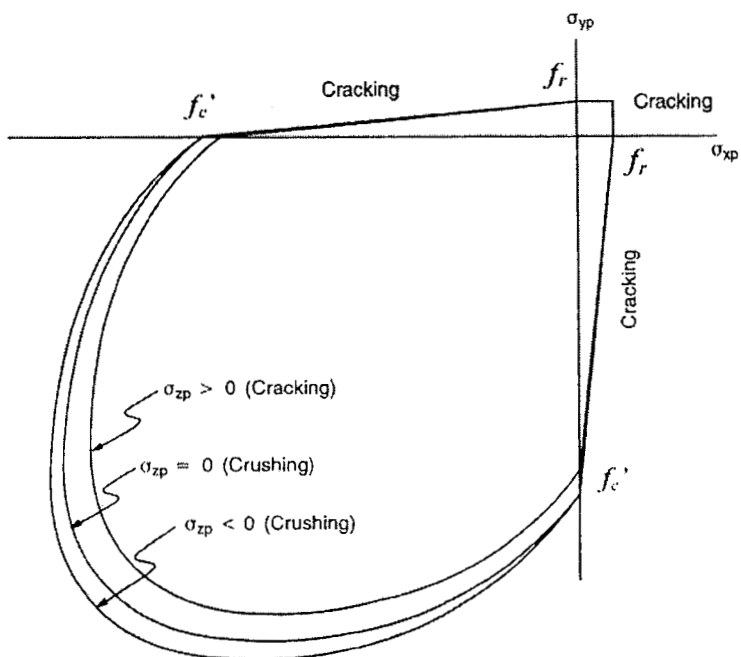
ε_0 = ความเครียดอัด ณ จุดสูงสุดของกำลังรับแรงอัดของคอนกรีต

σ_c = หน่วยแรงอัดของคอนกรีต

ε_c = ความเครียดอัดของคอนกรีต

7) เกณฑ์การพังของคอนกรีต

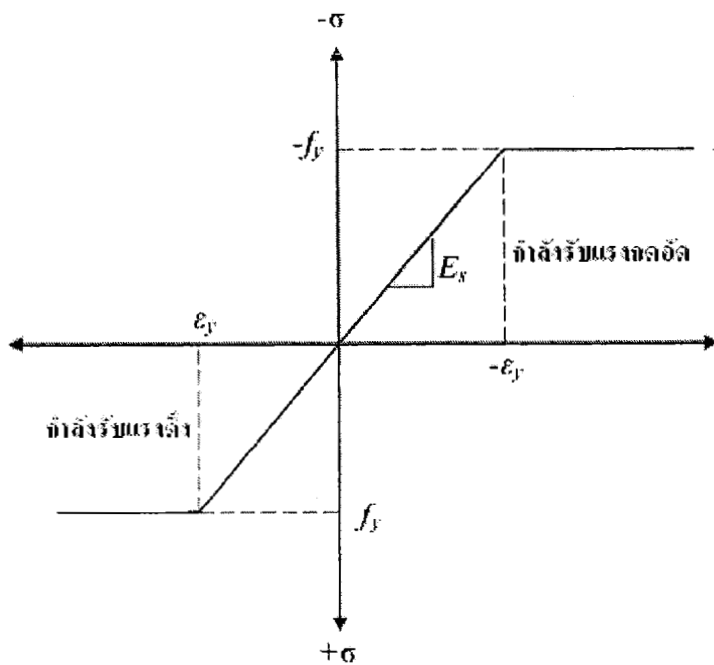
ขั้นส่วนย่อยแบบกล่อง (SOLID 65) เมื่อนำมาสร้างแบบจำลองของวัสดุคอนกรีตนั้นต้องทำการกำหนดลักษณะการพังของคอนกรีตด้วย ซึ่งลักษณะการพังของคอนกรีตมี 2 แบบ คือ ฉีกขาด (cracking) หรือแตกหัก (crushing) ด้วยแรงอัดเมื่อคอนกรีตได้รับในแนวแกน เกณฑ์การพังของคอนกรีตเนื่องจากหน่วยแรงอัดของคอนกรีต สามารถคำนวณได้ (William และ Warnke 1975) ลักษณะการพังของคอนกรีตที่เป็นแบบสามมิติที่แสดงดังรูป 3.6 มีความสำคัญในการกระจายตัวของหน่วยแรงอัดในทิศทางแนวแกน x และ y โดยอิบायแนวแกนด้วยสัญลักษณ์ σ_{xp} และ σ_{yp} ตามลำดับในเนื้อวัสดุที่เป็นคอนกรีต การแตกร้าวจะเกิดขึ้นเมื่อมีการกระจายตัวของหน่วยแรงดึง ในทิศทางเดียวกันกับการพังที่เกิดขึ้นที่ผิวน้ำของคอนกรีต หลังจากที่เกิดการแตกร้าวของเนื้อวัสดุที่เป็นคอนกรีตแล้ว ความยืดหยุ่นของเนื้อวัสดุที่เป็นคอนกรีต จะกำหนดเป็นศูนย์ในทิศทางนานกับทิศทางของหน่วยแรงดึง การเกิดการแตกร้าวจะเกิดขึ้นเมื่อหน่วยแรงอัดกระจายตัวและจะเกิดการพังที่ผิวด้านนอกของคอนกรีต ในการศึกษาครั้นี้ การใส่ค่าควบคุมการพังของคอนกรีตสำหรับขั้นส่วนย่อย (Element) ของคอนกรีต (Concrete controlled the failure of the concrete element) โดยเปิดค่า การพังแบบฉีกขาด (Cracking) และปิดค่าการพังแบบแตกหัก (Crushing)



รูปที่ 3.6 รูปแสดงลักษณะการพังของคอนกรีตที่เป็นแบบสามมิติ (William และ Warnke 1975)

3.3.2 เหล็กเสริม

เหล็กเสริมที่ใช้ในการสร้างแบบจำลองไฟในอิเลิเมนต์คอนกรีตเสริมเหล็กเพื่อใช้ในการวิเคราะห์ขึ้นอยู่กับการเลือกใช้ชนิดของเหล็กเสริม การใส่ค่าความสัมพันธ์ระหว่างความเค้นและความเครียดของเหล็กเสริมเป็นแบบอิเล็กทรอนิก-พลาสติกโดยสมบูรณ์ (โดยลงทะเบียนพฤติกรรมการแข็งตัวเพิ่ม) ดังรูปที่ 3.7



รูปที่ 3.7 กราฟแสดงความสัมพันธ์ระหว่างความเค้น กับ ความเครียด ของเหล็กเสริม

กำหนดให้

σ = ความเค้นของเหล็กเสริม

ε = ความเครียดของเหล็กเสริม

E_s = โมดูลัสยืดหยุ่นของเหล็กเสริม

f_y = ความเค้นที่จุดครากของเหล็กเสริม

ε_y = ความเครียดที่จุดครากของเหล็กเสริม

3.3.2.1 การใส่ค่าคณสมบัติของเหล็กเสริม ในการวิเคราะห์ไฟไนอิเมนต์ ประกอบด้วย

- ค่าโมดูลัสยืดหยุ่นของเหล็ก (Elastic Modulus, E_s)
- ค่าอัตราส่วนปีวของส์ (Poisson's ratio, ν) ของเหล็กเสริม
- ขนาดพื้นที่หน้าตัดของเหล็ก (A_s)
- กำลังรับแรงดึงที่จุดคราก (Yield Strength)
- กำลังรับแรงดึงที่จุดสูงสุด (Ultimate Tensile Strength)
- ค่าความเค้น-ความเครียดดึง (Stress-Strain Curve) ของเหล็กเสริม

บทที่ 4

ผลการวิเคราะห์แบบจำลองไฟในอิลิเมนต์คอนกรีต

4.1 บทนำ

ในบทนี้จะนำเสนอผลการวิเคราะห์แบบจำลองไฟในอิลิเมนต์ของคอนกรีตทรงกระบอกแบบจำลองไฟในอิลิเมนต์ของเสาคอนกรีตเสริมเหล็ก และแบบจำลองไฟในอิลิเมนต์ของคาน-เสาคอนกรีตเสริมเหล็ก โดยเปรียบเทียบผลการวิเคราะห์แบบจำลองกับผลการทดสอบในห้องปฏิบัติการ ทั้งนี้แบบจำลองไฟในอิลิเมนต์ที่พัฒนาขึ้นตามลักษณะและข้อกำหนดที่นำเสนอในบทที่ 3 จุดประสงค์ของการเปรียบเทียบค่าที่ได้จากผลการวิเคราะห์กับค่าที่ได้จากการทดสอบชิ้นงานทดสอบจริง เพื่อนำสู่ปัจจุบัน ความเที่ยงตรงของแบบจำลองไฟในอิลิเมนต์ที่พัฒนาขึ้น นอกจากนี้ ยังสามารถอธิบายพฤติกรรมต่างๆ ของแบบจำลองข้อต่อ เช่น ลักษณะการกระจายตัวของความเค้น ลักษณะการกระจายแรงกระทำจากคาน สู่เสา สิ่งเหล่านี้สามารถนำมาพิจารณาประกอบการประเมินศักยภาพการรับแรงของข้อต่อ และลักษณะการพังของข้อต่อได้ เมื่อได้แบบจำลองไฟในอิลิเมนต์ที่มีความถูกต้องแม่นยำแล้ว ก็สามารถที่จะประยุกต์ใช้แบบจำลองนี้กับข้อต่อคาน-เสา-พื้นสำเร็จรูปคอนกรีตเสริมเหล็กที่มีรายละเอียดการก่อสร้างในประเทศไทยได้ต่อไป

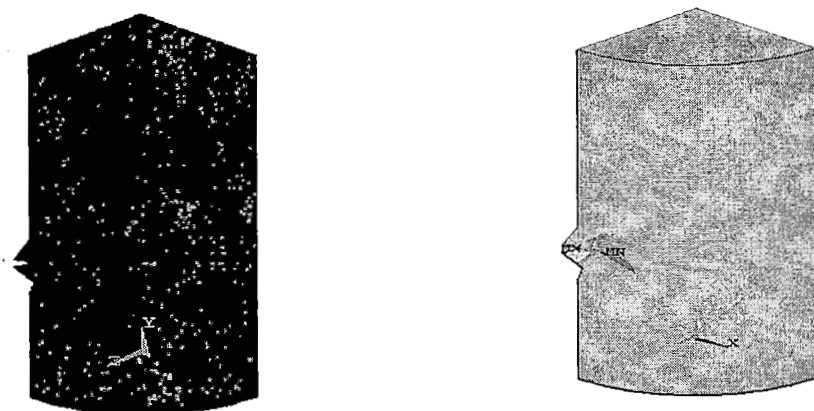
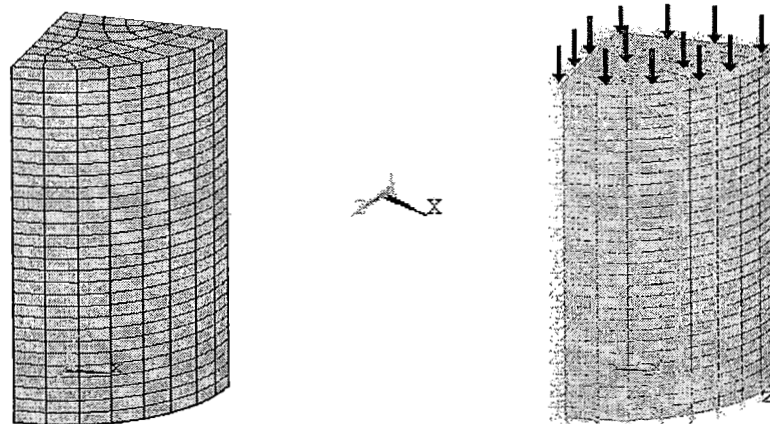
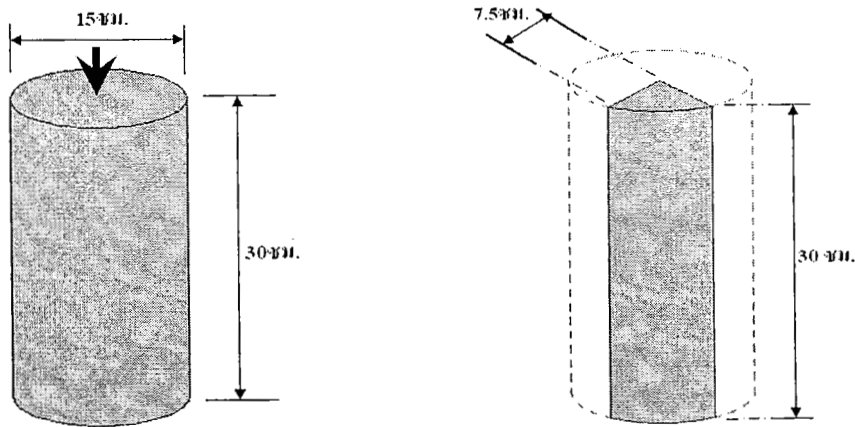
4.2 การวิเคราะห์ความถูกต้องของแบบจำลองไฟในอิลิเมนต์คอนกรีตทรงกระบอก

ส่วนหนึ่งของการตรวจสอบความถูกต้องของของแบบจำลองไฟในอิลิเมนต์ ข้อมูลการทดสอบคอนกรีตทรงกระบอกในห้องปฏิบัติการถูกนำมาเปรียบเทียบกับค่าที่ได้จากการวิเคราะห์แบบจำลอง โดยทำการสร้างแบบจำลองคอนกรีตทรงกระบอกขนาดเส้นผ่านศูนย์กลาง 15 เซนติเมตร สูง 30 เซนติเมตร เนื่องจากคุณสมบัติสมมาตรของหน้าตัดและการใส่แรงกระทำ จึงทำการสร้างแบบจำลองเพียง 1 ใน 4 ส่วน แสดงดังรูปที่ 4.1 ข้อมูลการทดสอบตัวอย่างคอนกรีตในห้องปฏิบัติการมี 2 ตัวอย่าง ข้อมูลวัสดุคอนกรีตที่ใส่ในแบบจำลองไฟในอิลิเมนต์มี 2 ชุดต่อหนึ่งตัวอย่าง ข้อมูลชุดที่ 1 ค่าโมดูลัสยึดหยุ่นคำนวณได้จากการ ACI 318 และค่าความสัมพันธ์ระหว่างความเค้นและความเครียดอัตโนมาร์ต คำนวณจากสมการของ Desayi & Krishnan [21] ข้อมูลชุดที่ 2 ค่าโมดูลัสยึดหยุ่นและค่าความสัมพันธ์ระหว่างความเค้นและความเครียดอัตโนมาร์ตเป็นค่าที่ได้จากการทดสอบตัวอย่างคอนกรีตในห้องปฏิบัติการ ส่วนค่า f_c' , f_r , v , β , มีค่าเท่ากันทั้ง 2 แบบจำลอง แสดงไว้ในตารางที่ 4.1

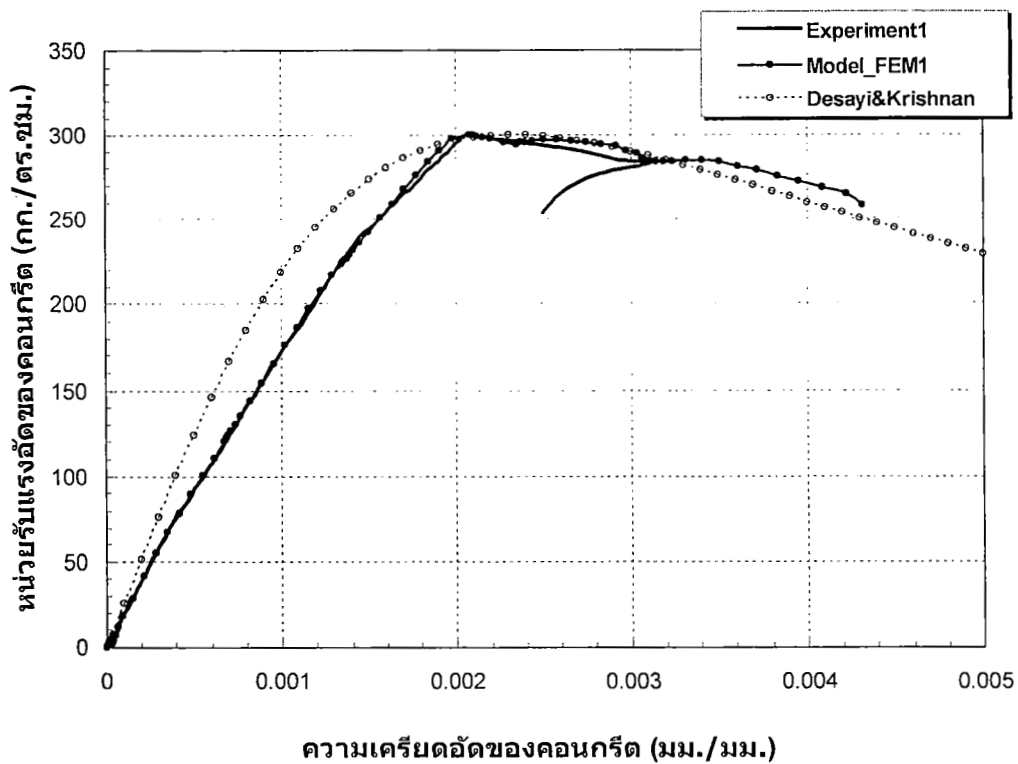
ตารางที่ 4.1 ค่าคุณสมบัติคอนกรีตที่ใช้กับแบบจำลองไฟในอิลิเมนต์คอนกรีตทรงกระบอก

| ความเด่น&ความเครียด คอนกรีต | f_c' ksc. | E_c ksc. | f_r ksc. | ν | β_i | |
|--------------------------------|----------------|---------------|---------------|-------|-----------|--------|
| | | | | | ราบรื่น | รุนแรง |
| Desayi&Krishnan | 300 | 259,237.1 | 34 | 0.2 | 0.3 | 0.9 |
| Exp.1 | 300 | 195,617.6 | 34 | 0.2 | 0.3 | 0.9 |
| Exp.2 | 300 | 137,303.5 | 34 | 0.2 | 0.3 | 0.9 |

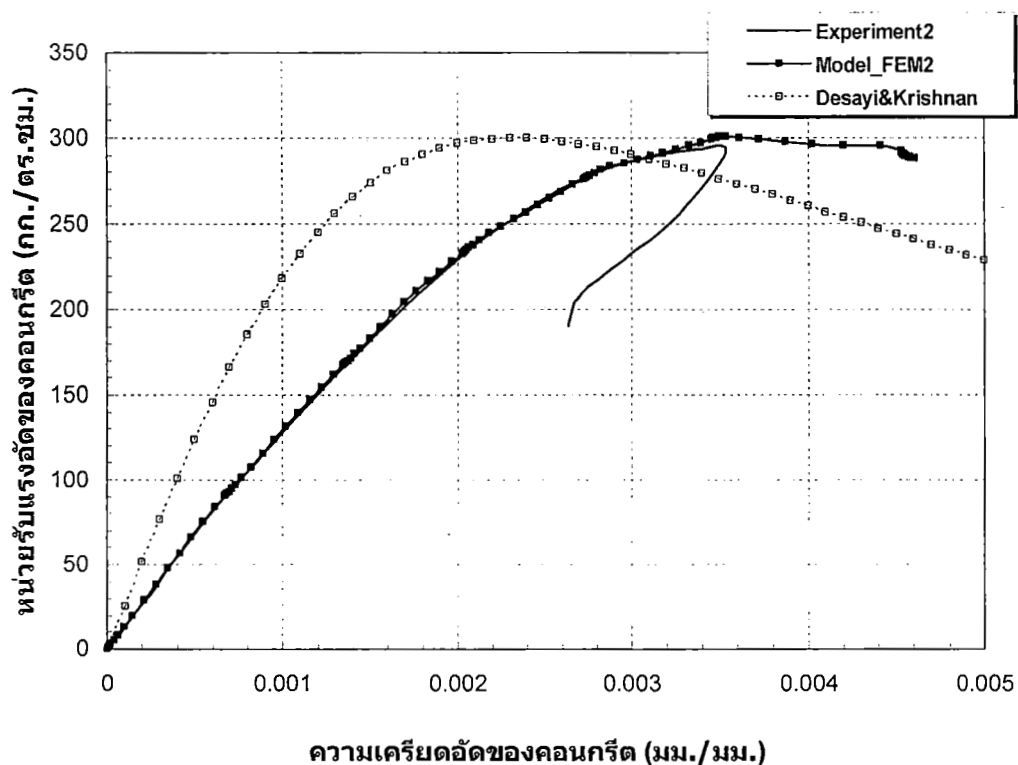
จากรูปที่ 4.2 และ 4.3 พบว่าผลการวิเคราะห์แบบจำลองไฟในอิลิเมนต์ที่ได้ใส่ข้อมูลจากสมการของ Desayi & Krishnan [21] ท านายค่าความเด่นอัดสูงสุดได้ใกล้เคียงกับผลการทดลองมาก แต่ให้ค่าความเครียดอัดแตกต่างจากผลการทดสอบพอสมควร ทั้งนี้เป็นเพราะค่าโมดูลัสยืดหยุ่นและค่าความสัมพันธ์ระหว่างความเด่นและความเครียดอัดของคอนกรีตที่คำนวณจากสมการให้ค่าแตกต่างจากผลการทดสอบ เมื่อทำการเปลี่ยนค่าทั้งสองนี้โดยใช้ค่าจากผลการทดสอบตัวอย่างคอนกรีตพบว่า แบบจำลองทำนายค่าทั้งความเด่นอัดและความเครียดอัดได้ดีมากโดยเฉพาะในช่วงพิกัดยืดหยุ่น จากนั้น เมื่อกินจุดนี้ไปแล้วค่าความเด่นอัดของตัวอย่างจะตกลงอย่างรวดเร็วทั้งนี้ เพราะคอนกรีตแตกร้าว ส่วนแบบจำลองยังคงรับค่าความเด่นอัดได้ เนื่องจากค่าความสัมพันธ์ระหว่างความเด่นและความเครียดอัดของคอนกรีตในช่วงกินพิกัดยืดหยุ่นของแบบจำลองถูกสมมุติให้มีค่าความเด่นโอบรัด (Confined Stress) เหลืออยู่บ้างส่วน ดังนั้นจึงสรุปว่าแบบจำลองไฟในอิลิเมนต์คอนกรีตทรงกระบอกขนาดเส้นผ่านศูนย์กลาง 15 เซนติเมตร สูง 30 เซนติเมตรมีความถูกต้องแม่นยำสูงสามารถนำไปพัฒนาใช้กับเสาคอนกรีตเสริมเหล็กได้ต่อไป



รูปที่ 4.1 แบบจำลองไฟในอิลิเมนต์คอนกรีตทรงกระบอก (Exp.1 และ Exp.2)



รูปที่ 4.2 ความเค้นและความเครียดอัดของคอนกรีตตัวอย่างที่ 1 (Exp.1)



รูปที่ 4.3 ความเค้นและความเครียดอัดของคอนกรีตตัวอย่างที่ 2 (Exp.2)

4.3 การวิเคราะห์ความถูกต้องของแบบจำลองไฟในอิลิเมนต์เสาค่อนกรีตเสริมเหล็กหน้าตัดสีเหลี่ยมจัตุรัส

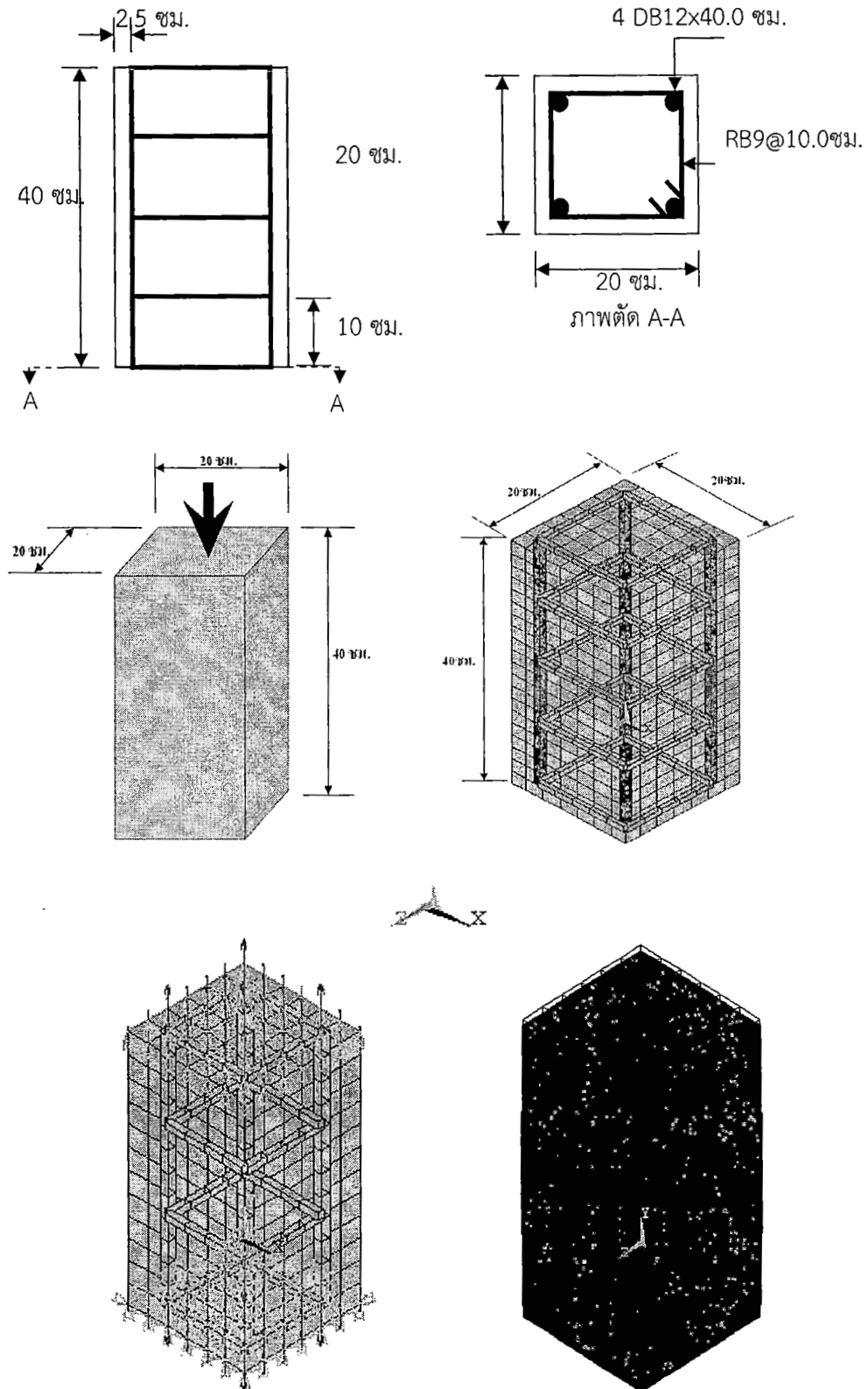
แบบจำลองไฟในอิลิเมนต์เสาค่อนกรีตเสริมเหล็กถูกพัฒนาขึ้นจากแบบจำลองค่อนกรีตที่มีความแม่นยำจากขั้นตอนที่แล้ว และเพื่อตรวจสอบความถูกต้องของแบบจำลองไฟในอิลิเมนต์เสาค่อนกรีตเสริมเหล็ก ข้อมูลการทดสอบเสาค่อนกรีตเสริมเหล็กในห้องปฏิบัติการ [26] ถูกนำมาเปรียบเทียบกับผลการวิเคราะห์แบบจำลอง รูปที่ 4.4 แสดงขนาดหน้าตัด รายละเอียดเหล็กเสริม การใส่แรงอัด ภาพแบบจำลอง และลักษณะการเสียรูปของแบบจำลอง ส่วนตารางที่ 4.2 และ 4.3 แสดงคุณสมบัติค่อนกรีตและเหล็กเสริมที่ใช้กับแบบจำลองชุดนี้

ตารางที่ 4.2 คุณสมบัติค่อนกรีตที่ใช้กับแบบจำลองไฟในอิลิเมนต์เสา (RC1, RC2)

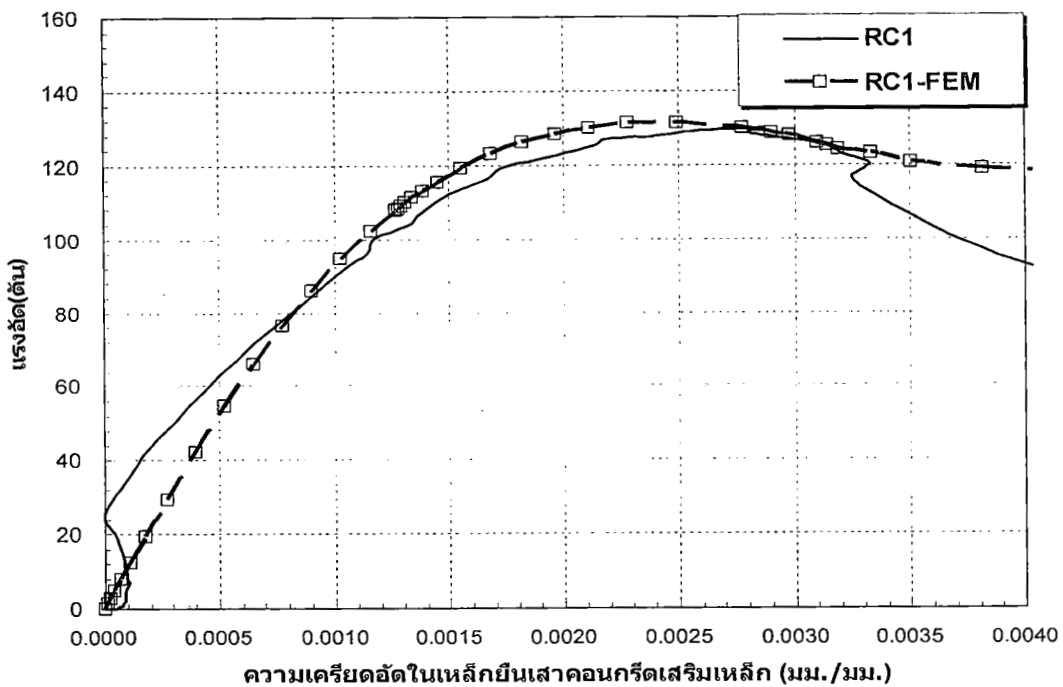
| เสา | สมการค่อนกรีต | f_r ksc. | E_c ksc. | f_r ksc. | v | β_i | |
|-----|-------------------|---------------|---------------|---------------|-----|-----------|--------|
| | | | | | | ราบเรียบ | รุนแรง |
| RC1 | Desayi & Krishnan | 300 | 259,237.1 | 34 | 0.2 | 0.3 | 0.9 |
| RC2 | ทดสอบ | 300 | 137,303.5 | 34 | 0.2 | 0.3 | 0.9 |

ตารางที่ 4.3 คุณสมบัติเหล็กที่ใช้กับแบบจำลองไฟในอิลิเมนต์เสา (RC1, RC2)

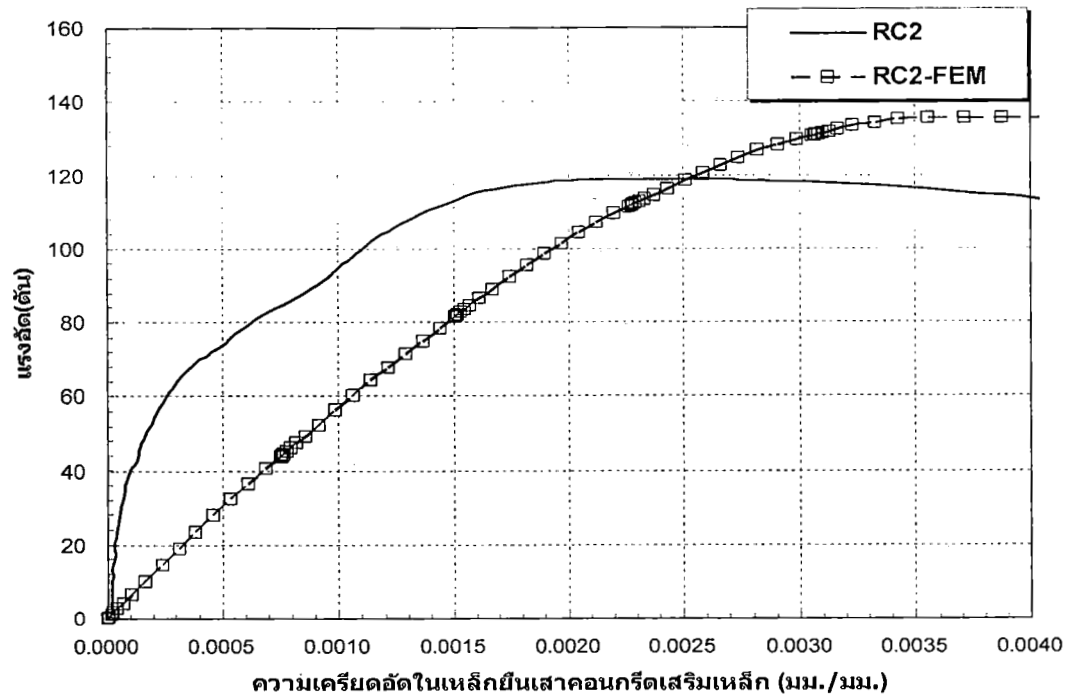
| เสา | สมการความเดัน-เครียด ของเหล็กเสริม | f_y (เหล็กยืน) ksc. | f_y (เหล็กปลอก) ksc. |
|-----|---------------------------------------|--------------------------|---------------------------|
| RC1 | ทดสอบ | 3,000 | 2,400 |
| RC2 | ทดสอบ | 3,000 | 2,400 |



รูปที่ 4.4 แบบจำลองไฟในอลิเมนต์เสากونกรีตเสริมเหล็ก (RC1 และ RC2)



รูปที่ 4.5 แสดงค่าความเครียดที่เกิดขึ้นของเหล็กยืนในเสา RC1



รูปที่ 4.6 แสดงค่าความเครียดที่เกิดขึ้นของเหล็กยืนในเสา RC2

การเปรียบเทียบผลที่ได้จากการวิเคราะห์แบบจำลอง และผลจากการทดสอบสรุปไว้ในตารางที่ 4.4 เมื่อพิจารณาค่าแรงอัดสูงสุดที่ได้จากการวิเคราะห์แบบจำลองทั้งสองตัวอย่างพบว่าให้ผลค่อนข้างดีมีค่าคาดเคลื่อนจากผลการทดสอบเท่ากับ 2.09% และ 11.15% สำหรับเสา RC1 และ RC2 ตามลำดับ อย่างไรก็ตามเมื่อพิจารณาค่าการค่าการยุบตัว ณ ตำแหน่งแรงอัดสูงสุดพบว่าผลจากการวิเคราะห์แบบจำลองให้ค่าน้อยกว่าผลการทดสอบทั้งสองตัวอย่าง ถึงแม้ว่าแบบจำลองคอนกรีตของตัวอย่าง RC2 จะใช้ข้อมูลผลการทดสอบคอนกรีตสำหรับตัวอย่างเสาคอนกรีตเสริมเหล็กนี้จากห้องปฏิบัติการกีตาม ทั้งนี้อาจมีสาเหตุมาจากการปัจจัยเช่น ค่าความสัมพันธ์ระหว่างความเค้นและความเครียดอัดของคอนกรีต และค่าโมดูลัสยืดหยุ่นของคอนกรีตในห้องปฏิบัติไม่ถูกต้อง หรืออาจเกิดจากข้อตอนในการทดสอบเสาคอนกรีตเสริมเหล็ก พบร่วยว่าขณะไส้แรงอัดเริ่มต้นจะสังเกตเห็นการยุบตัวของปูนขาวที่ใช้ในการปรับระดับค่อนข้างมาก ก่อนเสาเริ่มรับแรงอัด อาจส่งผลต่อการบันทึกค่าการยุบตัวของเสาทดสอบ เพื่อเป็นการยืนยันผลการวิเคราะห์แบบจำลอง ผลการวิเคราะห์ค่าความเครียดที่เกิดขึ้นในเหล็กยืนในเสา RC1 และ RC2 ถูกนำมาเสนอเพิ่มเติมแสดงดังรูปที่ 4.5 และ 4.6 ตามลำดับ จากรูปพบว่าค่าความเครียดของเหล็กยืนมีลักษณะใกล้เคียงกัน ค่าความเครียด ณ ตำแหน่งแรงอัดสูงสุดมีค่าเท่ากับ 0.0028 และ 0.0021 ดังแสดงในตารางที่ 4.4 ส่วนค่าที่ได้จากการทดสอบวิเคราะห์แบบจำลองแสดงแนวโน้มเหมือนกับผลการทดสอบแต่ยังแสดงค่าที่ผันผวนพอสมควร สำหรับการวิเคราะห์แบบจำลองเสาคอนกรีตเสริมเหล็ก สามารถสรุปได้ว่าข้อมูลค่าความสัมพันธ์ระหว่างค่าความเค้นและความเครียดอัดของคอนกรีตมีความสำคัญต่อการทำนายค่าการยุบตัวของเสาเป็นอย่างยิ่ง การใช้สมการของ Desayi & Krishnan [21] ในการหาค่าความสัมพันธ์ระหว่างค่าความเค้นและความเครียดอัดของคอนกรีตนั้นให้ผลการทำนายค่าแรงอัดสูงสุดได้ดีมาก แต่อาจจะไม่สามารถทำนายค่าการยุบตัวได้เท่าที่ควร

ตารางที่ 4.4 เปรียบเทียบผลการวิเคราะห์แบบจำลองและผลทดสอบเสา RC1, RC2

| เสา | แรงอัดสูงสุด (ตัน) | | Diff. (%) | ค่าการยุบตัว ณ แรงอัดสูงสุด (มม.) | | Diff. (%) | ค่าความเครียดอัด ณ แรงอัดสูงสุด (มม./มม.) | | Diff. (%) |
|-----|-----------------------|-----|--------------|---|-----|--------------|---|--------|--------------|
| | Exp. | FEM | | Exp. | FEM | | Exp. | FEM | |
| RC1 | 128 | 131 | 2.09 | 3.1 | 0.9 | -70.97 | 0.0028 | 0.0024 | -14.29 |
| RC2 | 118 | 134 | 13.8 | 3.0 | 1.5 | -50.00 | 0.0021 | 0.0037 | 76.19 |

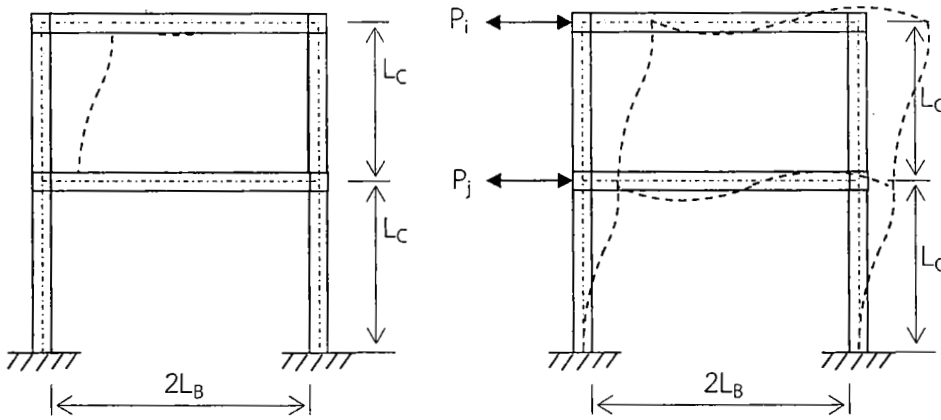
ค่าบวกแสดงค่าผลการวิเคราะห์ FEM มากกว่าผลการทดสอบ

ค่าลบแสดงค่าผลการวิเคราะห์ FEM น้อยกว่าผลการทดสอบ

4.4 แบบจำลองไฟในอิลิเมนต์คาน-เสากองกรีตเสริมเหล็ก

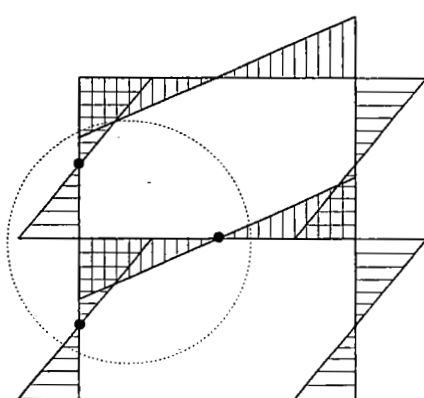
เมื่อกีดแผ่นดินไหวแผ่นดินจะมีการเคลื่อนตัวในลักษณะคลื่น (Wave) ทำให้เกิดแรงเนื่องจากแผ่นดินไหว ซึ่งมีลักษณะเป็นวัฏจักร (Cyclic Load) โดยมีลักษณะไป-กลับ (ข้าย - ขวา) เมื่อโครงข้อแข็งเหล็กรับแรงแผ่นดินไหว จึงเสมือนว่าถูกแรงกระทำด้านข้างกระทำ ดังแสดงในรูป 4.7ก และ 4.7ข ส่วนรูป 4.7ค แสดงไดอะแกรมโมเมนต์ดัดของโครงข้อแข็งเหล็ก เมื่อรับแรงด้านข้าง จะเห็นว่าที่บริเวณกึ่งกลางเสาชั้นบน – ล่าง และจุดกึ่งกลางช่วงคาน จะเป็นจุดที่โมเมนต์ดัด เป็นศูนย์ (จุดดักกลับของโมเมนต์ดัด) นั้นหมายความว่า ขึ้นส่วนคาน-เสาระบบริเวณนี้ ซึ่งเป็นบริเวณข้อต่อระหว่างคานกับเสาสามารถจำลองสภาพการใส่แรง และเงื่อนไขการยึดรั้งได้ดังรูปที่ 4.7 ก ล่างโดยสรุป ข้อต่อคาน-เสาแบบถ่ายโมเมนต์ของเสาตันริม เมื่อรับแรงแผ่นดินไหว สามารถจำลองลักษณะการใส่แรงได้ โดยใส่แรงวัฏจักรที่บริเวณกึ่งกลางของช่วงคาน โดยที่ปลายเสาทั้งบนและล่างจะมีเงื่อนไขของการยึดรั้งเป็นแบบสลัก (Pin Support)

จากแบบจำลองไฟในอิลิเมนต์เสากองกรีตเสริมเหล็กที่มีความแม่นยำจากขั้นตอนที่แล้ว ในส่วนนี้จะทำการพัฒนาแบบจำลองไฟในอิลิเมนต์คาน-เสากองกรีตเสริมเหล็กของเสาตันริม โดยอาศัยข้อมูลการทดสอบตัวอย่างคาน-เสากองกรีตเสริมเหล็กในห้องปฏิบัติการ ขนาดตัวอย่างคาน-เสา หน้าตัด และรายละเอียดการเสริมเหล็กแสดงในรูปที่ 4.8 ส่วนตารางที่ 4.5 และ 4.6 แสดงคุณสมบัติค่อนกรีตและเหล็กเสริมที่ใช้กับแบบจำลองชุดนี้ แบบจำลองคาน-เสาชุดที่ 1 (bc1) และ แบบจำลองคาน-เสาชุดที่ 2 (bc2) มีขนาดความยาวของเสาและคาน หน้าตัด รายละเอียดการเสริมเหล็กในคานและเสา คุณสมบัติค่อนกรีตและเหล็กเสริมเหมือนกันทุกประการ ยกเว้นรายละเอียดการเสริมเหล็กจากคานเข้าสู่เสา โดยตัวอย่างแบบจำลอง bc1 เหล็กเสริมหลักในคานถูกยื่นเข้าไปในเสาและอตามความยาวเหล็กยื่นในเสา ส่วนแบบจำลอง bc2 นั้นเหล็กเสริมหลักในคานจะหยุดที่หน้าเสาโดยจะไม่ถูกยื่นเข้าไปในเสา รายละเอียดเหล็กเสริมของแบบจำลองทั้งสองแสดงไว้ในรูปที่ 4.9 รูปที่ 4.10 แสดงตำแหน่งร่องรับในเสาบริเวณปลายเสาด้านล่างและบน ส่วนแรงกระทำถูกใส่ที่บริเวณปลายคานตามรูป

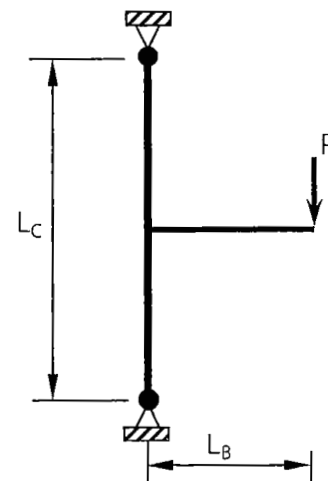


(ก) การจำลองโครงข้อแข็งเพื่อวิเคราะห์การรับแรงด้านข้าง

(ข) การจำลองการเสียรูปของโครงข้อแข็งเมื่อรับแรงด้านข้าง



(ค) แผนภาพแสดงโมเมนต์ภายในของโครงสร้าง



(ง) ขยายบริเวณข้อต่อ

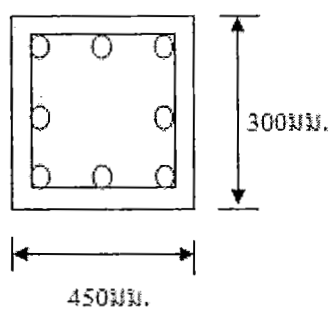
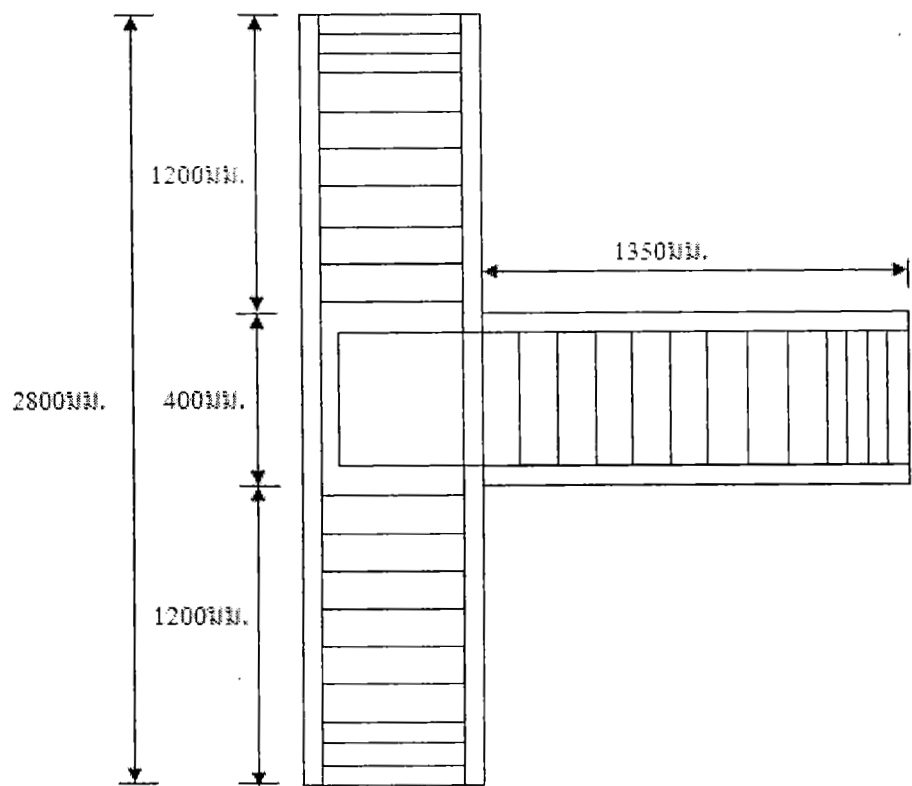
รูปที่ 4.7 โครงข้อแข็งเมื่อมีการรับแรงแผ่นดินไหว

ตารางที่ 4.5 คุณสมบัติคอนกรีตที่ใช้กับแบบจำลองไฟในอิลิเมนต์คาน-เสา (bc1, bc2)

| แบบ จำลอง | สมการคอนกรีต | f_r ksc. | E_c ksc. | f_r ksc. | v | β_i | |
|--------------|-------------------|---------------|---------------|---------------|-----|-----------|--------|
| | | | | | | ราบเรียบ | รุนแรง |
| bc1 | Desayi & Krishnan | 462 | 321,705 | 42.3 | 0.2 | 0.35 | 0.75 |
| bc2 | Desayi & Krishnan | 462 | 321,705 | 42.3 | 0.2 | 0.35 | 0.75 |

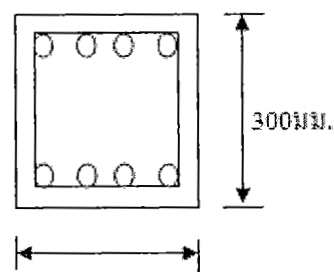
ตารางที่ 4.6 คุณสมบัติเหล็กที่ใช้กับแบบจำลองไฟในอิลิเมนต์คาน-เสา (bc1, bc2)

| แบบจำลอง | สมการความเค้น-เครียด ของเหล็กเสริม | f_y (เหล็กยืน) ksc. | f_y (เหล็กปลอก) ksc. | E_c ksc. |
|----------|---------------------------------------|--------------------------|---------------------------|---------------|
| bc1 | ทดสอบ | 4,695 | 4,275 | 2,426,000 |
| bc2 | ทดสอบ | 4,695 | 4,275 | 2,426,000 |



REBER: 8-D7

STIRRUP: Ø3@75, Ø3@150



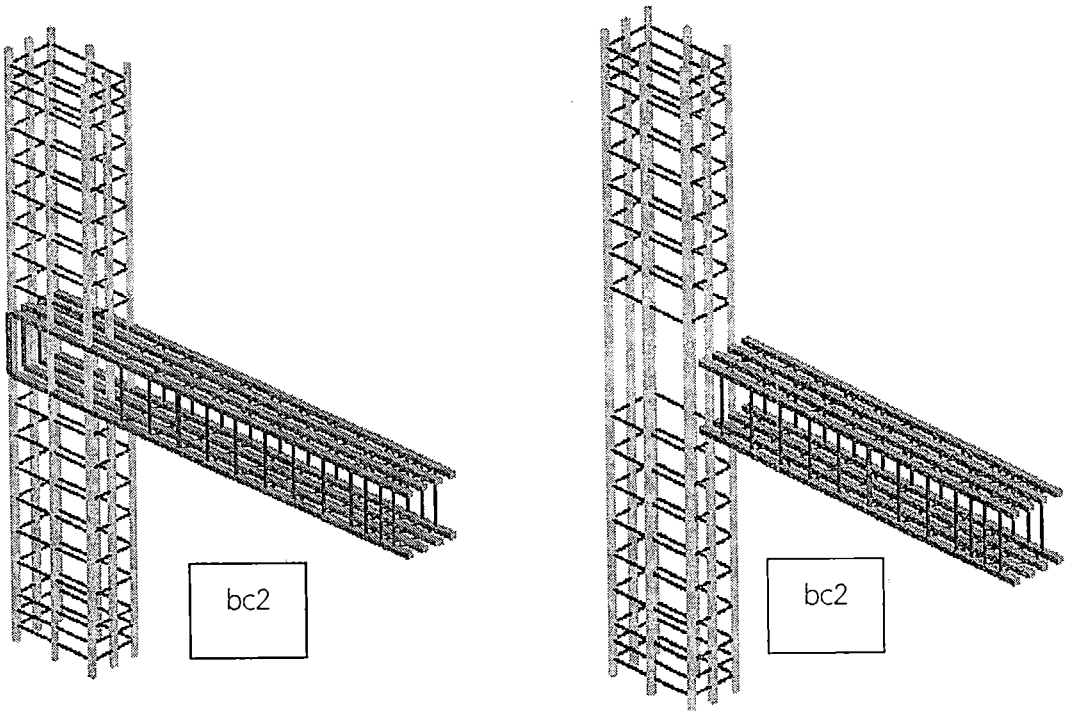
REBER: 8-D7

STIRRUP: Ø3@87.5, Ø3@43.75

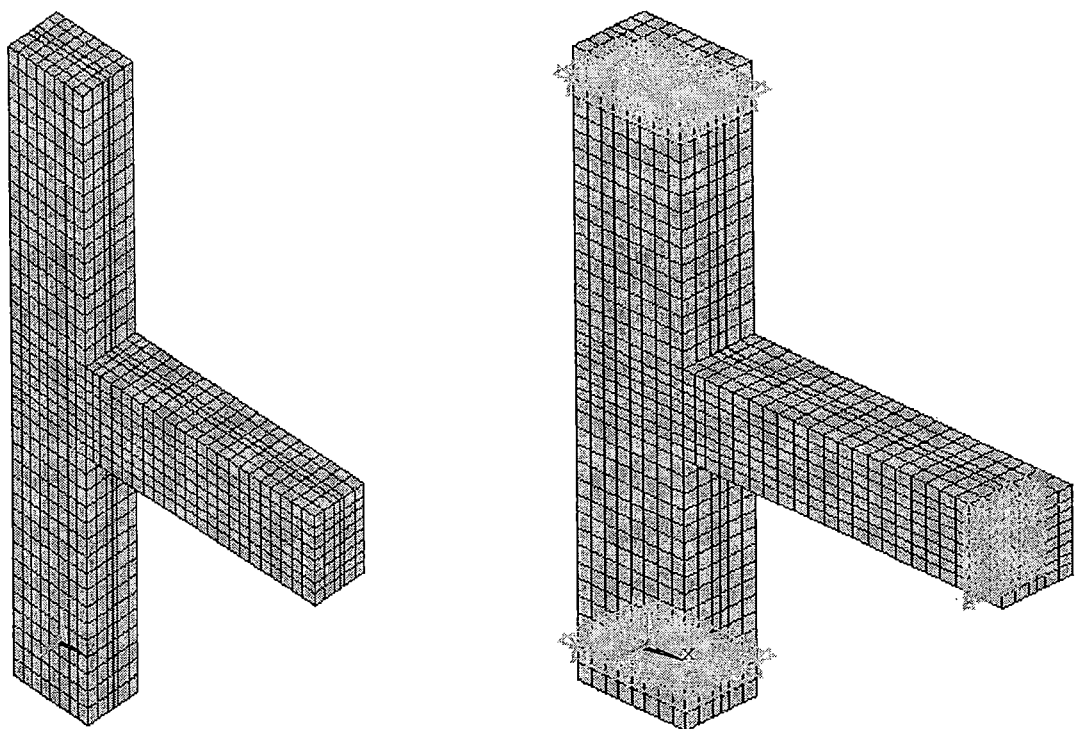
ฐาน

คาน

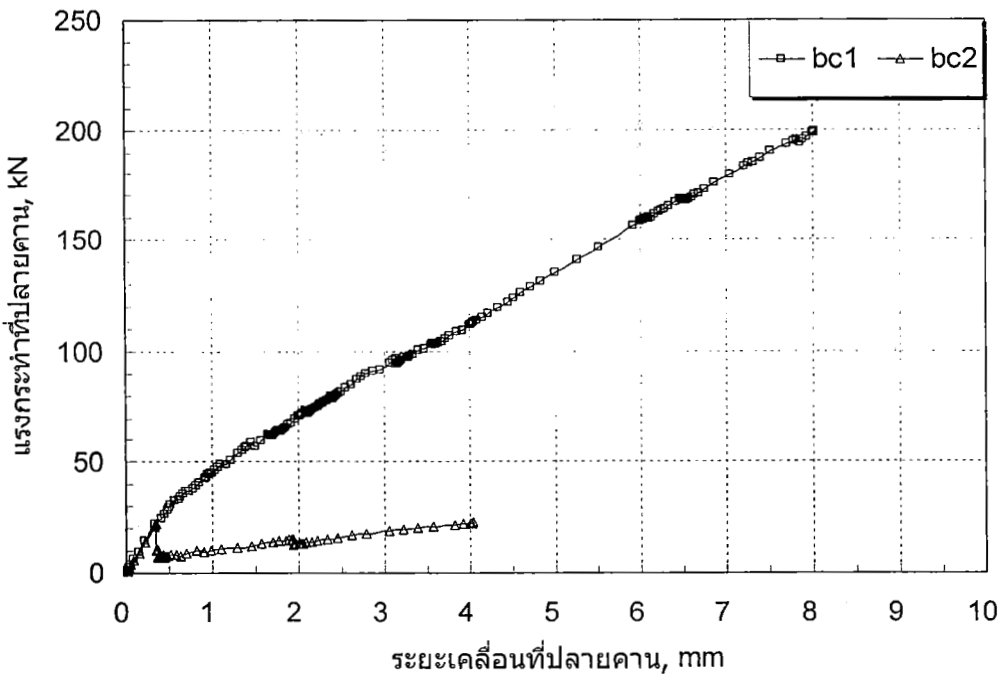
รูปที่ 4.8 ขนาดหน้าตัดและการเสริมเหล็กแบบจำลองไฟในอิลิเมนต์คาน-เสาคอนกรีตเสริมเหล็ก



รูปที่ 4.9 รายละเอียดเหล็กเสริมของแบบจำลอง bc1 และ bc2



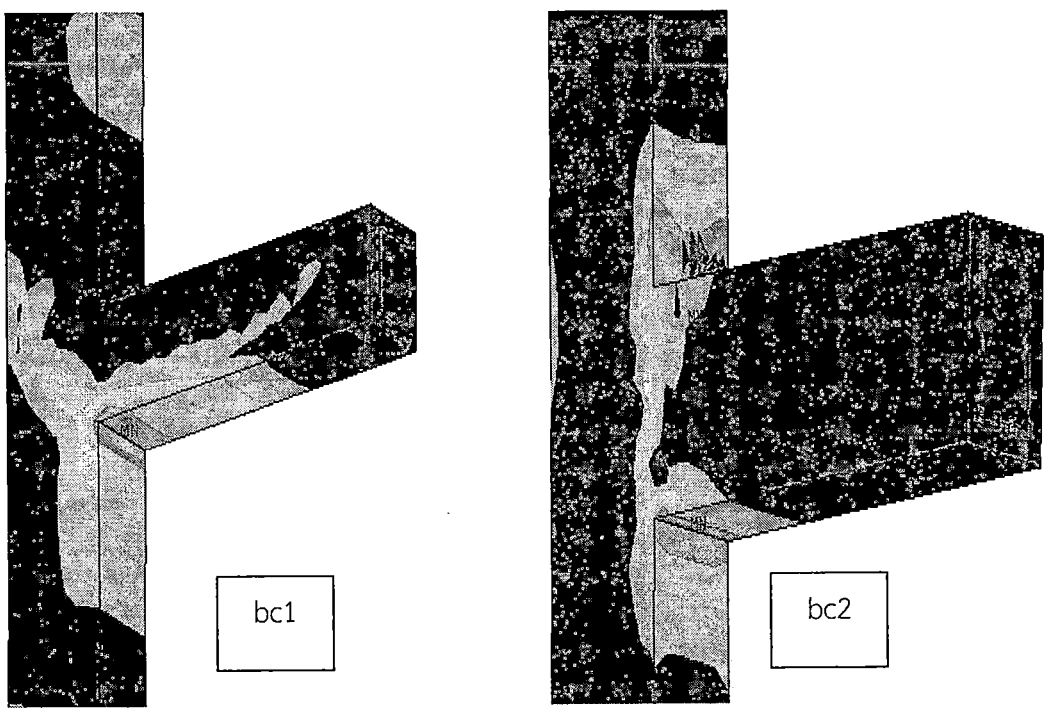
รูปที่ 4.10 ตำแหน่งร่องรับในเสาและแรงกระทำที่ปลายคานของแบบจำลอง bc1 และ bc2



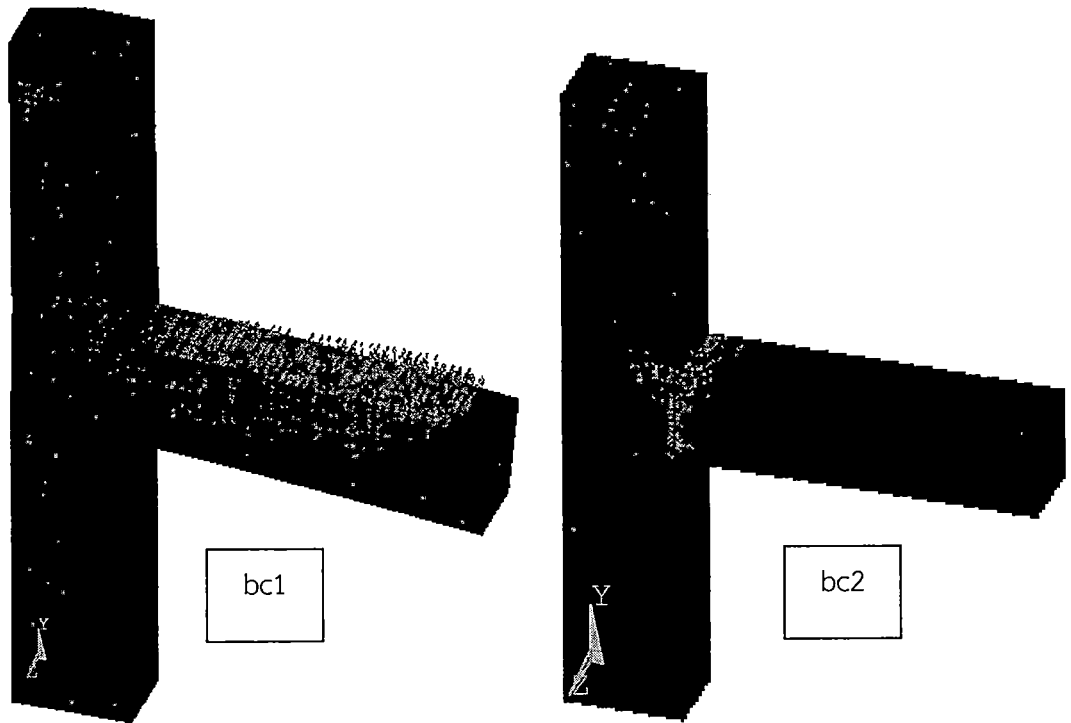
รูปที่ 4.11 แสดงความสัมพันธ์ระหว่างแรงกระทำที่ปลายคานและระยะเคลื่อนที่ปลายคาน

รูปที่ 4.11 แสดงความสัมพันธ์ระหว่างแรงกระทำที่ปลายคานและระยะเคลื่อนที่ปลายคาน จากผลการวิเคราะห์แบบจำลองไฟไนอัลิเมนต์ bc1 มีช่วงพิกัดยืดหยุ่น (Elastic) อยู่ระหว่าง 0-30 กิโลนิวตัน โดยมีระยะเคลื่อนตัวที่ปลายคานประมาณ 0.5 มิลลิเมตร จากนั้นเมื่อคานเริ่มมีรอยร้าวที่บริเวณหลังคาน ตำแหน่งใกล้หน้าเสา กราฟจะมีการเปลี่ยนความชัน โดยความชันของกราฟจะลดลงเมื่อเทียบกับช่วงพิกัดยืดหยุ่น แบบจำลอง bc1 สามารถรับแรงกระทำที่ปลายคานได้สูงสุดเท่ากับ 200 กิโลนิวตัน และมีระยะเคลื่อนตัวที่ปลายคานสูงสุดเท่ากับ 8 มิลลิเมตร ส่วนแบบจำลองไฟไนอัลิเมนต์ bc2 มีช่วงพิกัดยืดหยุ่น (Elastic) อยู่ระหว่าง 0-20 กิโลนิวตัน โดยมีระยะเคลื่อนตัวที่ปลายคานประมาณ 0.3 มิลลิเมตร จะพบว่า ความชันของกราฟในช่วงพิกัดยืดหยุ่นของแบบจำลองทั้งสองมีค่าเท่ากัน อย่างไรก็ตามเมื่อคานของแบบจำลอง bc2 เริ่มมีรอยร้าวที่บริเวณหลังคาน ตำแหน่งใกล้หน้าเสา ความสามารถในการรับแรงของแบบจำลอง bc2 จะลดลงอย่างทันทีโดยรับแรงได้เพียงประมาณ 10 กิโลนิวตัน จากนั้นแบบจำลอง bc2 จะค่อยๆรับแรงได้เพิ่มขึ้น โดยมีระยะเคลื่อนตัวที่ปลายคานสูงสุดเท่ากับ 4 มิลลิเมตร และมีแรงกระทำสูงสุดที่ส่วนบนนี้เท่ากับ 30 กิโลนิวตัน เมื่อเปรียบเทียบผลการวิเคราะห์ระหว่างแบบจำลอง bc1 และ bc2 ชัดเจนว่าแบบจำลอง bc1 มีพุติกรรมตื้กว่ามากทั้งในด้านการรับแรงและการเสียรูป โดยด้านกำลังสามารถรับแรงได้มากกว่าถึงเกือบ 10 เท่า และสามารถเสียรูปได้มากกว่าถึง 2 เท่า

ลักษณะการพังของแบบจำลอง bc1 และ bc2 สามารถดูได้จากรูปที่ 4.12 ประกอบกับรูปที่ 4.13 โดยรูปที่ 4.12 แสดงเส้นขั้นความชันของความเค้นอัดหลักสูงสุดที่เกิดขึ้นในแบบจำลองทั้งสอง จากรูปพบว่าแบบจำลองทั้งสองมีเส้นขั้นความชันของความเค้นอัดหลักสูงสุดที่แตกต่างกันโดยสิ้นเชิง โดยแบบจำลอง bc2 มีเส้นขั้นความชันของความเค้นอัดหลักสูงสุดกระจายตัวบริเวณรอยต่อระหว่างคานและเสาทั้งด้านบนและด้านล่างของคาน ส่วนแบบจำลอง bc1 มีเส้นขั้นความชันของความเค้นอัดหลักสูงสุดในลักษณะนี้แสดงให้เห็นว่าคานมีส่วนช่วยถ่ายแรงกระทำจากปลายคานสู่เสาซึ่งแตกต่างจากแบบจำลอง bc2 การกระจายตัวของความเค้นอัดหลักสูงสุดที่บริเวณรอยต่อระหว่างคานและเสาทั้งด้านบนและด้านล่าง แสดงว่าแบบจำลองนี้ไม่สามารถถ่ายแรงกระทำจากปลายคานสู่เสาได้ดีเมื่อเปรียบเทียบกับแบบจำลอง bc1 นอกจากนี้เมื่อพิจารณาจากรูปที่ 4.13 ซึ่งแสดงตำแหน่งการแตกร้าวของแบบจำลองทั้งสอง พบร้าวแบบจำลอง bc1 มีการแตกร้าวทั่วบริเวณหลังคานสอดคล้องกับแรงดึงที่เกิดขึ้นด้านบนของคานเนื่องจากทิศทางการใส่แรงกระทำที่ปลายคาน ในส่วนของแบบจำลอง bc2 นั้นพบว่าตำแหน่งการแตกร้าวของแบบจำลองเกิดกระชากตัวที่บริเวณรอยต่อระหว่างคานและเสาด้านบน โดยพบว่าในบริเวณอื่นๆของคานไม่พบรอยแตกจึงสรุปว่าคานในส่วนอื่นๆมีส่วนช่วยในการถ่ายแรงจากคานสู่เสาอยมาก เมื่อพิจารณารูปที่ และประกอบกันจึงสรุปว่าการหยุดเหล็กในคานที่หน้าเสาโดยไม่ยืนต่อเข้าไปในเสาที่ทำให้แบบจำลองคาน-เสาคงกรีตเสริมเหล็กแสดงพฤติกรรมที่แยกอย่างมากทั้งด้านกำลังและการเสียรูป ควรระมัดระวังรายละเอียดในส่วนนี้ขณะก่อสร้าง



รูปที่ 4.12 แสดงเส้นชั้นความชันของความเค้นอัดหลักสูงสุดที่เกิดขึ้นในแบบจำลอง bc1 และ bc2



รูปที่ 4.13 แสดงตำแหน่งการแตกร้าวของแบบจำลอง bc1 และ bc2

บทที่ 5

งานศึกษานี้เป็นการศึกษาพัฒนาระบบและศักยภาพของข้อต่อคาน-เสา-พื้นสำเร็จรูปของโครงสร้างคอนกรีตเสริมเหล็กที่ก่อสร้างโดยใช้มาตรฐานการก่อสร้างของประเทศไทยในการรับแรงแผ่นดินไหว โดยทำการพัฒนาแบบจำลองไฟฟ้าในอิลิเมนต์คอนกรีต แบบจำลองไฟฟ้าในอิลิเมนต์เสากองกรีตเสริมเหล็ก และแบบจำลองไฟฟ้าในอิลิเมนต์ข้อต่อคาน-เสาคอนกรีตเสริมเหล็ก เพื่อใช้ในการศึกษาพัฒนาระบบการรับแรงของข้อต่อคาน-เสาคอนกรีตเสริมเหล็ก โดยเริ่มจากการวิเคราะห์แบบจำลองไฟฟ้าในอิลิเมนต์วัสดุคอนกรีต (Exp.1, Exp.2) และเสากองกรีตเสริมเหล็ก (RC1, RC2) เปรียบเทียบผลการวิเคราะห์แบบจำลองกับผลการทดสอบตัวอย่างในห้องปฏิบัติการ และทำการศึกษาพัฒนาระบบข้อต่อคาน-เสาคอนกรีตเสริมเหล็ก (bc1, bc2) ซึ่งสามารถสรุปผลการศึกษาได้ดังนี้

- 1) แบบจำลองไฟฟ้าในอิลิเมนต์วัสดุคอนกรีตที่พัฒนาขึ้นมีความถูกต้องแม่นยำสูง เมื่อเปรียบเทียบกับผลการทดสอบตัวอย่าง โดยเฉพาะเมื่อใช้ข้อมูลค่าความสัมพันธ์ระหว่างความเค้นและความเครียดอัดของคอนกรีต (Compressive Stress-Strain Diagram) จากผลการทดสอบคอนกรีตในห้องปฏิบัติการ
- 2) แบบจำลองไฟฟ้าในอิลิเมนต์เสากองกรีตเสริมเหล็ก RC1 และ RC2 สามารถทำนายแรงอัดสูงสุดของเสาได้ค่อนข้างดีมีค่าคาดเคลื่อนจากผลการทดสอบเท่ากับ 2.09% และ 11.15% ตามลำดับ
- 3) ค่าการค่าการยุบตัว ณ ตำแหน่งแรงอัดสูงสุดจากการวิเคราะห์แบบจำลอง RC1 และ RC2 ให้ค่าน้อยกว่าผลการทดสอบทั้งสองตัวอย่าง
- 4) การใช้สมการของ Desayi & Krishnan [21] ในการหาค่าความสัมพันธ์ระหว่างค่าความเค้นและความเครียดอัดของคอนกรีตนั้น ให้ผลการทำนายค่าแรงอัดสูงสุดได้ดีมาก แต่อาจจะไม่สามารถทำนายค่าการยุบตัวได้ดีเท่าที่ควร
- 5) พฤติกรรมของแบบจำลองข้อต่อ bc1 แสดงพฤติกรรมที่ดีกว่าแบบจำลองข้อต่อ bc2 อย่างชัดเจน ทั้งในด้านการรับแรงและการเสียรูป
- 6) ลักษณะรอยแตกร้าวของแบบจำลอง bc1 จะเกิดขึ้นทั่วบริเวณหลังคานส่วนของแบบจำลอง bc2 นั้นพบว่าตำแหน่งการแตกร้าวของแบบจำลองเกิดกระฉูกตัวที่บริเวณรอยต่อระหว่างคานและเสาด้านบน
- 7) การหยุดเหล็กในคานที่หน้าเสาโดยไม่ยืนต่อเข้าไปในเสาันทำให้แบบจำลองคาน-เสาคอนกรีตเสริมเหล็กแสดงพฤติกรรมที่แย่ลงอย่างมากทั้งด้านกำลังและการเสียรูป ควรระมัดระวังรายละเอียดในส่วนนี้ขณะก่อสร้าง

เอกสารอ้างอิง (References)

- 1) ปณิธาน ลักษณะประสิทธ์ และ เป็นหนึ่ง วนิชชัย (1994), “ความเสียหายจากแผ่นดินไหวที่อำเภอพาน จังหวัดเชียงราย”, โยธาสาร วิศวกรรมสถานแห่งประเทศไทย ปีที่ 7 ฉบับที่ 1 หน้า 9-16.
- 2) เป็นหนึ่ง วนิชชัย (1995), “บทเรียนจากแผ่นดินไหวที่โกเบ”, เอกสารประกอบการประชุมทางวิชาการวิศวกรรมโยธาแห่งชาติ ครั้งที่ 2 วิศวกรรมสถานแห่งประเทศไทย เชียงใหม่ 9-11 พฤษภาคม หน้า 79-84.
- 3) เป็นหนึ่ง วนิชชัย และ อาเค ลิชานโนโน (1994), “การวิเคราะห์ความเสี่ยงภัยแผ่นดินไหวสำหรับประเทศไทย”, วิศวกรรมสารฉบับวิจัยและพัฒนา, วิศวกรรมสารแห่งประเทศไทย ในพระบรมราชูปถัมภ์, ปีที่ 5 ฉบับที่ 1 พ.ศ. 2537, หน้า 69-91.
- 4) กระทรวงมหาดไทย, กฎกระทรวงฉบับที่ 50 (พ.ศ. 2550) ออกตามความในพระราชบัญญัติควบคุมอาคาร พ.ศ. 2522
- 5) American Concrete Institute Committee 318 (1999), Building Code Requirements for Structural Concrete (ACI 318), American Concrete Institute (ACI), Farmington Hills, Michigan, USA.
- 6) ACI Committee 2005. Building Code requirements for structural concrete (ACI 318-05) American Concrete Institute, Farmington Hills, MI 48331.
- 7) ACI-ASCE Committee 352 (1985). Recommendations for Design of Beam-Column Joints in Monolithic Reinforced Concrete Structures. ACI Structural Journal. Procedings Vol. 82 No. 3 : 266 – 283.
- 8) Meinheit, D. F., and Jirsa, J. O. (1981). “Shear Strength of Reinforced Concrete Beam-Column Connections”. Journal of The Structural Division. Vol. 107(11) : 2227 – 2244.
- 9) Do Tein Thinh. (2003). “Seismic Performance of Reinforced Concrete Beam-Column Subassemblages without Seismic Detailing”. Thesis No. ST-03-30, Asian Institute of Technology.
- 10) Chayut Cheejaroen. (2004). “Effect of Bond Deterioration on Seismic of R/C Interior Beam-Column Joint without Seismic Detailing”. Thesis No. ST-04-5, Asian Institute of Technology.
- 11) Worakanchara,K , ”Quasi-Static cyclic loading test of reinforce concrete columns with lap splice”. Proceedings of the National Convention on Civil Engineering (NCCE-8), Khon Khen, Thailand. STR 77-82.2002

- 12) Penelis G. and Kappos J. (1997), Earthquake-Resistance Concrete Structures, E&FN Spon (Inprint of Chapman & Hall), London.
- 13) MacGregor G. (1997), Reinforced Concrete: Mechanics and Design, 3rd Ed., Prentice Hall.
- 14) K. Maekawa, A. Pimanmas and H. Okamura, 2003. Nonlinear Mechanics of Reinforced Concrete Spon Press.
- 15) R. Park and T. Paulay, 1975. Reinforced Concrete Structures. USA: John-Wiley & Sons.
- 16) T. Paulay and M.J.N. Priestley, 1992. Seismic Design of Reinforced Concrete and Masonry Buildings. USA: John-Wiley & Sons.
- 17) Banon, H., Biggs, J. M., and Irvine, H. M. (1981), "Seismic Damage in Reinforced Concrete Frames," Journal of the Structural Division, ASCE, Vol. 107, No. DT9, pp. 1713-1729.
- 18) Durrani, A. J., and Wight, J. K. (1985). "Behavior of Interior Beam-to-Column Connections Under Earthquake-Type Loading," ACI Journal, May-June, pp. 343-349.
- 19) Ehsani, M. R., and Wight, J. K. (1985). "Exterior Reinforced Concrete Beam-to-Column Connections Subjected to Earthquake-Type Loading," ACI Journal, July-August, pp. 492-499.
- 20) ANSYS, ANSYS User's Manual Revision 9, ANSYS, Inc., Canonsburg, Pennsylvania, 2009.
- 21) Desai, P. and Krishnan, S., "Equation for the Stress-Strain Curve of Concrete," Journal of the American Concrete Institute, 61, pp. 345-350, March 1964.
- 22) Gere, J. M. and Timoshenko, S. P., Mechanics of Materials, PWS Publishing Company, Boston, Massachusetts, 1997.
- 23) Kachlakov, D.I. and Miller, T., "Finite Element Modeling of Reinforced Concrete Structures Strengthened with FRP Laminates, Final Report, SP316, Oregon Department of Transportation, Salem, Oregon, May 2001.
- 24) Nilson, A. H., "Nonlinear Analysis of Reinforced Concrete by the Finite Element Method," Journal of the American Concrete Institute, 65(9), pp. 757-766, 1968.
- 25) งานที่ วงศ์แก้ว และ คณะ (2552), "การพัฒนาแบบจำลองไฟในอิเลมเนต์ของคอนกรีตเสริม", โครงการทางวิศวกรรมโยธา, ภาควิชาช่างโยธา, คณะวิศวกรรมศาสตร์, มหาวิทยาลัยบูรพา

26) กรีติ คงแก้ว และ วิศิษฐ์ บุญครอง, การศึกษาเส้าคองกรีตเสริมเหล็กที่เสริมกำลังด้วยแผ่นไฟเบอร์ไฮแก้วด้วยวิธีไฟไนอัลเม็นต์, โครงการชั้นปี 4, ภาควิชาวิศวกรรมโยธา, คณะวิศวกรรมศาสตร์ มหาวิทยาลัยบูรพา, 2553

ภาคผนวก

การศึกษาเสาคอนกรีตเสริมเหล็กด้วยวิธีไฟในอิลิเมนต์ A Study of Reinforced Concrete Columns using Finite Element Analysis

รายงานที่ วงศ์แก้ว¹

¹ ผู้ช่วยศาสตราจารย์ ภาควิชาวิศวกรรมโยธา คณะวิศวกรรมศาสตร์ มหาวิทยาลัยบูรพา อ.เมือง จ.ชลบุรี 20131

E-mail: ¹arnonw@eng.buu.ac.th

บทคัดย่อ

การศึกษานี้เป็นการประยุกต์ใช้วิธีไฟในอิลิเมนต์ในการวินิเคราะห์หาแรงอัดและพฤติกรรมการรับแรงของเสาคอนกรีตเสริมเหล็ก โดยเริ่มจากการพัฒนาแบบจำลองไฟในอิลิเมนต์วัสดุคอนกรีต (Exp.1, Exp.2) ทรงกระบอกขนาด 15x30 ซม. และแบบจำลองไฟในอิลิเมนต์เสาคอนกรีตเสริมเหล็ก (RC1, RC2) หน้าตัดสี่เหลี่ยมขนาด 20x20 ซม. เปรียบเทียบผลการวินิเคราะห์แบบจำลองกับผลการทดสอบตัวอย่างในห้องปฏิบัติการ ทำการศึกษาผลของขนาดหน้าตัดเสาต่อการรับแรงอัดและความยืดหยุ่นด้วยแบบจำลองไฟในอิลิเมนต์ (SC1-SC4) หน้าตัดสี่เหลี่ยมขนาด 15x15, 20x20, 30x30, และ 40x40 ซม. ผลการวินิเคราะห์แบบจำลอง Exp.1 และ Exp.2 เทียบกับผลการทดสอบตัวอย่างพบว่าแบบจำลองมีความถูกต้องแม่นยำสูง สามารถทำนายกำลังอัดของคอนกรีตได้ดีมาก โดยเฉพาะเมื่อใช้ข้อมูลค่าความสัมพันธ์ระหว่างความเค้นและความเครียดอัดของคอนกรีตจากผลการทดสอบคอนกรีตในห้องปฏิบัติการ แบบจำลองเสาคอนกรีตเสริมเหล็ก RC1 และ RC2 สามารถทำนายแรงอัดสูงสุดของเสาได้ค่อนข้างดีเมื่อค่าเดลี่อ่อนจากผลการทดสอบเท่ากับ 2.09% และ 11.15% แต่ทำนายค่าการค่าการยุบตัว ณ ตำแหน่งแรงอัดสูงสุดได้น้อยกว่าผลการทดสอบพอสมควร นอกจากนี้ยังสรุปได้ว่าการใช้สมการหาค่าความสัมพันธ์ระหว่างค่าความเค้นและความเครียดอัดของคอนกรีตโดย Desayi & Krishnank [3] กับแบบจำลองไฟในอิลิเมนต์เสาคอนกรีตเสริมเหล็กสามารถทำนายค่าแรงอัดสูงสุดได้ดีมาก แต่อาจไม่สามารถทำนายค่าการยุบตัวได้เท่าที่ควร ในส่วนของแบบจำลอง SC1-SC4 นั้นสรุปว่าแบบจำลองเสาให้ค่าแรงอัดสูงสุดใกล้เคียงกับค่าที่คำนวณจากสมการการออกแบบเสาคอนกรีตเสริมเหล็กตาม ACI ที่ใช้ค่าสัมประสิทธิ์ตัวคูณความเค้นอัดสูงสุดของคอนกรีต (C) เท่ากับ 1.0 และเมื่อค่า C ลดลง การเดกร้าวเหล็กยืนของเสาที่มีหน้าตัดขนาดเล็กมีส่วนร่วมในการรับแรงอัดได้ดีกว่าเหล็กยืนในเสาน้ำตัดขนาดใหญ่

ค่าสำคัญ: เสาคอนกรีตเสริมเหล็ก, แบบจำลองไฟในอิลิเมนต์, ค่าแรงอัด, ค่าการยุบตัว

Abstract

This study presents Finite Element (FE) Analysis of reinforced concrete columns. First, the finite element models (FEM) of concrete materials with cylindrical shape of

15x30 centimeters (Exp.1 and Exp.2) were created and analyzed. The results show that FEMs of concretes have high accuracy to predict almost the entire stress-strain curves especially when using the compressive stress-strain diagram from the experiments. After verification of the concrete models, then, the FEMs of reinforced concrete columns with a square section of 20x20 centimeters (RC1 and RC2) were developed. Both FE models show a very good comparison of maximum compressive forces with results tested in the laboratory by the discrepancy of 2.09% and 11.15%, respectively. However, the models are not quite accurate in computing the specimen deformations. By using the concrete model proposed by Desayi and Krishnan [3], the FE models of reinforced concrete columns show excellent results on calculating the maximum compressive forces but not the maximum deformations of columns. The FE models of four square reinforced concrete columns with cross sections of SC1:15x15, SC2:20x20, SC3:30x30, and SC4:40x40 centimeters were analyzed. The results indicate that maximum compressive forces computed by ACI equation for column design are well comparable with the values from the FE analysis, when the compressive strength coefficient of concrete (C) is taken as 1.0 rather than 0.85. Finally, the FE models show that after the cracking of concrete occurred, the main reinforced steel of smaller cross section columns can more actively participate in a compressive action than those in bigger cross section columns.

Keywords: Reinforced Concrete Column, Finite Element Model, Compressive Force, Deformation

1. คำนำ

เสาเป็นส่วนประกอบขององค์อาคารที่มีความสำคัญมาก มีหน้าที่รับน้ำหนักบรรทุกรวมที่เกิดขึ้นจากการใช้งานอาคาร หรือแรงที่มากระทำกับอาคารและถ่ายน้ำหนักบรรทุกและแรงเหวี่ยงหลักฐานรากและเสาเข็ม โดยปกติเสาถูกออกแบบให้รับแรงอัดเป็นหลัก การทราบถึง

พฤษติกรรมการรับแรงอัดของเสาจึงเป็นสิ่งที่สำคัญ อย่างไรก็ตาม การทดสอบเสาในห้องปฏิบัติการนั้น ทำได้ค่อนข้างยาก สิ่นเปลือง งบประมาณและเวลาในการทดสอบ นอกจากนี้ข้อมูลที่ได้จากการทดสอบจะถูกจำกัดเฉพาะรูปแบบของตัวอย่างทดสอบและลักษณะของแรงกระแทก ดังนั้นการประยุกต์ใช้วิธีไฟฟ้าอิเล็กทรอนิกส์ในการวิเคราะห์ พฤษติกรรมเสากองกรีตเสริมเหล็ก จึงเป็นอีกทางเลือกหนึ่งที่นักวิจัยส่วนใหญ่นิยมและเป็นที่ยอมรับ ทั้งนี้เนื่องจากประยุกต์สำหรับตัวอย่างและเวลาที่ใช้ในการวิเคราะห์มากกว่าการทดสอบตัวอย่างเสา เป็นวิธีที่มีประสิทธิภาพและความถูกต้องแม่นยำสูงในการศึกษาพฤษติกรรมเสากองกรีตเสริมเหล็กที่มีรูปแบบและแรงกระแทกที่แตกต่างกัน เช่น คุณสมบัติองค์กรีตและเหล็กเสริม ขนาดเสา รูปแบบและขนาดเหล็กเสริมและเหล็กปลอก เป็นต้น

อย่างไรก็ตาม การวิเคราะห์เสากองกรีตเสริมเหล็กด้วยวิธีไฟฟ้าอิเล็กทรอนิกส์ให้ได้ผลใกล้เคียงกับผลการทดสอบตัวอย่างเสาในห้องปฏิบัติการ เป็นปัญหาที่ยาก เนื่องจากเสากองกรีตเสริมเหล็กนั้นมีพฤษติกรรมแบบ Non-homogeneous และ Anisotropic ซึ่งพฤษติกรรมทั้งสองนี้จำเป็นที่จะต้องคำนึงถึงในการสร้างแบบจำลองไฟฟ้าอิเล็กทรอนิกส์ (Finite Element Model) เพื่อให้ได้แบบจำลองที่มีความถูกต้องแม่นยำ

การศึกษานี้มีวัตถุประสงค์ 1) เพื่อพัฒนาแบบจำลองไฟฟ้าอิเล็กทรอนิกส์ เสาองค์กรีตเสริมเหล็ก และ 2) เพื่อประเมินความสามารถในการรับ กำลังอัดเสากองกรีตเสริมเหล็กที่มีการเปลี่ยนแปลงขนาดหน้าตัด และ เปรียบเทียบค่า กำลังอัดของแบบจำลองไฟฟ้าอิเล็กทรอนิกส์ เสาองค์กรีตเสริมเหล็ก กับค่าที่ได้จากการทดสอบแบบเสากองกรีตเสริมเหล็กของ ACI ผลการศึกษานี้สามารถนำไปประยุกต์ใช้ในการศึกษาเชิงตัวแปร (Parametric study) ของเสากองกรีตเสริมเหล็กได้ต่อไป

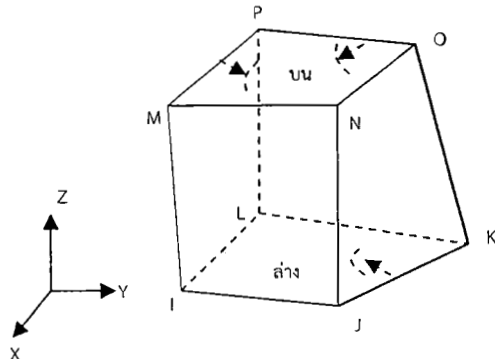
2. การพัฒนาแบบจำลองไฟฟ้าอิเล็กทรอนิกส์ เสาองค์กรีตเสริมเหล็ก

การศึกษาเริ่มจากการสร้างแบบจำลองไฟฟ้าอิเล็กทรอนิกส์ เสาองค์กรีตเสริมเหล็กด้วยโปรแกรมไฟฟ้าอิเล็กทรอนิกส์ ANSYS [2] สิ่งจำเป็นในการสร้างแบบจำลองไฟฟ้าอิเล็กทรอนิกส์ เสาองค์กรีตเสริมเหล็กนั้น ประกอบด้วย ชนิดอิเล็กทรอนิกส์ที่เลือกใช้ คุณสมบัติวัสดุ เนื่องจากการให้แรงกระแทกและ คุณสมบัติจุดรองรับ เพื่อทำการวิเคราะห์ค่าการรับแรงอัด การยุบตัวของเสา และค่าความเครียดในเหล็กเสริม

2.1 ชนิดอิเล็กทรอนิกส์ และข้อมูลที่ใช้ในการสร้างแบบจำลององค์กรีต

ชนิดของอิเล็กทรอนิกส์ที่ใช้สำหรับในการสร้างแบบจำลองขององค์กรีต คือ SOLID65 มีลักษณะอิเล็กทรอนิกส์เป็นแบบกล่อง อิเล็กทรอนิกส์ชนิดนี้ถูกกำหนดตามขนาดความกว้าง ความยาว และความสูงด้วยการสร้างจุดต่อจุด (Node) ทั้งหมด 8 จุด และดังในรูปที่ 1 ซึ่งแต่ละจุดของอิเล็กทรอนิกส์สามารถเคลื่อนที่อิสระได้ทั้งหมด 3 ทิศทาง (แกน X, Y, Z) ทั้งนี้

SOLID65 มีความสามารถแสดงพฤติกรรมการแตกร้าว (Cracking) หรือ การบดอัดแตก (Crushing) ขององค์กรีต



รูปที่ 1 ชนิดอิเล็กทรอนิกส์ SOLID65 [2]

คุณสมบัติองค์กรีตที่ต้องใส่ค่าเมื่อตั้งค่า

- 1) ความคันอัดสูงสุดขององค์กรีต (Ultimate Uniaxial Compressive Strength, f_c') เป็นค่าความสามารถในการรับกำลังอัดสูงสุดขององค์กรีตก่อนเกิดการแตกร้าว หาค่าได้จากการทดสอบตัวอย่างองค์กรีตตาม ASTM C39
- 2) ค่าโมดูลัสยืดหยุ่นขององค์กรีต (Elastic Modulus, E_c') ตามสมการ ACI 318: $15,100\sqrt{f_c'}$ (กก/ซม²)
- 3) กำลังด้านทานแรงตึงสูงสุดขององค์กรีต (Ultimate Uniaxial Tensile Strength, f_t') ตามสมการ ACI 318: $1.8\sqrt{f_c'}$ (กก/ซม²)
- 4) อัตราส่วนปัวขององค์กรีต (Poisson's Ratio, ν) อยู่ระหว่าง 0.15-0.25

5) ค่าสัมประสิทธิ์กำลังรับแรงเฉือนขององค์กรีต (Shear Transfer Coefficient, β_s) โปรแกรม ANSYS [2] กำหนดลักษณะการพังขององค์กรีตด้วยแรงเฉือนไว้ 2 แบบ คือการพังแบบราบเรียบ (Shear transfer coefficients for an open crack: smooth crack) เป็นการพังขององค์กรีตที่สมบูรณ์ที่ไม่มีการถ่ายแรงเฉือนสมบูรณ์ และการพังแบบรุนแรง (Shear transfer coefficients for a closed crack: rough crack) เป็นการพังขององค์กรีตที่ไม่มีการถ่ายแรงเฉือนภายในองค์กรีต โดยกำหนดค่าตั้งแต่ 0.0 ถึง 1.0 (0.0 จะเป็นการพังแบบราบเรียบสมบูรณ์ และ 1.0 เป็นการพังแบบรุนแรงสมบูรณ์)

- 6) ค่าความสัมพันธ์ระหว่างความเห็นอัดและความเครียดอัดขององค์กรีต (Compressive Stress-Strain Diagram) ใน การศึกษานี้ใช้ค่าความสัมพันธ์จากผลการทดสอบองค์กรีตในห้องปฏิบัติการ และตามสมการของ Desayi และ Krishnan [3] แสดงดังสมการที่ (1)-(3) และรูปที่ 2

$$f = \frac{E_c \varepsilon}{1 + (\varepsilon / \varepsilon_o)^2} \quad \dots \dots \dots (1)$$

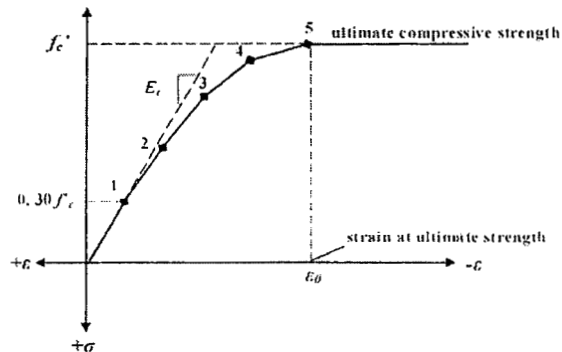
$$\varepsilon_o = 2 \frac{f'_c}{E_c} \quad \dots\dots\dots(2)$$

$$E_c = \frac{f}{\varepsilon} \quad \dots\dots\dots(3)$$

เมื่อ f = ความเด่นอัตต์ที่ทำให้ความเครียดอัตต์ได้ฯ

ε = ความเครียด ณ ทำให้ความเด่นอัตต์ f

ε_o = ความเครียด ณ ทำให้ความเด่นอัตต์สูงสุด f'_c

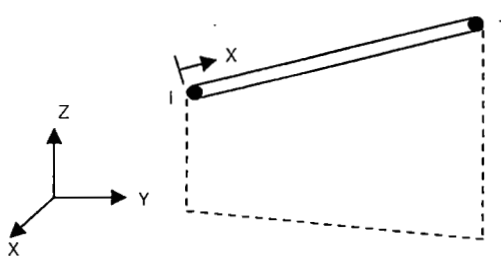


รูปที่ 2 ค่าความสัมพันธ์ระหว่างความเด่นและความเครียดอัตต์ของคอนกรีต Desai และ Krishnan [3]

7) เกณฑ์การวิบัติของคอนกรีต จากการสึกดับเบื้องต้นพบว่าต้องให้คอนกรีตมีลักษณะการพังแบบฉีกขาด (Cracking) เพื่อให้โปรแกรมสามารถวิเคราะห์ได้จนเสร็จสมบูรณ์ (convergence)

2.2 ชนิดอิลิเมนต์และข้อมูลที่ใช้ในการสร้างแบบจำลองเหล็กเสริม

ส่วนอิลิเมนต์ที่ใช้สำหรับการสร้างแบบจำลองของเหล็กเสริม เลือกใช้ LINK8 ซึ่งลักษณะอิลิเมนต์เป็นประเภท 2 จุดเส้นตรง แต่ละจุดของอิลิเมนต์สามารถเคลื่อนที่แบบอิสระได้ทั้งหมด 3 ทิศทาง (แกน X, Y, Z) แสดงดังในรูปที่ 3 อิลิเมนต์ของเหล็กจะสร้างร่วมกับจุดของคอนกรีตอิลิเมนต์ที่ขอมเป็นจุดเดียวกัน โดยมีสมมุติฐานคอนกรีตและเหล็กไม่เกิดการรุกรานรับแรง (Perfectly Bonded)



รูปที่ 3 ชนิดอิลิเมนต์ LINK8 สำหรับเหล็กเสริม [2]

คุณสมบัติเหล็กเสริมที่ต้องใส่ค่ามีดังนี้

- 1) ค่าโมดูลัสยืดหยุ่นของเหล็กเสริม (Elastic Modulus, E_s)
- 2) อัตราส่วนปัวของเหล็กเสริม (Poisson's Ratio, ν)

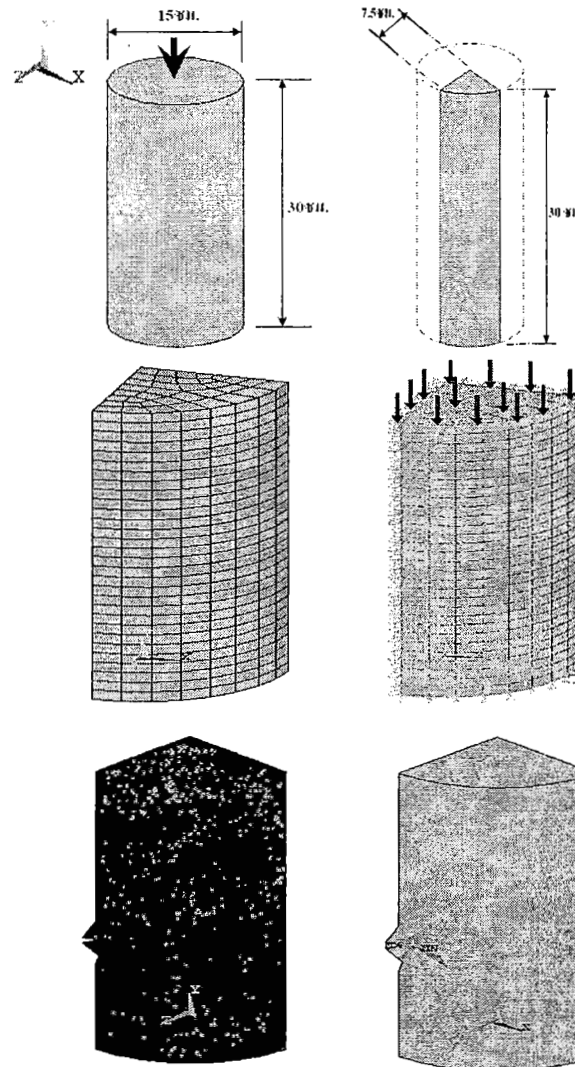
3) ขนาดพื้นที่หน้าตัดของเหล็กเสริม (A_s)

4) กำลังรับแรงดึงที่จุดคราก (Yield Strength)

5) กำลังรับแรงดึงที่จุดสูงสุด (Ultimate Tensile Strength)

6) ค่าความสัมพันธ์ระหว่างความเด่นและความเครียดดึงของเหล็ก โดยใช้ค่าจากผลการทดสอบในห้องปฏิบัติการ

3. การวิเคราะห์ความถูกต้องของแบบจำลองไฟไน-อิลิเมนต์คอนกรีตทรงกระบอก (Cylinder Model)



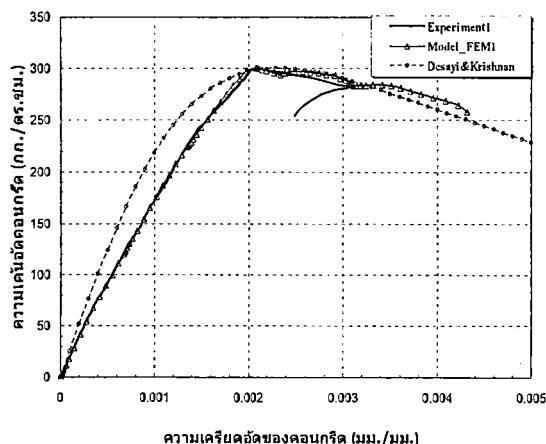
รูปที่ 4 แบบจำลองไฟไนอิลิเมนต์คอนกรีตทรงกระบอก (Exp.1 และ Exp.2)

ส่วนหนึ่งของการตรวจสอบความถูกต้องของแบบจำลองไฟไนอิลิเมนต์ ข้อมูลการทดสอบคอนกรีตทรงกระบอกในห้องปฏิบัติการถูกนำมาเปรียบเทียบกับค่าที่ได้จากการวิเคราะห์แบบจำลอง โดยทำการสร้างแบบจำลองคอนกรีตทรงกระบอกขนาดเส้นผ่านศูนย์กลาง 15 เซนติเมตร สูง 30 เซนติเมตร เนื่องจากคุณสมบัติสมมาตรของหน้าตัด และการใส่แรงกระทำ จึงทำการสร้างแบบจำลองเพียง 1 ใน 4 ส่วน แสดงดังรูปที่ 4 ข้อมูลการทดสอบตัวอย่างคอนกรีตในห้องปฏิบัติการมี 2 ตัวอย่าง ข้อมูลวัสดุคอนกรีตที่ใส่ในแบบจำลองไฟไนอิลิเมนต์มี 2 ชุด

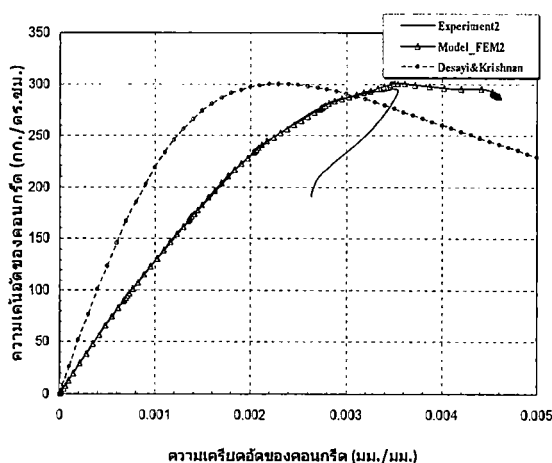
ต่อหนึ่งตัวอย่าง ข้อมูลชุดที่ 1 ค่าโมดูลัสยืดหยุ่นคำนวณได้จากการ ACI 318 และค่าความสัมพันธ์ระหว่างความเค้นและความเครียดอัด คอนกรีต คำนวณจากสมการของ Desayi & Krishnan [3] ข้อมูลชุดที่ 2 ค่าโมดูลัสยืดหยุ่นและค่าความสัมพันธ์ระหว่างความเค้นและความเครียดอัด คอนกรีตเป็นค่าที่ได้จากการทดสอบตัวอย่างคอนกรีตในห้องปฏิบัติการ ส่วนค่า f'_c , f_r , v , β_t มีค่าเท่ากันทั้ง 2 แบบจำลอง

ตารางที่ 1 คุณสมบัติคอนกรีตที่ใช้กับแบบจำลองไฟฟ้าในอิลิเมนต์คอนกรีต ทรงกระบอก

| ความเค้น& ความเครียด คอนกรีต | f'_c ksc. | E_c ksc. | f_r ksc. | v | β_t | |
|------------------------------------|----------------|---------------|---------------|-----|-----------|--------|
| | | | | | ราบเรียบ | รุนแรง |
| Desayi | 300 | 259,237.1 | 34 | 0.2 | 0.3 | 0.9 |
| Exp.1 | 300 | 195,617.6 | 34 | 0.2 | 0.3 | 0.9 |
| Exp.2 | 300 | 137,303.5 | 34 | 0.2 | 0.3 | 0.9 |



รูปที่ 5 ความเค้นและความเครียดอัดของคอนกรีตตัวอย่างที่ 1 (Exp.1)



รูปที่ 6 ความเค้นและความเครียดอัดของคอนกรีตตัวอย่างที่ 2 (Exp.2)

จากรูปที่ 5 และ 6 พบว่าผลการวิเคราะห์แบบจำลองไฟฟ้าในอิลิเมนต์ที่ใส่ข้อมูลจากสมการของ Desayi & Krishnan [3] ทำนายค่าความเค้นอัดสูงสุดได้ใกล้เคียงกับผลการทดลองมาก แต่ให้ค่าความเครียดอัดแตกต่างจากผลการทดสอบของสมควร ทั้งนี้เป็นเพราะค่าโมดูลัสยืดหยุ่นและค่าความสัมพันธ์ระหว่างความเค้นและความเครียดอัดของคอนกรีตที่คำนวณจากการให้ค่าแต่งต่างจากผลการทดสอบ เมื่อทำการเปลี่ยนค่าทั้งสองนี้โดยใช้ค่าจากผลการทดสอบตัวอย่างคอนกรีตพบว่าแบบจำลองทำงานค่าทั้งความเค้นอัดและความเครียดอัดได้ดีมาก โดยเฉพาะในช่วงพิกัดยืดหยุ่น จากนั้นเมื่อเกินจุดนี้ไปแล้วค่าความเค้นอัดของตัวอย่างจะลดลงอย่างรวดเร็วทั้งนี้เพราะคอนกรีตแตกคร้ำ ส่วนแบบจำลองยังคงรับค่าความเค้นอัดได้ เนื่องจากค่าความสัมพันธ์ระหว่างความเค้นและความเครียดอัดของคอนกรีตในช่วงเกินพิกัดยืดหยุ่นของแบบจำลองถูกสมมุติให้มีค่าความเค้นในอบรัด (Confined Stress) เหลืออยู่บ้างส่วน ดังนั้นจึงสรุปว่าแบบจำลองไฟฟ้าในอิลิเมนต์คอนกรีตทรงกระบอกขนาดเด่นผ่านศูนย์กลาง 15 เซนติเมตร สูง 30 เซนติเมตรมีความถูกต้องแม่นยำสูงสามารถนำไปพัฒนาใช้กับเสาคอนกรีตเสริมเหล็กได้ต่อไป

4. การวิเคราะห์ความถูกต้องของแบบจำลองไฟฟ้าในอิลิเมนต์เสาคอนกรีตเสริมเหล็กหน้าตัดสี่เหลี่ยมจัตุรัส

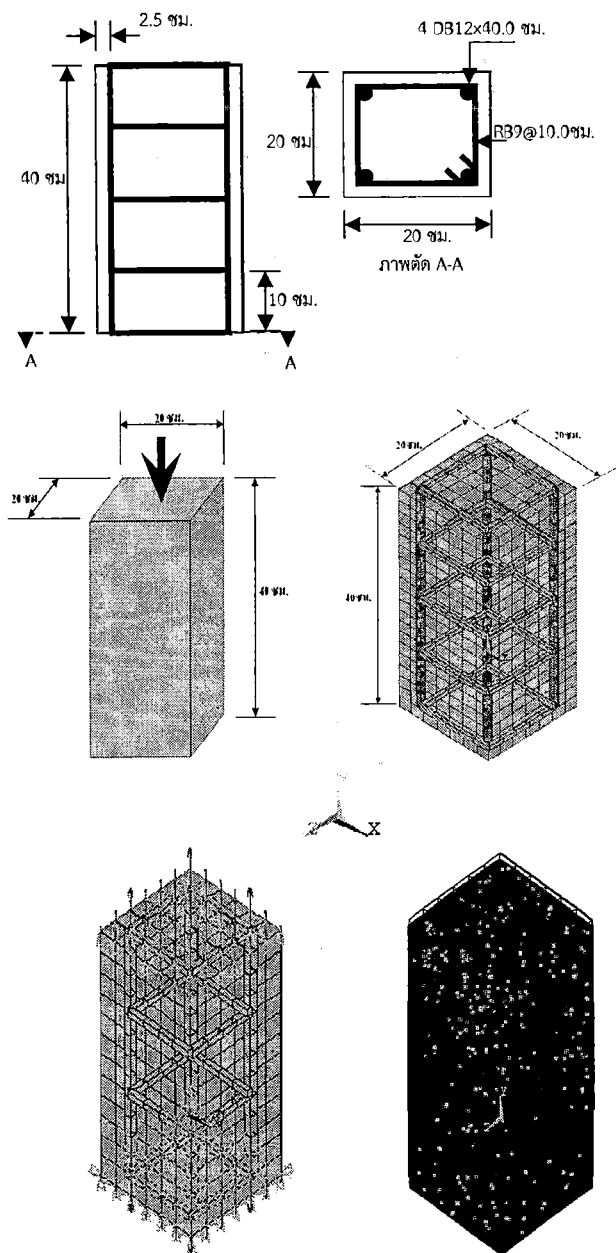
แบบจำลองไฟฟ้าในอิลิเมนต์เสาคอนกรีตเสริมเหล็กถูกพัฒนาขึ้นจากแบบจำลองคอนกรีตที่มีความแม่นยำจากขั้นตอนที่แล้ว และเพื่อตรวจสอบความถูกต้องของแบบจำลองไฟฟ้าในอิลิเมนต์เสาคอนกรีตเสริมเหล็ก ข้อมูลการทดสอบเสาคอนกรีตเสริมเหล็กในห้องปฏิบัติการ [8] ถูกนำมาเปรียบเทียบกับผลการวิเคราะห์แบบจำลอง รูปที่ 7 แสดงขนาดหน้าตัด รายละเอียดเหล็กเสริม การใส่แรงอัด ภาพแบบจำลอง และลักษณะการเสียรูปของแบบจำลอง ส่วนตารางที่ 2 และ 3 แสดงคุณสมบัติคอนกรีตและเหล็กเสริมที่ใช้กับแบบจำลองข้างต้น

ตารางที่ 2 คุณสมบัติคอนกรีตที่ใช้กับแบบจำลองไฟฟ้าในอิลิเมนต์เสา (RC1, RC2)

| เสา | สมการ คอนกรีต | f'_c ksc. | E_c ksc. | f_r ksc. | v | β_t | |
|-----|------------------|----------------|---------------|---------------|-----|-----------|--------|
| | | | | | | ราบเรียบ | รุนแรง |
| RC1 | Desayi | 300 | 259,237.1 | 34 | 0.2 | 0.3 | 0.9 |
| RC2 | ทดสอบ | 300 | 137,303.5 | 34 | 0.2 | 0.3 | 0.9 |

ตารางที่ 3 คุณสมบัติเหล็กที่ใช้กับแบบจำลองไฟฟ้าในอิลิเมนต์เสา (RC1, RC2)

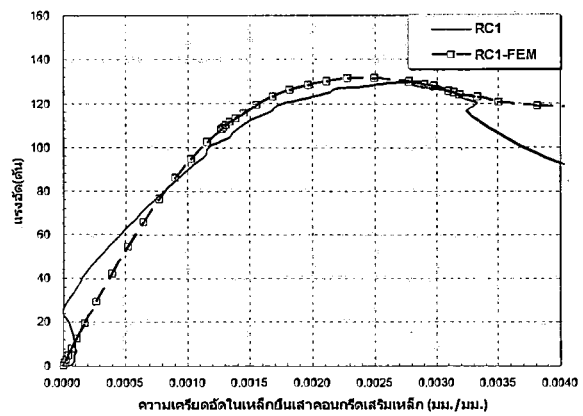
| เสา | สมการ ความเค้น-เครียด เหล็ก | f_y (เหล็กยืน) ksc. | f_y (เหล็กกลอก) ksc. |
|-----|-----------------------------------|--------------------------|---------------------------|
| | | ทดสอบ | |
| RC1 | | 3,000 | 2,400 |
| RC2 | | 3,000 | 2,400 |



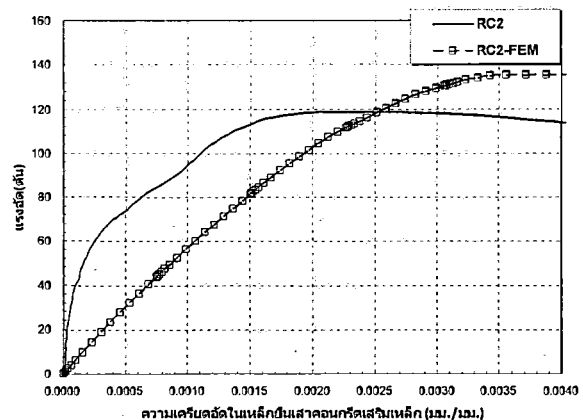
รูปที่ 7 แบบจำลองไฟฟ้าอิเล็กทรอนิกส์สำหรับการทดสอบเชิงโครงสร้าง (RC1 และ RC2)

การเปรียบเทียบผลที่ได้จากการวิเคราะห์แบบจำลอง และผลจาก การทดสอบรุปปั้นในตารางที่ 4 เมื่อพิจารณาค่าแรงอัดสูงสุดที่ได้จากการ ทดสอบรุปปั้นตัวอย่างพับกว่าให้ผลค่อนข้างดีมีค่าคาดเคลื่อนจากผล การทดสอบเท่ากับ 2.09% และ 11.15% สำหรับเสา RC1 และ RC2 ตามลำดับ อย่างไรก็ตามเมื่อพิจารณาค่าการค่าการยุบตัว ณ ตำแหน่ง แรงอัดสูงสุดพบว่าผลจากการวิเคราะห์แบบจำลองให้ค่าน้อยกว่าผลการ ทดสอบทั้งสองตัวอย่าง ลึกลึกลึกกว่าแบบจำลองของคอนกรีตของตัวอย่าง RC2 จะใช้ข้อมูลผลการทดสอบคอนกรีตสำหรับตัวอย่างสำหรับการวิเคราะห์ เหล็กนี้จากห้องปฏิบัติการก่อสร้าง ทั้งนี้อาจมีสาเหตุมาจากการปัจจัย เช่น ค่าความสัมพันธ์ระหว่างความเค้นและความเครียดอัดของคอนกรีต

และค่าโมดูลสปริงค์ที่หุ่นของคอนกรีตในห้องปฏิบัติไม่ถูกต้อง หรืออาจเกิด จากข้อผิดพลาดในการทดสอบสำหรับการทดสอบเชิงโครงสร้าง ที่ใช้ในการรับประทาน เริ่มต้นจะสังเกตเห็นการยุบตัวของปูนขาวที่ใช้ในการรับประทาน ค่อนข้างมากก่อนสารเริ่มรับแรงอัด อาจส่งผลต่อการบันทึกค่าการยุบตัว ของเสาทดสอบ เพื่อเป็นการยืนยันผลการวิเคราะห์แบบจำลอง ผลการ วิเคราะห์ค่าความเครียดที่เกิดขึ้นในเหล็กยึนในเสา RC1 และ RC2 ถูก นำมาเสนอเพิ่มเติมแสดงรูปที่ 3 และ 9 ตามลำดับ จากรูปพบร่วม ค่าความเครียด ณ ตำแหน่งแรงอัดสูงสุดมีเท่ากับ 0.0028 และ 0.0021 ดังแสดงใน ตารางที่ 4 ส่วนค่าที่ได้จากการทดสอบเชิงโครงสร้างแบบจำลองนี้ เหมือนกับผลการทดสอบแต่ยังแสดงค่าที่ผันผวนพอสมควร สำหรับการ วิเคราะห์แบบจำลองสำหรับการทดสอบเชิงโครงสร้าง RC1 และ RC2 สามารถสรุปได้ว่าข้อมูลค่า ความสัมพันธ์ระหว่างค่าความเค้นและความเครียดอัดของคอนกรีตมี ความสำคัญต่อการดำเนินการยุบตัวของเสาเป็นอย่างยิ่ง การใช้ สมการของ Desai & Krishnan [3] ในการหาค่าความสัมพันธ์ ระหว่างค่าความเค้นและความเครียดอัดของคอนกรีตนี้ให้ผลการ ดำเนินการอัดสูงสุดได้ดีมาก แต่อาจจะไม่สามารถดำเนินการยุบตัว ได้เท่าที่ควร



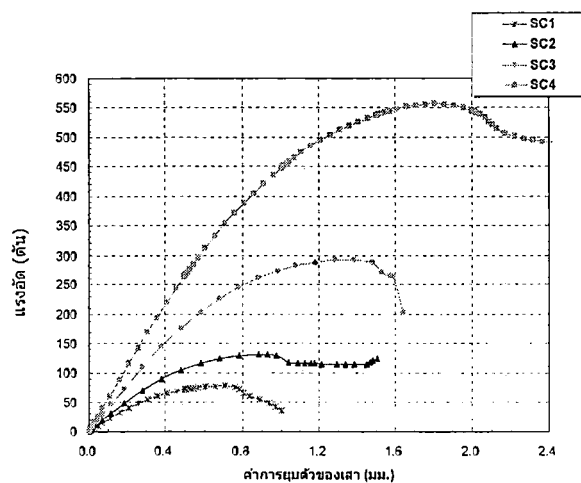
รูปที่ 8 แสดงค่าความเครียดที่เกิดขึ้นของเหล็กยึนในเสา RC1



รูปที่ 9 แสดงค่าความเครียดที่เกิดขึ้นของเหล็กยึนในเสา RC2

ตารางที่ 4 เปรียบเทียบผลการวิเคราะห์แบบจำลองและผลทดสอบเสา RC1, RC2

ประกอบและระยะห่าง จึงควรทำการวิเคราะห์แบบจำลองเพิ่มเติมเพื่อ ยืนยันข้อสรุปต่อไป ส่วนการเปรียบเทียบค่าแรงอัดสูงสุดระหว่างค่าที่ได้ จากแบบจำลองและค่าจากการคำนวณตามสมการ ACI [1] ที่ใช้ค่า สัมประสิทธิ์ด้วยความเดินอัดสูงสุดของคอนกรีต (C) เท่ากับ 1.0 พบร่วมให้ค่าใกล้เคียงกันมาก หมายความว่าค่าแรงอัดสูงสุดคำนวณตาม สมการของ ACI เมื่อใช้ค่า C เท่ากับ 0.85 จะได้ค่าน้อยกว่าค่า ความสามารถในการรับกำลังอัดสูงสุดของเสา ทั้งนี้แสดงว่าสมการการ ออกแบบของ ACI ให้ค่าที่มีส่วนลดคงที่รวมอยู่ด้วย ค่าผลการ วิเคราะห์แบบจำลอง ณ ตำแหน่งต่างๆ สรุปไว้ในตารางที่ 7



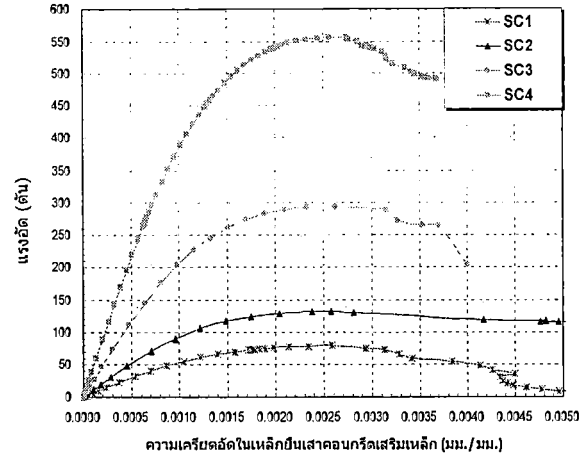
รูปที่ 11 แสดงความสัมพันธ์ระหว่างค่าแรงอัดและค่าการยับตัวของเสา SC1, SC2, SC3, และ SC4

ตารางที่ 7 ค่าผลการวิเคราะห์แบบจำลอง SC1, SC2, SC3, และ SC4

| เสา | แรงอัด สูงสุด สมการ ACI (ตัน) | แรงอัด สูงสุด FEM (ตัน) | การยับตัว ณ แรงอัด สูงสุด Δ_y (มม.) | การยับตัว สูงสุด Δ_{max} (มม.) | $\frac{\Delta_{max} - \Delta_y}{\Delta_y}$ (%) |
|-----|---|----------------------------------|--|--|---|
| SC1 | 79.7 | 78.9 | 0.7 | 1.0 | 43 |
| SC2 | 132.2 | 131.2 | 0.9 | 1.12 | 24 |
| SC3 | 294.4 | 292.9 | 1.4 | 1.60 | 14 |
| SC4 | 555.6 | 555.8 | 1.4 | 2.45 | 29 |

รูปที่ 12 แสดงความสัมพันธ์ระหว่างแรงอัดและค่าความเครียดอัด ในเหล็กยืนของเสา SC1, SC2, SC3, และ SC4 สอดคล้องกับผลจาก กราฟในรูปที่ 11 กล่าวคือเหล็กยืนในเสาหน้าตัดเหล็กกว้างมีส่วนรวมใน การรับแรงอัดได้ดีกว่าเมื่อเสาหน้าตัดใหญ่ขึ้น เมื่อพิจารณาพร้อมกับ ตารางที่ 8 ในส่วนแสดงค่าความเครียดอัดที่เกิดขึ้นในคอนกรีตและ เหล็กเสริม พบว่าหลังจากคอนกรีตเกิดการแตกร้าวซึ่งเกิดขึ้นที่ตำแหน่ง แรงอัดสูงสุด ค่าความเครียดอัดในเหล็กยืนของเสา SC1 และ SC2 ซึ่งมี

ขนาดเหล็กหน้าตัดเล็กกว่าจะมีค่าสูงขึ้นแสดงว่าทดสอบได้มากขึ้นเมื่อเทียบ กับเสาที่มีขนาดหน้าตัดใหญ่ขึ้น SC3 และ SC4 ดังนั้นสรุปได้ว่าเหล็กยืน ในสาขานำเด็กมีส่วนช่วยในการรับแรงอัดได้ดีกว่าเหล็กยืนในเสาหน้า ตัดขนาดใหญ่หลังจากคอนกรีตเริ่มเกิดการแตกร้าว



รูปที่ 12 แสดงความสัมพันธ์ระหว่างแรงอัดและค่าความเครียดอัดในเหล็กยืน ของเสา SC1, SC2, SC3, และ SC4

ตารางที่ 8 ค่าความเครียดอัดที่เกิดขึ้นในคอนกรีตและเหล็กเสริมของเสา SC1, SC2, SC3, และ SC4

| เสา | ความเครียด ณ แรงอัด สูงสุด ในคอนกรีต | ความเครียด สูงสุด ในเหล็ก | ความเครียด ณ แรงอัด สูงสุด ในเหล็ก | ความเครียด สูงสุด ในเหล็กยืน |
|-----|---|---------------------------------|---|------------------------------------|
| SC1 | 0.00294 | 0.0100 | 0.00254 | 0.0045 |
| SC2 | 0.00240 | 0.00290 | 0.00237 | 0.0057 |
| SC3 | 0.00253 | 0.00305 | 0.00262 | 0.0036 |
| SC4 | 0.00220 | 0.00221 | 0.00256 | 0.0037 |

6. สรุปผลการศึกษา

งานศึกษานี้ทำการพัฒนาแบบจำลองไฟในอิลิเมนต์เสาคอนกรีต เสริมเหล็ก เพื่อใช้ในการศึกษาพัฒนาระบบการรับแรงอัดของเสาเริ่มจาก การวิเคราะห์แบบจำลองไฟในอิลิเมนต์วัสดุคอนกรีต (Exp.1, Exp.2) และเสาคอนกรีตเสริมเหล็ก (RC1, RC2) เปรียบเทียบผลการวิเคราะห์แบบจำลองกับผลการทดสอบตัวอย่างในห้องปฏิบัติการ และ ทำการศึกษาผลของขนาดหน้าตัดเสาต่อการรับแรงอัดและความ ยืดหยุ่นด้วยแบบจำลองไฟในอิลิเมนต์ (SC1-SC4) ซึ่งสามารถสรุปผล การศึกษาได้ดังนี้

- แบบจำลองไฟในอิลิเมนต์วัสดุคอนกรีตที่พัฒนาขึ้นมีความถูกต้องแม่นยำสูง เมื่อเปรียบเทียบกับผลการทดสอบตัวอย่าง โดยเฉพาะเมื่อใช้ข้อมูลค่าความสัมพันธ์ระหว่างความเดินและ ความเครียดอัดของคอนกรีต (Compressive Stress-Strain Diagram) จากผลการทดสอบคอนกรีตในห้องปฏิบัติการ

2) แบบจำลองไฟในอิลิเมนต์เสากองกรีตเสริมเหล็ก RC1 และ RC2 สามารถทำนายแรงอัดสูงสุดของเสาได้ค่อนข้างดีเมื่อค่าคาดเคลื่อนจากผลการทดสอบเท่ากับ 2.09% และ 11.15% ตามลำดับ

3) ค่าการค่าการยุบตัว ณ ตำแหน่งแรงอัดสูงสุดจากการวิเคราะห์แบบจำลอง RC1 และ RC2 ให้ค่อนข้างกว่าผลการทดสอบทั้งสองตัวอย่าง

4) การใช้สมการของ Desayi & Krishnan [3] ในการหาค่าความสัมพันธ์ระหว่างค่าความเด็นและความเครียดอัดของกองกรีตนั้นให้ผลการทำนายค่าแรงอัดสูงสุดได้มาก แต่อาจไม่สามารถทำนายค่าการยุบตัวได้เท่าที่ควร

5) แบบจำลองเสา SC1, SC2, SC3, และ SC4 ให้ค่าแรงอัดสูงสุดใกล้เคียงกับค่าที่คำนวณจากการออกแบบเสากองกรีตเสริมเหล็กตาม ACI ที่ใช้ค่าสมประสงค์ที่วัดความเด็นอัดสูงสุดของกองกรีต (C) เท่ากับ 1.0 ดังนั้นมือใช้ค่า C เท่ากับ 0.85 ตามค่าของ ACI ค่าแรงอัดระบุของเสาจะน้อยกว่าค่าแรงอัดสูงสุดที่ได้จากการจำลองไฟในอิลิเมนต์

7. กิตติกรรมประกาศ

งานศึกษาได้รับทุนสนับสนุนการวิจัยจากคณะวิกรรมศาสตร์ มหาวิทยาลัยบูรพา ประจำปี 2552 (42/2552) และทุนสนับสนุนการวิจัยจากสำนักงานคณะกรรมการวิจัยแห่งชาติ ประจำปี 2554 (15/2554)

เอกสารอ้างอิง

- [1] ACI 318-99, American Concrete Institute, "Building Code Requirements for Reinforced Concrete," American Concrete Institute, Farmington Hills, Michigan, 1999.
- [2] ANSYS, ANSYS User's Manual Revision 9, ANSYS, Inc., Canonsburg, Pennsylvania, 2009.
- [3] Desayi, P. and Krishnan, S., "Equation for the Stress-Strain Curve of Concrete," Journal of the American Concrete Institute, 61, pp. 345-350, March 1964.
- [4] Gere, J. M. and Timoshenko, S. P., Mechanics of Materials, PWS Publishing Company, Boston, Massachusetts, 1997.
- [5] Jame G. MacGregor, and James K. Wight, "Reinforced Concrete Mechanics & Design", 4th Edition, Prentice Hall, New Jersey, 2005
- [6] Kachlakov, D.I. and Miller, T., "Finite Element Modeling of Reinforced Concrete Structures Strengthened with FRP Laminates, Final Report, SP316, Oregon Department of Transportation, Salem, Oregon, May 2001.
- [7] Nilson, A. H., "Nonlinear Analysis of Reinforced Concrete by the Finite Element Method," Journal of the American Concrete Institute, 65(9), pp. 757-766, 1968.

[8] กรณ์ คงแก้ว และ วิศิษฐ์ บุญครอบ, การศึกษาเสากองกรีตเสริมเหล็กที่เสริมกำลังด้วยแผ่นไฟเบอร์เรซิ่ฟในอิลิเมนต์, โครงการชั้นปี 4, ภาควิชาวิศวกรรมโยธา, คณะวิศวกรรมศาสตร์ มหาวิทยาลัยบูรพา, 2553